



วิธีวิเคราะห์ในเตอร์ทอย่างง่ายในห้องปฏิบัติการ
ด้วยน้ำยาสกัด Mehlich I

Simple nitrate analysis in the laboratory
with Mehlich I

ดำเนินการโดย

นางสาวคชามาศ ต่ายหัวดง

กลุ่มวิจัยเคมีดิน
สำนักวิทยาศาสตร์เพื่อการพัฒนาที่ดิน
กรมพัฒนาที่ดิน

วิธีวิเคราะห์ในเตรทอย่างง่ายในห้องปฏิบัติการ ด้วยน้ำยาสกัด Mehlich I

Simple nitrate analysis in the laboratory
with Mehlich I



ดำเนินการโดย
นางสาวคุชามาศ ต่ายหัวดง

ห้องสมุดกรมพัฒนาที่ดิน
วันที่..... ๑๗ ๘ ๒๕๖๒
เลขหน้า..... ๘๑๖๗
เลขทะเบียน..... ๖๑๐๑๕๙

กลุ่มวิจัยเคมีดิน
สำนักวิทยาศาสตร์เพื่อการพัฒนาที่ดิน
กรมพัฒนาที่ดิน

สารบัญ

	หน้า
สารบัญ	ก
สารบัญตาราง	ข
สารบัญภาพ	ค
สารบัญตารางภาคผนวก	ง
สารบัญภาพภาคผนวก	จ
บทคัดย่อ	
ภาษาไทย	1
ภาษาอังกฤษ	2
หลักการและเหตุผล	3
วัตถุประสงค์	4
การตรวจเอกสาร	5
ระยะเวลาและสถานที่ดำเนินการ	14
อุปกรณ์และวิธีดำเนินการ	15
ผลการทดลอง	21
วิเคราะห์ผลการทดลอง	32
สรุปผลการทดลอง	33
ข้อเสนอแนะ	34
เอกสารอ้างอิง	35
ภาคผนวก	38
ภาคผนวก ก	39
ภาคผนวก ข	92

สารบัญตาราง

	หน้า
ตารางที่ 1 ช่วงความเป็นกรดเป็นด่างของดิน	18
ตารางที่ 2 เกณฑ์การยอมรับ (Accept) การเปรียบเทียบการวิเคราะห์ใน terrestrial สารละลายน้ำที่ใช้ UV-Vis Spectrophotometer	20
ตารางที่ 3 ค่าการดูดกลืนแสงของสารละลามาตรฐานใน terrestrial 5.0 และ 10.0 มิลลิกรัมต่อลิตร จากการเติม Reagent A ปริมาณ 0.5, 1.0, 1.5 และ 2.0 มิลลิลิตร ตามลำดับ	22
ตารางที่ 4 ค่าการดูดกลืนแสงของสารละลามาตรฐานใน terrestrial 5.0 และ 10.0 มิลลิกรัมต่อลิตร จากการเติม Mixed powder ปริมาณ 0.02, 0.04, 0.08 และ 0.12 กรัม ตามลำดับ	23
ตารางที่ 5 ค่าการดูดกลืนแสงของสารละลามาตรฐานใน terrestrial 5.0 และ 10.0 มิลลิกรัมต่อลิตร จากการตั้งทึ่งไว้เพื่อให้เกิดปฏิกิริยาอย่างสมบูรณ์ ที่เวลา 5, 10, 15, 20, 25 และ 30 นาที ตามลำดับ	24
ตารางที่ 6 ค่าการดูดกลืนแสงของสารละลายที่ใช้สีมาตรฐานใน terrestrial	29

สารบัญภาพ

	หน้า
ภาพที่ 1 แสดงวัสดุจัดในต่อเจน	6
ภาพที่ 2 แสดงวงแหวนเอมีนปูนภูมิ (a) และไดอะโซเนียมไฮอ่อน (b)	12
ภาพที่ 3 แสดงการเกิดปฏิกิริยาเอโซได (azo dye) ของการวิเคราะห์ในtered	13
ภาพที่ 4 แสดงลักษณะของอุปกรณ์บรรจุตัวอย่าง	14
ภาพที่ 5 แสดงเครื่อง UV-Vis Spectrophotometer	14
ภาพที่ 6 แสดงสีของสารละลายมาตรฐานในteredความเข้มข้น 5.0 มิลลิกรัมต่อลิตร (a) และ 10.0 มิลลิกรัมต่อลิตร (b) จากการเติม Reagent A ปริมาณ 0.5, 1.0, 1.5 และ 2.0 มิลลิลิตร ตามลำดับ	21
ภาพที่ 7 แสดงสีของสารละลายมาตรฐานในteredความเข้มข้น 5.0 มิลลิกรัมต่อลิตร (a) และ 10.0 มิลลิกรัมต่อลิตร (b) จากการเติม Mixed powder ปริมาณ 0.02, 0.04, 0.08 และ 0.12 กรัม ตามลำดับ	22
ภาพที่ 8 แสดงสีของสารละลายมาตรฐานในteredในดินจากการตั้งตึงทึ่งไว้เพื่อเกิดปฏิกิริยาอย่างสมบูรณ์ที่เวลา 5, 10, 15, 20, 25 และ 30 นาที ตามลำดับ	23
ภาพที่ 9 แสดงระยะเวลาการเกิดปฏิกิริยาอย่างสมบูรณ์ของการวิเคราะห์ในtered	24
ภาพที่ 10 แสดงกราฟของสารละลายมาตรฐานในtered	25
ภาพที่ 11 แสดงสีของสารละลายมาตรฐานในtered ความเข้มข้น 0.25, 1, 2, 3, 4, 5, 6, 8, 10 และ 12.5 มิลลิกรัมต่อลิตร ตามลำดับ	25
ภาพที่ 12 แสดงผลการทดสอบความใช้ได้ของวิเคราะห์ในteredในดินจากสภาวะที่เหมาะสมในการเกิดปฏิกิริยาของตัวอย่างดิน 630 ตัวอย่าง	26
ภาพที่ 13 แสดงผลการทดสอบความใช้ได้ของวิเคราะห์ในteredในดิน แยกตามช่วง pH ของตัวอย่างดิน 630 ตัวอย่าง	27
ภาพที่ 14 แสดงสีของสารละลายเทียบสีมาตรฐานในtered	28
ภาพที่ 15 แสดงกราฟของสารละลายเทียบสีมาตรฐานในtered	28
ภาพที่ 16 แสดงผลการเปรียบเทียบการวิเคราะห์ในteredในดินด้วยสารละลายเทียบสีมาตรฐานกับเครื่อง UV-Vis Spectrophotometer ของตัวอย่างดิน 300 ตัวอย่าง	30
ภาพที่ 17 แสดงผลการเปรียบเทียบการวิเคราะห์ในteredในดินด้วยสารละลายเทียบสีมาตรฐานกับเครื่อง UV-Vis Spectrophotometer แยกตามช่วง pH ของตัวอย่างดิน 300 ตัวอย่าง	31

สารบัญตารางภาคผนวก

	หน้า
ตารางผนวกที่ 1 ค่าการดูดกลืนแสงของสารละลายน้ำตรรูปในเตรท 5.0 มิลลิกรัมต่อลิตร จากการเติม Reagent A ปริมาตร 0.5, 1.0, 1.5 และ 2.0 มิลลิลิตร ตามลำดับ	40
ตารางผนวกที่ 2 ค่าการดูดกลืนแสงของสารละลายน้ำตรรูปในเตรท 10.0 มิลลิกรัมต่อลิตร จากการเติม Reagent A ปริมาตร 0.5, 1.0, 1.5 และ 2.0 มิลลิลิตร ตามลำดับ	40
ตารางผนวกที่ 3 ค่าการดูดกลืนแสงของสารละลายน้ำตรรูปในเตรท 5.0 มิลลิกรัมต่อลิตร จากการเติม Mixed powder ปริมาณ 0.02, 0.04, 0.08 และ 0.12 กรัม ตามลำดับ	41
ตารางผนวกที่ 4 ค่าการดูดกลืนแสงของสารละลายน้ำตรรูปในเตรท 10.0 มิลลิกรัมต่อลิตร จากการเติม Mixed powder ปริมาณ 0.02, 0.04, 0.08 และ 0.12 กรัม ตามลำดับ	41
ตารางผนวกที่ 5 ค่าการดูดกลืนแสงของสารละลายน้ำตรรูปในเตรท 5.0 มิลลิกรัมต่อลิตร จากการตั้งทิ้งไว้เพื่อให้เกิดปฏิกิริยาอย่างสมบูรณ์ที่เวลา 5, 10, 15, 20, 25 และ 30 นาที ตามลำดับ	42
ตารางผนวกที่ 6 ค่าการดูดกลืนแสงของสารละลายน้ำตรรูปในเตรท 10.0 มิลลิกรัมต่อลิตร จากการตั้งทิ้งไว้เพื่อให้เกิดปฏิกิริยาอย่างสมบูรณ์ที่เวลา 5, 10, 15, 20, 25 และ 30 นาที ตามลำดับ	42
ตารางผนวกที่ 7 ค่าการดูดกลืนแสงของสารละลายน้ำตรรูปในเตรท	43
ตารางผนวกที่ 8 ผลการทดสอบความใช้ได้ของวิเคราะห์ในเตรทในดินจากสภาพที่เหมาะสมในการเกิดปฏิกิริยาของตัวอย่างต่อ 630 ตัวอย่าง	44
ตารางผนวกที่ 9 ผลการทดสอบความใช้ได้ของวิเคราะห์ในเตรทในดิน แยกตามช่วง pH ของตัวอย่างต่อ 630 ตัวอย่าง	73
ตารางผนวกที่ 10 ค่าการดูดกลืนแสงของสารละลายน้ำตรรูปในเตรท	74
ตารางผนวกที่ 11 ระดับไนโตรเจนในรูปในเตรทในดิน	74
ตารางผนวกที่ 12 ผลการเปรียบเทียบการวิเคราะห์ในเตรทในดินด้วยสารละลายน้ำตรรูปสีมานกับเครื่อง UV-Vis Spectrophotometer ของตัวอย่างต่อ 300 ตัวอย่าง	75
ตารางผนวกที่ 13 ผลการเปรียบเทียบการวิเคราะห์ในเตรทในดิน แยกตามช่วง pH ของตัวอย่างต่อ 300 ตัวอย่าง	89

สารบัญภาพภาคผนวก

	หน้า
ภาพผนวกที่ 1 แสดงการสแกนหาความยาวคลื่นสูงสุดของการวิเคราะห์ในteredที่ดิน ในห้องปฏิบัติการด้วยเครื่อง UV-Vis Spectrophotometer	90
ภาพผนวกที่ 2 แสดงระยะเวลาการเกิดปฏิกิริยาของการวิเคราะห์ในteredแบบต่อเนื่อง	91

ชื่อโครงการวิจัย	วิธีวิเคราะห์ในteredทอย่างง่ายในห้องปฏิบัติการด้วยน้ำยาสกัด Mehlich I Simple nitrate analysis in the laboratory with Mehlich I
ผู้ดำเนินการวิจัย	นางสาวคามาศ ต่ายหัวดง
สถานที่ดำเนินการ	ห้องปฏิบัติการกลุ่มวิจัยเคมีดิน สำนักวิทยาศาสตร์เพื่อการพัฒนาที่ดิน

บทคัดย่อ

งานวิจัยนี้ มีวัตถุประสงค์เพื่อศึกษาสภาพที่เหมาะสมในการเกิดปฏิกิริยาของการวิเคราะห์ในtered เพื่อทดสอบความใช้ได้ของวิเคราะห์ในteredในดินในห้องปฏิบัติการ และเปรียบเทียบการวิเคราะห์ในteredด้วยสารละลายเทียบสีมาตรฐานกับเครื่อง UV-Vis Spectrophotometer ในดินที่มีค่า pH อยู่ในช่วง 3.5-8.4 โดยใช้ Mehlich I เป็นน้ำยาสกัดดิน ผลการศึกษา พบว่า สภาวะที่เหมาะสมในการเกิดปฏิกิริยาของการวิเคราะห์ในtered คือ ใช้สารละลายดิน 5 มิลลิลิตร Reagent A 0.5 มิลลิลิตร Mixed powder 0.02 กรัม และระยะเวลาที่เหมาะสมในการเกิดปฏิกิริยาอย่างสนับสนุน 5 นาที เมื่อนำสภาวะดังกล่าวมาทดสอบความใช้ได้ของวิเคราะห์ในteredในดินในห้องปฏิบัติการ พบว่า ตัวอย่างดินร้อยละ 95 มีค่าเบี่ยงเบนมาตรฐานสัมพันธ์ (%RSD) น้อยกว่า 10 และจากการเปรียบเทียบการวิเคราะห์ในteredในดินด้วยสารละลายเทียบสีมาตรฐานกับเครื่อง UV-Vis Spectrophotometer พบว่า ตัวอย่างดินร้อยละ 87 อ่านค่าปริมาณในteredจากช่วงของสารละลายเทียบสีมาตรฐานได้ถูกต้องตรงกันกับเครื่อง UV-Vis Spectrophotometer ดังนั้นการศึกษาวิเคราะห์ในteredอย่างง่ายในห้องปฏิบัติการด้วยน้ำยาสกัด Mehlich I โดยการเทียบสีจากสารละลายเทียบสีมาตรฐานมีประสิทธิภาพ ในการหาปริมาณในteredในดินได้ง่าย และสะดวกต่อการใช้งาน ซึ่งสามารถนำไปใช้เพื่อพัฒนาเป็นชุดทดสอบในteredภาคสนามต่อไป

Abstract

The purpose of this research is to study the optimal reaction conditions for nitrate analysis, test the validity of nitrate analysis in the laboratory and comparison of the nitrate concentration using standard colour solution and the nitrate concentration using and UV-Vis Spectrophotometer in soil samples with pH values in the range of 3.5-8.4 using Mehlich I as soil extractor. The results demonstrated that the optimal reaction conditions were found to be 5 mL of soil solution, reagent A 0.5 mL, mixed powder 0.02 g and complete task took 5 minutes. The precision of the method was checked by a relative standard deviation (% RSD) which was less than the maximum allowable limit ($RSD\% < 10$) with acceptance 95 percent. The comparison of the nitrate concentration using standard colour solution and the nitrate concentration using and UV-Vis Spectrophotometer showed that the accuracy was 87 percent. The study of simple nitrate analysis methods in laboratories using Mehlich I extraction solution and standard colour solution is an effective method as it is easy. These discover will be useful for a rapid nitrate test kit development.

หลักการและเหตุผล

ไนโตรเจน (Nitrogen, N) เป็นธาตุอาหารที่จำเป็นสำหรับการเจริญเติบโตของพืชต่างๆ ถือว่า เป็นธาตุอาหารที่สำคัญลำดับแรกๆ ของพืชเป็นอย่างมาก ถ้าพืชมีการขาดธาตุไนโตรเจนจะสังเกตได้ จากใบล่างของพืชจะเริ่มมีอาการเหลืองซีดลง ขึ้นไปถึงปลายยอด นอกจากอาการดังกล่าวแล้วการขาด ในไนโตรเจนยังทำให้การเจริญเติบโตของพืชลดลง ส่วนในพืชที่ไม่ไนโตรเจนมากเกินไป พืชจะมีสีเขียวเข้ม ลำต้นอวบสูง ศัตรูพืชทำลายได้ง่าย รูปของไนโตรเจนที่พืชสามารถนำไปใช้ประโยชน์ได้จะอยู่ในรูป อนินทรีย์ไนโตรเจน (inorganic nitrogen) ได้แก่ ในเตรทไออ้อน (NO_3^-) และแอมโมเนียมไออ้อน (NH_4^+) พืชส่วนใหญ่มีแนวการดูดใช้ไนโตรเจนในรูปของไนเตรทมากกว่าแอมโมเนียม แม้ว่าหลังการ ดูดซึมไนเตรทเข้าไปในเซลล์พืชแล้ว พืชต้องใช้พลังงานในการเปลี่ยนรูปไนเตรทไปเป็นแอมโมเนียม เพื่อนำไปผลิตสารประกอบโปรตีนอี่นๆ แต่ไนโตรเจนในรูปของไนเตรทก็สูญเสียไปจากดินได้ง่ายกว่า ในไนโตรเจนในรูปของแอมโมเนียม (วาระนา, 2560)

การวิเคราะห์ดินเป็นวิธีการประเมินความอุดมสมบูรณ์ของดินวิธีหนึ่งที่นิยมใช้กันในปัจจุบัน เนื่องจากมีความสะดวกและใช้ระยะเวลาสั้นกว่าวิธีอื่นๆ ได้แก่ การวินิจฉัยลักษณะการขาดธาตุอาหาร ของพืช การวิเคราะห์เนื้อเยื่อพืช และการทดสอบทางชีวภาพ ดังนี้ การวิเคราะห์ปริมาณไนโตรเจน ในดินในรูปไนเตรท และวิเคราะห์ที่ได้ไปประเมินความต้องการของพืชเพื่อใช้สำหรับการ แนะนำปริมาณปุ๋ยไนโตรเจน จะช่วยให้เกษตรกรสามารถเพิ่มผลผลิตและลดต้นทุนจากการใช้ปุ๋ยอย่าง ถูกต้องและเหมาะสมได้ แต่ส่วนใหญ่การวิเคราะห์ไนโตรเจนในห้องปฏิบัติการจะวิเคราะห์ไนโตรเจน ทั้งหมด (Total Nitrogen) และในรูปของอนินทรีย์ไนโตรเจนที่ได้จากอินทรีย์วัตถุในดิน ซึ่งเป็นวิธีที่ต้อง ใช้สารเคมี และเครื่องมือที่มีราคาแพง รวมถึงขั้นตอนการวิเคราะห์มีความยุ่งยากซับซ้อน ใช้เวลานาน และอาจจะยังไม่ครอบคลุมความต้องการของผู้ที่จะนำไปใช้ประโยชน์เท่าที่ควร จึงต้องวิเคราะห์ไนโตรเจนในรูปของ อนินทรีย์ไนโตรเจนที่ได้จากไนเตรทและแอมโมเนียมด้วย

งานวิจัยนี้ ผู้วิจัยมีจุดมุ่งหมายเพื่อศึกษาวิธีวิเคราะห์ไนเตรทของตัวอย่างดินในห้องปฏิบัติการ ที่สามารถตรวจจับได้ง่าย โดยทราบผลที่ถูกต้องในระยะเวลาอันรวดเร็ว ใช้ได้สะดวกโดยไม่ต้องอาศัย ผู้ชำนาญการ ใช้สารเคมีในปริมาณที่น้อยเพื่อลดผลกระทบต่อสิ่งแวดล้อม ไม่ต้องใช้อุปกรณ์และ เครื่องมือที่ราคาแพง โดยวิธีวิเคราะห์ไนเตรทมีหลากหลายวิธี แต่เมื่อนำมาใช้วิเคราะห์ไนเตรทในดินที่ สถาณ์ด้วยน้ำยาสกัด Mehlich I นั้น ไม่มีความเหมาะสม เนื่องจากน้ำยาสกัด Mehlich I เป็นกรดจัดมาก ผู้วิจัยจึงพัฒนาเพื่อให้ได้สภาวะที่เหมาะสมของวิธีวิเคราะห์ไนเตรท โดยอาศัยหลักการเกิดปฏิกิริยาของ ในเตรทกับสารประกอบเชิงซ้อนอี่นๆ ร่วมกับเรอเจนท์ ทำให้เกิดเป็นสารประกอบเชิงซ้อนสีม่วงแดง สามารถดูดกลืนแสงได้ดีที่ความยาวคลื่น 530 นาโนเมตร และนำค่าการดูดกลืนแสงที่ได้ไปเทียบกับ กรณฑ์มาตรฐานจะสามารถคำนวณหาความเข้มข้นของไนเตรทได้ จำนวนทำการพัฒนาสารละลายเทียบ สมាពรฐานให้เหมาะสมกับการวิเคราะห์ไนเตรทในตัวอย่างดินเพื่อให้ง่าย และสะดวกต่อการประผลค่า วิเคราะห์ไนเตรท และนำไปสู่การพัฒนาเป็นชุดทดสอบปริมาณไนเตรทในดินภาคสนามต่อไป

วัตถุประสงค์

- เพื่อศึกษาสภาวะที่เหมาะสมในการเกิดปฏิกิริยาของการวิเคราะห์ใน terrestrial ในตัวอย่างดินที่สกัดโดยใช้ น้ำยาสกัด Mehlich I
- เพื่อทดสอบความใช้ได้ของการวิเคราะห์ใน terrestrial ในดินในห้องปฏิบัติการ
- เพื่อเปรียบเทียบการวิเคราะห์ใน terrestrial ในดินด้วยสารละลายน้ำที่มีสีมาตรฐานกับเครื่อง UV-Vis Spectrophotometer

การตรวจเอกสาร

1. ในโทรศัพท์และพีซี

1.1 ในโทรศัพท์และพีซี

ในโทรศัพท์และพีซีเป็นส่วนประกอบของบรรณาธิการของโลก 78% แต่พีซึ่งนำมาใช้ประโยชน์ไม่ได้ทั้งนี้ เพราะเซลล์พีซดูดมาใช้ได้ในรูปของไนเตรฟิวออน (NO_3^-) และแอมโมเนียมไวออน (NH_4^+)

ในโทรศัพท์และพีซมากกว่า 80% อยู่ในรูปของสารอินทรีย์ ซึ่งเป็นองค์ประกอบของอินทรีย์ตั้งแต่ในโทรศัพท์และพีซที่เป็นเกลือซึ่งละลายง่ายมีน้ำอุ่น อินทรีย์ตั้งแต่จึงเป็นแหล่งสำคัญของธาตุในโทรศัพท์และพีซ อย่างไรก็ตาม ดินที่ใช้เพาะปลูกโดยทั่วไปมักมีอินทรีย์ตั้งแต่ต่ำ และการสลายตัวเพื่อปลดปล่อยในโทรศัพท์และพีซจากอินทรีย์ตั้งแต่ก่อนข้างข้าม ดังนั้นปริมาณของธาตุในโทรศัพท์และพีซได้รับจากดินจึงไม่ค่อยเพียงพอ จำเป็นต้องใส่ปุ๋ยชดเชย

ในด้านการเกษตร เซลล์พีซสามารถดูดซึมในโทรศัพท์และพีซได้ในรูปของไนเตรฟิวออน (NO_3^-) และแอมโมเนียมไวออน (NH_4^+) สำหรับบุญเรี่ย [CO(NH₂)₂] แม้ว่าเซลล์พีซจะดูดไปใช้ได้โดยตรง แต่สารนี้มีอยู่ในธรรมชาติน้อย พีซจะดูดซึมไปใช้มากเมื่อใส่ปุ๋ยบุญเรี่ยสังเคราะห์ และสำหรับไนเตรฟิวออนเป็นรูปที่ถูกจะล้างจากดินได้ง่าย (ยงยุทธ, 2558)

1.2 รูปของโทรศัพท์และพีซในดิน

ในโทรศัพท์และพีซที่จำเป็นและใช้ในปริมาณมากในสิ่งมีชีวิตทุกชนิด ในโทรศัพท์และพีซที่มีอยู่ทั้งในอากาศและในดิน แต่พีซนี้สูงไม่สามารถนำในโทรศัพท์และพีซจากอากาศมาใช้ประโยชน์เองได้ สำหรับองค์ประกอบของโทรศัพท์และพีซในดินมีอยู่ 2 ส่วน ได้แก่ (คณาจารย์ภาควิชาปฏิวิทยา, 2548)

1.2.1 อินทรีย์ในโทรศัพท์และพีซ (Organic Nitrogen)

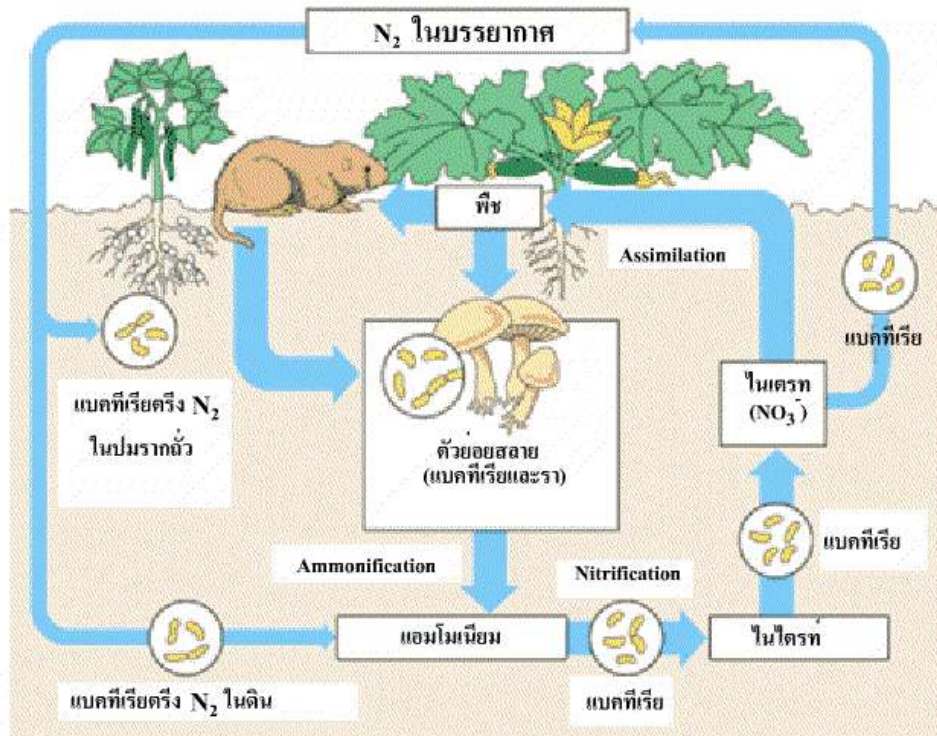
เป็นองค์ประกอบของอินทรีย์ตั้งแต่ในดิน โดย 80% ของโทรศัพท์และพีซเป็นสารอินทรีย์ ได้แก่ โปรตีนและสารประกอบอินทรีย์ อาทิ กลูตามิโน酇 ซึ่งสารเหล่านี้เป็นองค์ประกอบอยู่ในอินทรีย์ตั้งแต่ในดิน ในโทรศัพท์และพีซซึ่งเป็นองค์ประกอบของอินทรีย์ตั้งแต่ไม่เป็นประโยชน์สำหรับพีซในขณะนี้ แต่เมื่อถูกจุลทรรศน์ย่อยสลายจะค่อยๆ แพร่สภาพเป็นแอมโมเนียมไวออน (NH_4^+) ซึ่งเป็นอินทรีย์ในโทรศัพท์และพีซ (Inorganic Nitrogen) ที่พีซสามารถดูดไปใช้ได้

1.2.2 อนินทรีย์ในโทรศัพท์และพีซ (Inorganic Nitrogen)

ในดินมีอยู่ 2 ส่วน คือ ส่วนที่ได้จากการสลายตัวของอินทรีย์ตั้งแต่ปุ๋ยอินทรีย์ กับส่วนที่มาจากปุ๋ยเคมี เมื่อสลายตัวอินทรีย์ในโทรศัพท์และพีซทั้ง 2 ส่วนจะอยู่ในรูปแอมโมเนียมไวออน (NH_4^+) และไนเตรฟิวออน (NO_3^-) แต่อนินทรีย์ในโทรศัพท์และพีซในดินโดยทั่วไปมีอยู่ปริมาณน้อย และสารประกอบแอมโมเนียมและไนเตรฟิวอันมีคุณสมบัติละลายน้ำง่าย ส่วนมากจึงละลายน้ำและแตกตัวเป็นแอมโมเนียมไวออน (NH_4^+) และไนเตรฟิวออน (NO_3^-) ซึ่งพีซใช้ประโยชน์ได้ง่าย สภาพของแอมโมเนียมไวออนและไนเตรฟิวออนในดิน เป็นตั้งนี้ แอมโมเนียมไวออน (NH_4^+) อยู่ในดิน 3 ลักษณะ

คือ 1) ดูดซับอยู่กับอนุภาคดินเหนียวและอิฐมัส เป็นแอมโมเนียมที่แลกเปลี่ยนได้ 2) อยู่ในสารละลายน้ำ ซึ่งสองส่วนข้างต้นนี้พืชสามารถดูดไปใช้ประโยชน์ได้ง่าย 3) ถูกตรึงอยู่ในโครงสร้างของแร่ดินเหนียว พืชไม่สามารถนำไปใช้ประโยชน์ได้ ส่วนในเตรทไออกอน (NO_3^-) เกือบทั้งหมดอยู่ในสารละลายน้ำ ดิน พืชจึงใช้ประโยชน์ได้ง่าย

1.3 วัฏจักรในโตรเจน



ภาพที่ 1 แสดงวัฏจักรในโตรเจน

ที่มา : สถาบันวัตกรรมการเรียนรู้ มหาวิทยาลัยมหิดล, ม.ป.ป.

ในโตรเจนเป็นองค์ประกอบสำคัญของกรดอะมิโนซึ่งเป็นองค์ประกอบของโปรตีนทุกชนิดในสิ่งมีชีวิต พืชใช้ในโตรเจนได้ใน 2 รูป คือแอมโมเนียมไออกอน (NH_4^+) และในเตรทไออกอน (NO_3^-) และแม้ว่าในบรรยากาศประกอบด้วยในโตรเจนถึง 80% แต่อยู่ในรูป ก๊าซ ในโตรเจน (N_2) ซึ่งพืชไม่สามารถนำมาใช้ได้ ในโตรเจนสามารถเข้าสู่วัฏจักรในโตรเจนของระบบนิเวศได้ 2 ทางคือ

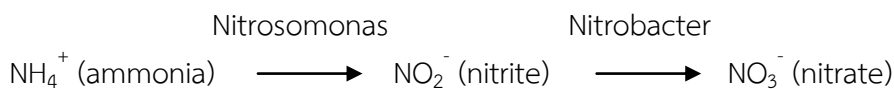
1. ผ่านชั้ลงในโตรเจนโดยเป็นแอมโมเนียมและในเตรทไออกอนสูัดิน และพืชใช้เป็นธาตุอาหารเพื่อการเจริญเติบโตโดยปฏิกิริยาแอกซิมิเลชั่น (assimilation)

2. การตรึงในโตรเจน (nitrogen fixation) ซึ่งมีเพียงแบคทีเรียบางชนิดเท่านั้นที่สามารถใช้ก๊าซในโตรเจนในบรรยากาศเปลี่ยนเป็นในโตรเจนในรูปที่พืชสามารถนำมาใช้ได้ แบคทีเรียพวกนี้ มีทั้งที่อยู่ในดินและที่อยู่ในสิ่งมีชีวิต เช่น ไรโซเบียมในปมรากถั่ว และแบคทีเรียในเพินน้ำพักหนาน แดง (Azolla) นอกจากนั้นยังมีแบคทีเรียสีเขียวแกมน้ำเงินในน้ำบางชนิด ในปัจจุบันการผลิตปุ๋ยในโตรเจนใช้ในเกษตรกรรมก็เป็นแหล่งในโตรเจนสำคัญที่เติมในโตรเจนสู่ระบบนิเวศ

ในโตรเจนเป็นธาตุอาหารสำคัญที่พืชใช้ในโครงสร้างและเมtabอลิซึม สัตว์กินพืชและผู้บริโภคคำดับถัดมาได้ใช้ในโตรเจนจากพืชเป็นแหล่งร่างโปรตีนและสารพันธุกรรม เมื่อพืชและสัตว์ตายลง ผู้ย่อยสลายพวกราและแบคทีเรียสามารถย่อยสลายในโตรเจนในสิ่งมีชีวิตให้กลับเป็น ammonium ซึ่งพืชสามารถนำมารับประทานได้ผ่านกระบวนการที่เรียกว่า แอมโมนิฟิเคชัน (ammonification)

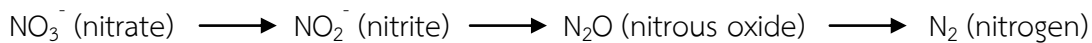
ในโตรเจนในสารอินทรีย์สามารถเปลี่ยนกลับไปเป็นก๊าซในโตรเจนโดยผ่าน 2 กระบวนการ คือ

1. ในตริฟิเคชัน (nitrification) แบคทีเรียบางชนิดใช้ ammonium ในดินเป็นแหล่งพลังงาน และทำให้เกิดไนโตรท (NO₂⁻) ซึ่งเปลี่ยนเป็นไนโตรทที่พืชใช้ได้ด้วย



2. ดีไนตริฟิเคชัน (denitrification) ในสภาพไร้ออกซิเจน แบคทีเรียบางชนิดสามารถสร้างออกซิเจนได้เองจากไนโตรท และได้ผลผลิตเป็นก๊าซในโตรเจนกลับคืนสู่บรรยากาศ

อย่างไรก็ตาม แม้ว่าปริมาณในโตรเจนที่หมุนเวียนในระบบนิเวศที่กล่าวถึงทั้งหมดนี้จะมีปริมาณน้อยมาก แต่วัฏจักรในโตรเจนในธรรมชาติถูกสมดุลด้วยปฏิกิริยาซึ่งเกิดโดยพืชและการย่อยสลายของแบคทีเรีย



1.4 ความสำคัญของในโตรเจนที่มีต่อการเจริญเติบโตของพืช

หน้าที่ของธาตุในโตรเจนในพืช ช่วยกระตุ้นให้พืชเจริญเติบโตและมีความแข็งแรง ส่งเสริมการเจริญเติบโตของใบและลำต้น ทำให้ใบพืชมีสีเขียว ส่งเสริมคุณภาพของพืชโดยเฉพาะพืชผักสวนครัวที่ใช้ใบ ลำต้น และหัวเป็นอาหาร ส่งเสริมให้พืชตั้งตัวได้เร็วในระยะแรกของการเจริญเติบโต เพิ่มปริมาณโปรตีนให้แก่พืชที่ใช้เป็นอาหาร เช่น ข้าวหรือหญ้าเลี้ยงสัตว์ เป็นต้น ควบคุมการออกดอกออกผลของพืช และช่วยเพิ่มผลผลิตให้สูงขึ้นโดยเฉพาะพืชที่ให้ผลและเมล็ด

อาการที่พืชขาดธาตุในโตรเจน ใบของพืชจะมีสีเหลืองผิดปกติ ลำต้นแคระแกร็นไม่เจริญเติบโตตามปกติ ผลผลิตต่ำและไม่มีคุณภาพ แต่การที่พืชได้รับธาตุในโตรเจนมากเกินไปจะทำให้พืชมีลักษณะคุณภาพของเมล็ด ผล และใบ เสื่อมสภาพลง พืชแก่ช้ากว่าปกติ ผลผลิตของพืชที่ให้เมล็ดลดลง เพราะพืชมุ่งในการสร้างยอด ลำต้น กิ่ง และใบมากกว่าสร้างดอก เมล็ด และลำต้นอ่อน ทำให้การต้านทานต่อโรคลดลงด้วย (คณาจารย์ภาควิชาปฐพีวิทยา, 2548)

1.5 ใน terrestrial ไอออน (NO₃⁻)

ในดินที่มีอากาศถ่ายเทดี กระบวนการในตริฟิเคชันเกิดขึ้นเร็ว ทำให้แอมโมนิฟิเคชันเปลี่ยนเป็นไนโตรทไอออน ดินจึงมีในโตรเจนในรูปไนโตรทเพิ่มขึ้น ในสารละลายน้ำที่ไปมีในไนโตรเจนมากกว่า 1 มิลลิโมลาร์ แต่ในดินที่ใส่ปุ๋ยในโตรเจนอาจมีในไนโตรเจนสูงถึง 70 มิลลิโมลาร์

แม้ว่าภาคพื้นสามารถดูดกรดอะมิโนได้ แต่เนื่องจากในดินมีน้อย จึงไม่ใช่รูปของในโตรเจนที่สำคัญต่อพืช ในดินที่มีการระบายน้ำมาก ในการระบายน้ำจะส่งผลกระทบต่อรูปของในโตรเจนส่วนใหญ่จะอยู่ในรูปเป็นเตรท ซึ่งพืชสามารถเจริญเติบโตได้แม้จะได้รับเฉพาะรูปในเตรทเพียงอย่างเดียว เมื่อในเตรಥเข้าสู่เซลล์พืชจะถูกเรียกว่าสูงได้ แอมโมเนียม และจะเข้ารวมกับสารอินทรีย์บางชนิดสังเคราะห์เป็นกรดอะมิโน (ยงยุทธ, 2558)

2. วิธีวิเคราะห์ในเตรท

อนินทรีย์ในโตรเจนมีอยู่ประมาณน้อยกว่า 2% ของในโตรเจนทั้งหมดในดินซึ่งอยู่ในรูปของแอมโมเนียมและในเตรท ซึ่งสามารถใช้ในการบอกความเป็นประโยชน์ของในโตรเจนได้ แต่มีอยู่ในปริมาณน้อยมากเนื่องจากเปลี่ยนรูปง่าย การลดปล่อยอนินทรีย์ในโตรเจนเป็นกระบวนการที่เกิดขึ้นจากกิจกรรมของจุลินทรีย์ ดังนั้น การวิเคราะห์จะต้องทำทันทีหลังจากการเก็บตัวอย่างดิน การเก็บตัวอย่างดินนิยมเก็บไว้ในถุงเย็น อุณหภูมิ 4 องศาเซลเซียส และทำการวิเคราะห์เร็วที่สุด โดยทั่วไปแล้วไม่อาจปฏิบัติได้ เพราะมีความยุ่งยากและเสียเวลาในการขนส่ง (วานา, 2560) ดังนั้น การวิเคราะห์ที่ปริมาณในเตรทจึงมีวิธีวิเคราะห์ที่หลากหลาย ซึ่งกระบวนการวิเคราะห์ปริมาณในเตรทประกอบด้วย (1) การสกัดดิน และ (2) การวิเคราะห์ในเตรทในสารละลายดิน

2.1 น้ำยาที่ใช้ในการสกัดดิน

การสกัดดินเพื่อวิเคราะห์ในเตรทมีการใช้น้ำยาสกัดที่หลากหลายตามความเหมาะสมของวิธีการวิเคราะห์นั้นๆ ซึ่งน้ำยาสกัดที่นิยมใช้ได้แก่ 1M NH_4HCO_3 -DTPA, 0.01M $\text{CaSO}_4 \cdot 2\text{H}_2\text{O}$, 2M KCl, 0.01M $\text{CaCl}_2 \cdot 2\text{H}_2\text{O}$ และ 0.04M $(\text{NH}_4)_2\text{SO}_4$ เป็นต้น ส่วนน้ำยาสกัดที่นิยมใช้habriman ในเตรಥองดินในประเทศไทย ได้แก่ Mehlich I เนื่องจากสามารถใช้สกัดในเตรಥจากดินได้ผลดี ทั้งยังสามารถเตรียมได้ง่ายและราคาถูก (สมชาย และคณะ, 2543)

ทศนีย์ และคณะ (2542) ศึกษาการวิเคราะห์ N P K ในดินอย่างง่าย โดยคัดเลือกน้ำยาสกัด N P K เพียงครั้งเดียว แต่สามารถวิเคราะห์ปริมาณ N P K ได้ พบว่า น้ำยา Mehlich I เป็นน้ำยาสกัดที่เหมาะสมและได้ถูกคัดเลือกให้เป็นน้ำยาสกัดดิน จากนั้นนำสิ่งที่สกัดได้มาวิเคราะห์ปริมาณในโตรเจนในรูปเป็นเตรทโดยวิธีทำให้เกิดสี เบรียบเทียบการวัดปริมาณในเตรทโดยใช้ Spectrophotometer กับการใช้แผ่นสีมาตรฐาน พบว่า การวัดปริมาณในเตรทโดยการใช้ Spectrophotometer กับการใช้แผ่นสีมาตรฐานมีสหสัมพันธ์อย่างมีนัยสำคัญยิ่งทางสถิติ

บุญแสน และคณะ (2543) ศึกษาน้ำยาสกัดเดียวสำหรับ N P K ในชุดดินซึ่งบดด้วยมีด ชุดดินตากลี ชุดดินลพบุรี ชุดดินสตีก และชุดดินปากช่อง โดยใช้น้ำยาสกัด 10 ชนิด พบว่า ถ้าต้องการที่จะสกัดในโตรเจน พอสฟอรัส และโพแทสเซียม การใช้น้ำยาสกัดเพียงตัวเดียว วิธี Mehlich I เป็นวิธีที่เหมาะสมที่สุด นอกจากจะให้ค่าสัมประสิทธิ์สหสัมพันธ์อย่างมีนัยสำคัญยิ่งทางสถิติแล้ว ยังเตรียมได้ง่าย และสะดวกกว่าวิธีอื่นด้วย

สัมฤทธิ์ (2546) ศึกษาสหสัมพันธ์ระหว่างปริมาณ N P K ที่สกัดด้วยน้ำยาชนิดเดียวกับการดูดกิน N P K ของข้าวที่ปลูกในดินนา โดยทำการสกัดดินนา 6 ชุดดิน ด้วยน้ำยาสกัด 6 ชนิด พบว่า ถ้าต้องการสกัดในโตรเจน และพอสฟอรัสในดินนา การใช้น้ำยาสกัดเพียงตัวเดียว วิธี modified Mehlich I เป็นวิธีที่เหมาะสมที่สุด นอกจากให้ค่าสัมประสิทธิ์สหสัมพันธ์อย่างมีนัยสำคัญยิ่งทางสถิติแล้ว ยังเตรียมได้ง่ายและสะดวกกว่าวิธีอื่นด้วย

กันทิมา (2551) ศึกษา_n้ำยาสกัดธาตุอาหารที่เป็นประโยชน์ (NPK) ในดินนาที่สำคัญบางชุดดินของภาคกลางในประเทศไทย โดยทำการศึกษาน้ำยาสกัดเดี่ยวที่สกัดธาตุอาหาร N P K ที่เป็นประโยชน์ในดินนา ได้น้ำยาสกัด Mehlich I, 0.25M H₂SO₄ และ Morgan ซึ่งใช้กันอย่างแพร่หลายในการวิเคราะห์ปริมาณ P, N และ PK ในดินไร ตามลำดับ พบว่า น้ำยาสกัด Mehlich I เป็นน้ำยาสกัดที่ดีที่สุด รองลงมาเป็นน้ำยาสกัด Morgan และ 0.25M H₂SO₄ ตามลำดับ

2.2 การวิเคราะห์ในtered ในสารละลายน้ำ (Veena and Narayana, 2009)

การวิเคราะห์อนินทรีย์ในโตรเจนในรูปในtered ทำได้หลายวิธี ดังนี้

2.2.1 วิธี Colorimetric

เป็นวิธีที่ได้รับความนิยมแพร่หลายในการวิเคราะห์อนินทรีย์ในโตรเจน เนื่องจาก sensitivity สูง สะดวก และรวดเร็ว วิธี colorimetric อาศัยการเกิดปฏิกิริยาของในtered กับสารประกอบเชิงช้อนอื่นๆ ร่วมกับรีเอเจนท์ ในสภาพะกรด เกิดเป็นสารประกอบเอโซได (azo dye) ที่สามารถดูดกลืนแสงได้โดยการวัดด้วยเครื่อง Spectrophotometer

บุญแสน (2543) ศึกษาสหสัมพันธ์ระหว่างวิเคราะห์ N P K ในดินกับการดูดกินธาตุอาหาร N P K ของข้าวโพดในชุดดินตากลี ลพบุรี ชัยบาดาล ปากช่อง และสตีก โดยเปรียบเทียบวิธีวิเคราะห์ปริมาณในtered โดยวิธีการกลั่นเทียบกับวิธีทำให้เกิดสี พบร้า การเตรียมตัวอย่างน้ำยา มาตรฐานในtered ให้มีความเข้มข้นตั้งแต่ 1-100 มิลลิกรัมต่อลิตร โดยใช้น้ำยา Mehlich I เป็นตัวทำละลาย พบร้า วิธีทำให้เกิดสี ให้ค่าสหสัมพันธ์อย่างมีนัยสำคัญยิ่งทางสถิติกับน้ำหนักแห้งของข้าวโพด เมื่อนำไปวิเคราะห์หาปริมาณในtered โดยวิธีการกลั่นเทียบกับวิธีทำให้เกิดสี ผลปรากฏว่า ทั้ง 2 วิธี จะให้ค่าสหสัมพันธ์อย่างมีนัยสำคัญยิ่งทางสถิติ ในการหาในtered ไออ่อนนั้น สามารถเลือกวิเคราะห์ได้ทั้งสองวิธี แล้วแต่ความพร้อมและเหมาะสมของห้องปฏิบัติการ

ยิ่งพิศ และคงะ (2545) ศึกษาชุดทดสอบในtered และในโตรเจนทั้งหมด โดยเตรียมชุดน้ำยาทดสอบเพื่อหาปริมาณในtered (NO₃) และในโตรเจนทั้งหมด (TN) สำหรับงานวิเคราะห์น้ำทั้งโดยชุดน้ำยาทดสอบ NO₃ จะใช้วิธีสเปกโตรโฟโตเมตรีที่อาศัยหลักการพื้นฐานของการเกิดปฏิกิริยานในtered นั้นระหว่าง NO₃ กับ 3,5-dihydroxy benzoic acid ในสภาพะกรด H₂SO₄ เข้มข้น เกิดผลิตภัณฑ์สีแดงเข้มที่ดูดกลืนแสงสูงสุดที่ความยาวคลื่น 515 นาโนเมตร และได้กราฟมาตรฐานของการวิเคราะห์หาปริมาณในtered ที่เป็นเส้นตรงในช่วง 0-10 มิลลิกรัมต่อลิตร ด้วยค่าสหสัมพันธ์ (R²) 0.9986

Nagaraja and Kumar (2002) และมะลิวน (2552) ศึกษาวิเคราะห์ปริมาณในtered ในแหล่งน้ำโดยใช้สารควบคู่ (coupling reagent) ซึ่งเป็นสารผสมระหว่าง Dopamine (3-Hydroxytyramine) และ MBTH (3-Methyl-2-Benzothiazolinone Hydrazone Hydrochloride) โดยทำให้เกิดสีของสารละลายน้ำที่สามารถนำไปวิเคราะห์ความเข้มข้นของในtered ด้วยเครื่อง Spectrophotometer ที่ความยาวคลื่น 530 นาโนเมตร

ศิริพร (2555) ศึกษาการพัฒนาชุดทดสอบปริมาณแอมโมเนียมและไนเตรทในน้ำภาคสนามสำหรับโครงการศึกษาวิจัยและพัฒนาสิ่งแวดล้อมแพ็คเบี้ยอันเนื่องมาจากพระราชดำริ พบว่า สภาพที่เหมาะสมในการวิเคราะห์ในเตรท คือ ใช้น้ำตัวอย่าง 10.0 มิลลิลิตร รีเอเจนท์ C 0.5 มิลลิลิตร ผงรีเอเจนท์ D 0.1155 กรัม และตั้งทิ้งไว้ 30 นาที จากการทดสอบโดยใช้ชุดทดสอบเปรียบเทียบกับเครื่อง UV-Vis Spectrophotometer พบว่า ปริมาณไนเตรทที่ตรวจวัดได้จากทั้ง 2 วิธี ไม่มีความแตกต่างกันอย่างมีนัยสำคัญ มีค่าเบี่ยงเบนมาตรฐานสัมพัทธ์ (%RSD) น้อยกว่า 10 ดังนั้น ชุดตรวจสอบปริมาณไนเตรทในน้ำภาคสนามจึงมีประสิทธิภาพและน่าเชื่อถือ

ประสิทธิ์ และวิริญรัชญ์ (2555) ศึกษาการพัฒนาวิธีการวิเคราะห์ทำปริมาณไนเตรท และไนเตรตด้วยวิธีสเปกโกรไฟโดยมีทรีโนในตัวอย่างน้ำ ที่ทำได้ง่าย สะดวก และลดผลกระทบที่จะเกิดกับสิ่งแวดล้อม โดยการวิเคราะห์ทำปริมาณไนเตรทจะรีดิวส์ในเตรทเป็นไนโตรที่ด้วยสังกะสี ก่อนทำการวิเคราะห์ทำไนเตรทในรูปของ Nitrate ให้เกลือไดอะโซเนียม จากนั้นนำไปทำปฏิกิริยาไดอะโซไทด์เขียนของ Sulphanilic acid ได้เกลือไดอะโซเนียม จากนั้นนำไปทำปฏิกิริยาคู่ควบกับ Methyl anthranilate เกิดสีข้ม azo dye นำไปอ่านค่าด้วยเครื่อง Spectrophotometer ที่ความยาวคลื่น 538 นาโนเมตร พบว่า ความเข้มข้นของ Sulphanilic acid และ Methyl anthranilate ที่เหมาะสม คือ 0.4% (w/v) และ 0.6% (w/v) ตามลำดับ

ปราสาทพร (2556) ศึกษาการพัฒนาชุดตรวจสอบไนเตรทอย่างง่ายโดยใช้สารควบคู่ คือ Dopamine และ MBTH (3-Methyl-2-Benzothiazolinone Hydrazine Hydrochloride) โดยทำการศึกษาในน้ำเกลือที่ระดับความเค็มต่างๆ ทดสอบโดยใช้แอบสีมาตรฐานเปรียบเทียบกับเครื่อง Spectrophotometer พบว่า แอบสีมาตรฐานใช้ได้เหมาะสมกับความเข้มข้นของไนเตรทไม่เกิน 1.0 มิลลิกรัมต่อลิตร ถ้าความเข้มข้นเกินนี้ต้องวัดด้วยเครื่อง Spectrophotometer

พัชราภรณ์ และคณะ (2552) ศึกษาการวิเคราะห์การสะสมไนเตรทในผักสด โดยนำตัวอย่างที่สักด้ได้มาวิเคราะห์ด้วยวิธี colorimetric 2 วิธี ได้แก่ Brucine และ Salicylic acid เทียบกับการวิเคราะห์ด้วยเครื่อง Flow Injection Analyzer (FIA) พบว่า การวิเคราะห์ด้วยวิธี Brucine และ Salicylic สามารถวัดค่าความเข้มข้นของไนเตรท-ในตัวอย่างพืชได้โดยไม่มีความแตกต่างทางสถิติกับค่าที่วัดได้จากการวัดด้วยเครื่อง Flow injection analyzer

2.2.2 วิธี Specific ion electrodes

เป็นวิธีวิเคราะห์ความเข้มข้นของไนเตรทในสารละลายด้วย ion electrode วิธีนี้ มีข้อดีคือ ทำได้ง่าย รวดเร็ว แต่มีข้อเสียคือ NO_3^- electrode ที่ใช้กันในปัจจุบันมักถูกปรับกวนด้วย anion อื่นๆ ที่มีอยู่ในสารละลายที่สักด้ได้จากพืชหรือดิน ทำให้ต้อง restandardize electrode อยู่ตลอดเวลา ให้ค่า sensitivity ค่อนข้างต่ำ ทำให้ไม่เป็นที่นิยมกันแพร่หลาย (วานา, 2560)

สุดา (2554) กล่าวว่า การวิเคราะห์ด้วยเทคนิค ISE (ion selective electrode) หรือ specific ion electrode เป็นเทคนิคการวิเคราะห์หนึ่งในการวัดปริมาณไอออน กลุ่มไอออน แก๊สบางชนิดในตัวอย่างน้ำ และสารละลายตัวอย่างได้อย่างรวดเร็ว ประหยัด และถูกต้องแม่นยำเป็นที่ยอมรับระดับสากล โดย ISE ยอมให้อ่อนเฉพาะสำหรับ electrode ชนิดนั้นๆ ผ่านเท่านั้น โดย electrode ที่ใช้วิเคราะห์ทำปริมาณไนเตรท ประกอบด้วย nitrate electrode และ reference electrode

Jenkins and Medsker (1964) ได้ศึกษาการวิเคราะห์ในต่ำและในไนโตรที่ด้วยเทคนิคแบบ ion selective electrode พบว่า ค่าศักย์ไฟฟ้าแตกต่างตามสัมประสิทธิ์ความว่องไวของไนโอนมีค่าคงที่ โดยเทคนิคนี้จำเป็นต้องสร้างกราฟมาตรฐานของศักย์ไฟฟ้ากับความเข้มข้นของไนโอนในการวิเคราะห์ตัวอย่าง นอกจากนี้ยังได้ประดิษฐ์เมมเบรนสำหรับวิเคราะห์ในต่ำโดยใช้ poly vinyl chloride (PVC) membrane ร่วมกับ anion exchanger โดย anion exchanger ที่ทำหน้าที่คัดเลือกในต่ำ ทำมาจาก tetradodecylammonium bromide (TDABr) และ tetradodecylammoniumnitrate (TDAN)

2.2.3 วิธี Microdiffusion

เป็นวิธีการทำตัวอย่างให้บริสุทธิ์ โดยอาศัยการระเหยของสารตัวอย่าง และถูกดักเก็บโดยสารเคมีที่เหมาะสมและแยกเก็บในช่องอีกส่วนซึ่งทำในระบบปิด ข้อดีคือ ทำได้ง่าย ใช้เครื่องมือและพื้นที่น้อย ราคาถูก เหมาะสำหรับงานวิเคราะห์ซึ่งทำเป็นประจำ ถ้าทำอย่างถูกวิธีจะให้ค่าที่ถูกต้องแม่นยำ แต่ในดินส่วนใหญ่มีอนินทรีย์ในต่ำเจนต์ จึงทำให้ค่าความแม่นยำต่ำลง ข้อเสียของวิธีนี้ คือต้องใช้เวลา 1-2 วัน ในการวิเคราะห์ ทำให้ไม่ค่อยนิยมใช้ (วานา, 2560)

2.2.4 วิธี Stream distillation

เป็นวิธีที่ได้รับความนิยมแพร่หลาย เนื่องจากมีความแม่นยำสูง สามารถใช้วิเคราะห์ isotope ratio ในรูปต่างๆ วิธีนี้ใช้ MgO เป็นด่างในการกลั่น และใช้ devarda alloy เป็น reductant วิธีนี้มีข้อเสีย คือ ใช้เวลาในการวิเคราะห์นาน ขั้นตอนยุ่งยาก และเครื่องมือมีราคาแพง

สมชาย และคณะ (2543) ศึกษาวิธีวิเคราะห์ปริมาณแอมโมเนียมและในต่ำที่สกัดได้โดย Mehlich I ในดินปลูกข้าวโพดของประเทศไทย โดยนำสารละลายน้ำที่สกัดได้จากดินมาวิเคราะห์ในต่ำโดยใช้วิธีการกลั่นและวิธีเทียบสี ทำการเปรียบเทียบผลการวิเคราะห์ที่ได้จากทั้ง 2 วิธี พบว่า วิธีการกลั่นและวิธีเทียบสีให้ค่าวิเคราะห์เท่ากัน และได้ตรวจสอบความแม่นยำและความน่าเชื่อถือของวิธีวิเคราะห์โดยการปลูกพืชในกระถาง ผลสรุปได้ว่า วิธีการวิเคราะห์ปริมาณแอมโมเนียมและในต่ำในดินโดยวิธีเทียบสีสามารถใช้ทดแทนวิธีการกลั่น เมื่อมีการใช้ Mehlich I เป็นน้ำยาสกัดดิน

2.2.5 วิธี Flow injection analysis

เป็นวิธีที่วัดการเกิดสีของไนโอนที่ต้องการ โดยการฉีดสารละลายน้ำที่ต้องการวิเคราะห์ลงในส่วนของ carrier solution ที่ไม่มีการแยกส่วน (nonsegmented) โดยฟองอากาศหรือแก๊สสารละลายน้ำที่ต้องการจะถูกส่งผ่านเข้า Cadmium column ในต่ำที่สารละลายน้ำที่ต้องการจะถูกรีดิวส์ให้เป็นไนโตรท์ ซึ่งไนโตรท์จะทำปฏิกิริยากับ sulfanilamide และ N-(1-naphthyl) ethylenediamine dihydrochloride ทำให้เกิดสี แล้วทำการวัดค่าการดูดกลืนแสง

นิทรา และคณะ (2544) ศึกษาการวิเคราะห์ปริมาณไนโตรที่ด้วยวิธี cadmium reduction flow injection analysis (FIA) โดยฉีดสารละลายน้ำที่ต้องการ ไนโตรท์ที่ไนโตรท์จะถูกรีดิวส์ให้เป็นไนโตรท์โดยใช้สารละลายน้ำที่ต้องการทำปฏิกิริยากับ reagent โดยไม่ผ่าน cadmium column เอาค่าไนโตรท์ที่ได้ลบออกจากไนโตรท์ที่ผ่านคอลัมน์จะได้ค่าไนโตรท์ เมื่อไนโตรท์ผ่าน cadmium column จะเปลี่ยนเป็นไนโตรท์และทำปฏิกิริยากับ sulfanilamide และสาร N-(1-naphthyl) ethylenediamine

dihydrochloride เกิดสารละลายสีม่วงแดง วัดความเข้มของสีด้วยเครื่อง Spectrophotometer ที่ความยาวคลื่น 520 นาโนเมตร

อนินทรีย์ในตอรเจนในรูปอื่นๆ ที่เปลี่ยนรูปโดยการเปลี่ยนแปลงโดยจุลินทรีย์ในดิน ได้แก่ ไฮดรอกซิล (NH_2OH), hyponitrous acid ($\text{H}_2\text{N}_2\text{O}_2$) และ nitramide (NH_2NO_2) แต่สารเหล่านี้มักจะไม่เสียรินในดิน ไม่ทนทานต่อความร้อน และสภาพอากาศที่ถ่ายเทในดิน (Mulvaney, 1996) การวิเคราะห์ดินโดยย่อสลายดินด้วยกรดก็จะทำให้ nitrate และ nitrite ระเหยไปจากดินด้วย

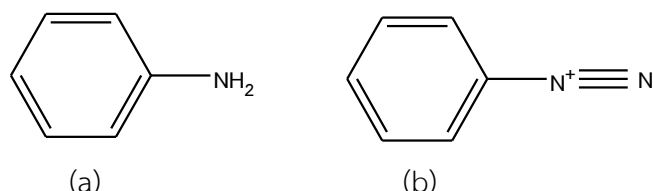
3. หลักการวิเคราะห์ในตอรทในตัวอย่างดิน

ปริมาณในตอรทที่สกัดได้จากดินเป็นรูปหนึ่งของในตอรเจนที่พืชสามารถใช้ประโยชน์ได้ มีวิธีวิเคราะห์ซึ่งประกอบด้วย การสกัดดิน และการวัดปริมาณในตอรทในสารละลายดิน งานวิจัยนี้เลือกใช้น้ำยาสกัด Mehlich I เนื่องจากสามารถใช้สกัดในตอรทจากดินได้ผลดี ทั้งยังสามารถเตรียมได้ง่ายและราคาถูก และเพื่อให้สอดคล้องกับการพัฒนาเป็นชุดทดสอบในตอรทในดินภาคสนาม จึงเลือกสกัดตัวอย่างดิน ด้วยน้ำยาสกัดดังกล่าว เช่นเดียวกับชุดตรวจสอบในตอรทในดินภาคสนาม (LD Test Kit) ของกรมพัฒนาฯดิน ส่วนการวัดปริมาณในตอรทในสารละลายดิน ผู้วิจัยเลือกวิธี colorimetric โดยอาศัยการเกิดปฏิกิริยาของสารประกอบเชิงชั้นสีม่วงแดงของในตอรทกับ Sulphanilic acid และ N-(1-Naphthyl) ethylenediamine dihydrochloride ในสภาพกรดเกิดเป็นสารประกอบเอโซได (azo dye) สามารถวัดค่าการดูดกลืนแสงได้ดีที่ความยาวคลื่น 530 นาโนเมตร ด้วยเครื่อง UV-Vis Spectrophotometer จากนั้นนำค่าการดูดกลืนแสงที่ได้ไปเทียบกับกราฟมาตรฐาน จะสามารถคำนวณหาความเข้มข้นของในตอรทได้ ดังสมการ



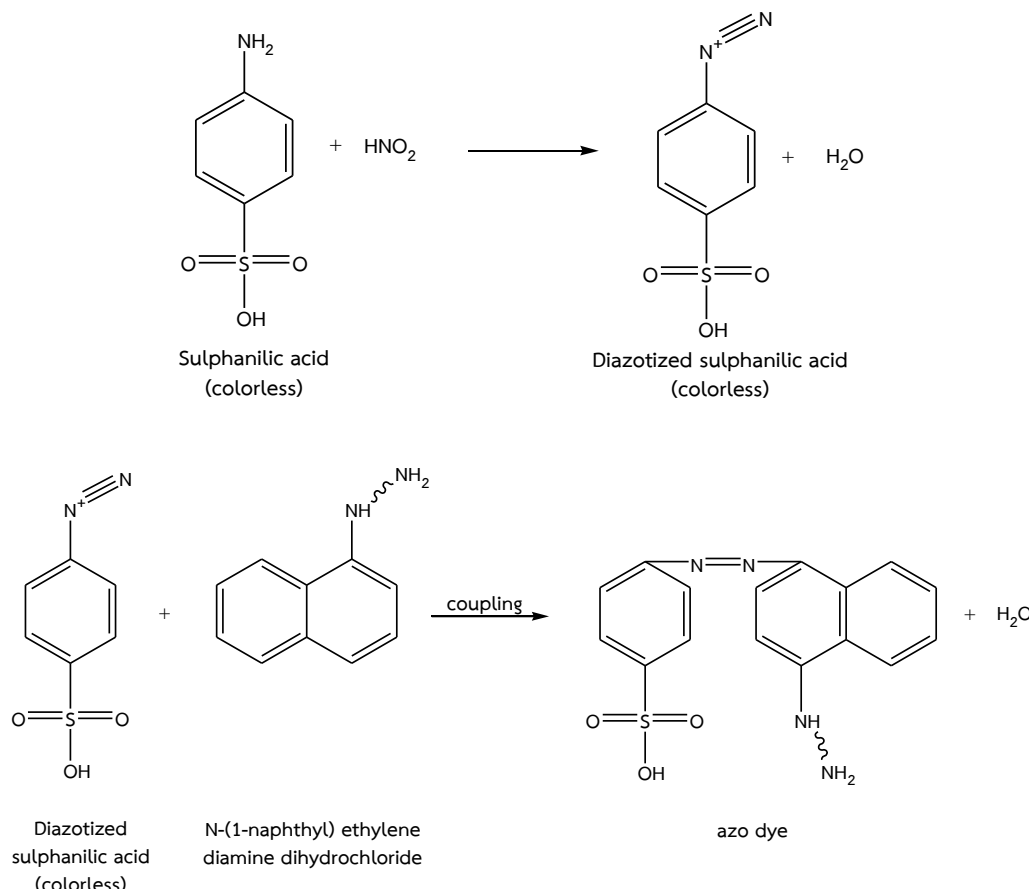
กลไกการทำงานของรีเอเจนต์ (Reagent)

หลักการวิเคราะห์ในตอรทด้วยวิธี Colorimetric คือ อาศัยการเข้าทำปฏิกิริยาระหว่างในตอรสีเอซิด (HNO_2) และกรดซัลฟานิลิก (Sulphanilic acid) ซึ่งมีวงแหวนเอmineปฐมภูมิ (aromatic primary amine) ก่อนทำให้เกิดเป็นดิอะโซเนียมไอออน (diazonium ion) ดังภาพที่ 2 และทำปฏิกิริยาต่อ (coupling) กับ N-(1-Naphthyl) ethylenediamine dihydrochloride ในสภาพกรด ได้เป็นเอโซได (azo dye) ดังภาพที่ 3



ภาพที่ 2 แสดงวงแหวนเอmineปฐมภูมิ (a) และดิอะโซเนียมไอออน (b)

ที่มา : Song and Kaylor, 2007



ภาพที่ 3 แสดงการเกิดปฏิกิริยาเอโซไซด์ (azo dye) ของการวิเคราะห์ในเตราท์

4. เครื่อง UV-Vis Spectrophotometer

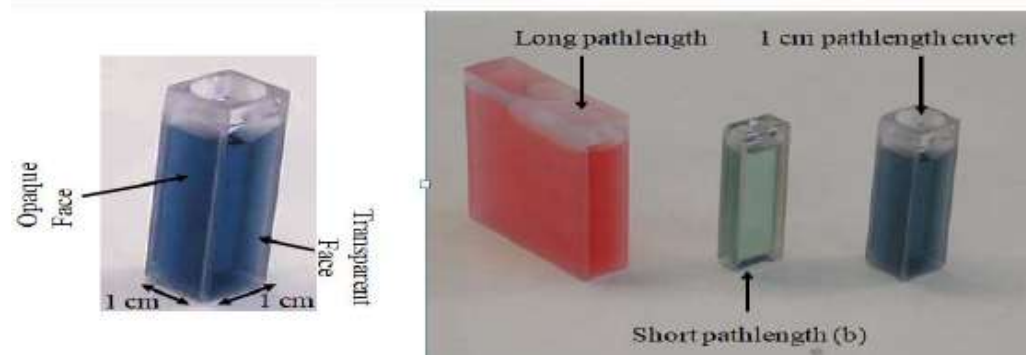
เครื่อง UV-Vis Spectrophotometer เป็นเครื่องมือสำหรับตรวจหาปริมาณของสาร อาศัยหลักการ คือ สารแต่ละชนิดสามารถดูดกลืนแสงได้ในช่วงความยาวคลื่นที่แตกต่างกัน และปริมาณการดูดกลืนแสงขึ้นอยู่กับความเข้มของสารนั้นๆ (Kanjana, 2017)

ส่วนประกอบของเครื่อง UV-Vis Spectrophotometer

1) แหล่งกำเนิดแสง (Light source) เป็นส่วนที่ให้แสงในช่วงความยาวคลื่นที่เหมาะสม ได้แก่ 190-1100 นาโนเมตร

2) โมโนโครเมเตอร์ (Monochromator) เป็นส่วนที่ใช้จัดการเกี่ยวกับแสง ทำหน้าที่แยกลำแสงที่มีความยาวคลื่นต่อเนื่องออกเป็นลำแสงสีความยาวคลื่นเดียว

3) ช่องใส่ตัวอย่างและอุปกรณ์บรรจุตัวอย่าง (Sample and Cuvette) ช่องใส่ตัวอย่างใช้ใส่ตัวอย่างที่ต้องการวัด ปกติการออกแบบช่องใส่ตัวอย่างจะมีฝาปิด หรือเลื่อนปิดอย่างมีดีไซด์ เพื่อไม่ให้แสงจากภายนอกตกไปยัง detector ส่วนที่ใส่ตัวอย่างนี้จะปิดกันอย่างดีเพื่อป้องกัน monochromator และ detector cell อุปกรณ์บรรจุตัวอย่าง (cuvette) ทำจากวัสดุชนิดต่างๆ ได้แก่ Quartz, optical glass และ plastic การเลือกวัสดุนั้นจะขึ้นอยู่กับความยาวคลื่นที่ใช้วัด และลักษณะตัวอย่าง



ภาพที่ 4 แสดงลักษณะของอุปกรณ์บรรจุตัวอย่าง

- 4) ส่วนตรวจสอบแสงที่เหลือจากการดูดกลืนตัวอย่าง (Detector) ทำหน้าที่แปลงพลังงานแสงให้เป็นสัญญาณไฟฟ้า ได้แก่ Silicon photodiode และ Photomultiplier tube detector
- 5) การประมวลผลและแสดงผล



ภาพที่ 5 แสดงเครื่อง UV-Vis Spectrophotometer

ระยะเวลาและสถานที่ดำเนินการ

ระยะเวลาดำเนินการ	เริ่มต้น เดือนเมษายน 2560 สิ้นสุด เดือนมีนาคม 2561
สถานที่ดำเนินการ	ห้องปฏิบัติการกลุ่มวิจัยเคมีดิน สำนักวิทยาศาสตร์เพื่อการพัฒนาที่ดิน

อุปกรณ์และวิธีดำเนินการ

1. เครื่องมือและอุปกรณ์

- 1.1 เครื่อง UV-Vis Spectrophotometer ยี่ห้อ Perkin Elmer รุ่น lambda 35
- 1.2 เครื่องเขย่าสารแควรานบ ยี่ห้อ New Brunswick Scientific รุ่น innova 2300
- 1.3 เครื่องซั่ง 4 ตำแหน่ง ยี่ห้อ Sartorius รุ่น AC211S
- 1.4 เครื่องซั่ง 2 ตำแหน่ง ยี่ห้อ OHAUS รุ่น SPS202F
- 1.5 เครื่องผสมสารละลาย (Vortex)
- 1.6 ตู้ดูดความชื้น (Desiccator)
- 1.7 อุปกรณ์ดูดจ่ายสารละลาย (Dispenser) ขนาด 50 มิลลิลิตร
- 1.8 กระดาษกรอง Whatman No.5 ขนาดเส้นผ่าศูนย์กลาง 125 มิลลิเมตร
- 1.9 กรวยกรองพลาสติก (Funnel)
- 1.10 ขวดรูป楚嘴 (Erlenmeyer flask) ขนาด 50 มิลลิลิตร
- 1.11 หลอดทดลอง (Test tube)
- 1.12 ขวดวัดปริมาตร (Volumetric flask) ขนาด 100 และ 1000 มิลลิลิตร
- 1.13 เครื่องแก้วที่จำเป็นในห้องปฏิบัติการ

2. สารเคมี

- 2.1 Hydrochloric acid (conc. HCl)
- 2.2 Sulfuric acid (conc. H_2SO_4)
- 2.3 Potassium nitrate (KNO_3)
- 2.4 Citric acid ($\text{C}_6\text{H}_8\text{O}_7 \cdot \text{H}_2\text{O}$)
- 2.5 Sulphanilic acid ($\text{C}_6\text{H}_7\text{NO}_3\text{S}$)
- 2.6 N-(1-Naphthyl) ethylenediamine dihydrochloride ($\text{C}_{12}\text{H}_{14}\text{N}_2 \cdot 2\text{HCl}$)
- 2.7 Manganese (II) sulphate monohydrate ($\text{MnSO}_4 \cdot \text{H}_2\text{O}$)
- 2.8 Zinc powder (Zn)
- 2.9 Ethylenediaminetetraacetic acid disodium salt ($\text{C}_{10}\text{H}_{14}\text{N}_2\text{Na}_2\text{O}_8 \cdot \text{H}_2\text{O}$)

3. การเตรียมสารละลายน้ำ

3.1 น้ำยาสกัด Mehlich I ($0.05\text{N HCl} + 0.025\text{N H}_2\text{SO}_4$) (Mehlich, 1978)

- เติมน้ำกลันในถังพลาสติก ขนาด 20 ลิตร จำนวน 15 ลิตร เติม conc. HCl จำนวน 83 มิลลิลิตร และเติม conc. H_2SO_4 จำนวน 14 มิลลิลิตร จากนั้นเติมน้ำกลันให้ได้ปริมาตร 20 ลิตร

3.2 Reagent A

- ซึ่ง Citric acid จำนวน 10 กรัม ละลายด้วยน้ำกลัน ปรับปริมาตรให้ได้ 100 มิลลิลิตร

3.3 Mixed powder

- ซึ่ง Sulphanilic acid, N-(1-Naphthyl) ethylenediamine dihydrochloride, Manganese (II) sulphate monohydrate, Zinc powder และ Ethylenediaminetetraacetic acid disodium salt อัตราส่วน 8 : 1 : 20 : 1 : 2

- ผสมสารทั้งหมดเข้าด้วยกัน บดให้ละเอียดจนเป็นเนื้อเดียวกัน เก็บสารใส่ขวดทึบแสง นำไปเก็บไว้ในตู้ดูดความชื้น

3.4 Standard Nitrate 1000 มิลลิกรัมต่อลิตร

- ซึ่ง KNO_3 (อบที่ 105 องศาเซลเซียส นาน 3 ชั่วโมง) จำนวน 7.2183 กรัม ละลายด้วยน้ำกลัน ปรับปริมาตรให้ได้ 1 ลิตร

3.5 Standard NO_3^- 100 มิลลิกรัมต่อลิตร

- ปีเปตสารละลาย Standard Nitrate 1000 มิลลิกรัมต่อลิตร จำนวน 10 มิลลิลิตร ใส่ลงในขวดวัดปริมาตรขนาด 100 มิลลิลิตร ปรับปริมาตรด้วยน้ำยาสกัด Mehlich I

3.6 Standard NO_3^- 10 มิลลิกรัมต่อลิตร

- ปีเปตสารละลาย Standard Nitrate 1000 มิลลิกรัมต่อลิตร จำนวน 10 มิลลิลิตร ใส่ลงในขวดวัดปริมาตรขนาด 1000 มิลลิลิตร ปรับปริมาตรด้วยน้ำยาสกัด Mehlich I

3.7 Standard NO_3^- 5 มิลลิกรัมต่อลิตร

- ปีเปตสารละลาย Standard Nitrate 1000 มิลลิกรัมต่อลิตร จำนวน 5 มิลลิลิตร ใส่ลงในขวดวัดปริมาตรขนาด 1000 มิลลิลิตร ปรับปริมาตรด้วยน้ำยาสกัด Mehlich I

3.8 Standard Curve NO_3^- 0.25, 1, 2, 3, 4, 5, 6, 8, 10 และ 12.5 มิลลิกรัมต่อลิตร

- ปีเปตสารละลาย Standard NO_3^- 100 มิลลิกรัมต่อลิตร จำนวน 0.25, 1, 2, 3, 4, 5, 6, 8, 10 และ 12.5 มิลลิลิตร ใส่สารละลายแต่ละความเข้มข้นลงในขวดวัดปริมาตรขนาด 100 มิลลิลิตร ปรับปริมาตรด้วยน้ำยาสกัด Mehlich I

3.9 สารละลายเทียบสีมาตรฐาน 1, 10, 11, 20, 21, 30, 31 และ 50 มิลลิกรัมต่อกิโลกรัม หรือ 0.25, 2.5, 2.75, 5, 5.25, 7.5, 7.75 และ 12.5 มิลลิกรัมต่อลิตร

- ปีเปตสารละลาย Standard NO_3^- 100 มิลลิกรัมต่อลิตร จำนวน 0.25, 2.5, 2.75, 5, 5.25, 7.5, 7.75, และ 12.5 มิลลิลิตร ใส่สารละลายแต่ละความเข้มข้นลงในขวดวัดปริมาตรขนาด 100 มิลลิลิตร ปรับปริมาตรด้วยน้ำยาสกัด Mehlich I

4. วิธีดำเนินการ

งานวิจัยนี้ ดัดแปลงมาจากวิทยานิพนธ์ของศิริพร (2555) ซึ่งศึกษาเรื่อง การพัฒนาชุดทดสอบปริมาณแอมโมเนียมและไนเตรตในน้ำภาคสนามสำหรับโครงการศึกษาวิจัยและพัฒนาสิ่งแวดล้อมแหล่งน้ำ ผู้เบี่ยงอันเนื่องมาจากพระราชดำริ มีการศึกษาดังต่อไปนี้

4.1 การศึกษาสภาวะที่เหมาะสมในการเกิดปฏิกิริยาของการวิเคราะห์ในtered

ปัจจัยที่ทำการศึกษา คือ ปริมาณของสารเคมี ซึ่งสารเคมีที่ทำการศึกษา “ได้แก่ ปริมาตรของ Reagent A, ปริมาณของ Mixed powder และระยะเวลาที่เหมาะสมในการเกิดปฏิกิริยาอย่างสมบูรณ์ โดยการศึกษานี้เลือกใช้สารละลายมาตราตรฐานในtered เข้มข้น 5.0 และ 10.0 มิลลิกรัมต่อลิตร ปริมาตรความเข้มข้น 5 มิลลิลิตร ความเข้มข้น 5.0 และ 10.0 มิลลิกรัมต่อลิตร

4.1.1 ศึกษาปริมาตรของ Reagent A

ปีเปตสารละลายมาตราตรฐานในtered ความเข้มข้น 5.0 และ 10.0 มิลลิกรัมต่อลิตร ปริมาตรความเข้มข้น 5 มิลลิลิตร ใส่ลงในหลอดทดลอง เติม Reagent A ปริมาตร 0.5, 1.0, 1.5 และ 2.0 มิลลิลิตร ตามลำดับ จากนั้นเติม Mixed powder 0.04 กรัม เขย่าให้เข้ากัน ตั้งทิ้งไว้ 30 นาที เพื่อให้เกิดปฏิกิริยาอย่างสมบูรณ์ นำสารละลายทั้งหมดไปวัดค่าการดูดกลืนแสง (Abs) ด้วยเครื่อง UV-Vis Spectrophotometer ที่ความยาวคลื่น 530 นาโนเมตร เทียบกับสารละลายแบล็คที่ใช้น้ำกลั่นแทนสารละลายมาตราตรฐานในtered พร้อมกับสังเกตสีของสารละลาย ทำการทดสอบช้าความเข้มข้น 5 ครั้ง

4.1.2 ศึกษาปริมาณของ Mixed powder

ปีเปตสารละลายมาตราตรฐานในtered ความเข้มข้น 5.0 และ 10.0 มิลลิกรัมต่อลิตร ปริมาตรความเข้มข้น 5 มิลลิลิตร ใส่ลงในหลอดทดลอง เติม Reagent A ตามปริมาตรที่เหมาะสมที่ได้ศึกษาไว้ในข้อที่ 4.1.1 จากนั้นเติม Mixed powder ปริมาณ 0.02, 0.04, 0.08 และ 0.12 กรัม ตามลำดับ เขย่าให้เข้ากัน ตั้งทิ้งไว้ 30 นาที เพื่อให้เกิดปฏิกิริยาอย่างสมบูรณ์ นำสารละลายทั้งหมดไปวัดค่าการดูดกลืนแสง (Abs) ด้วยเครื่อง UV-Vis Spectrophotometer ที่ความยาวคลื่น 530 นาโนเมตร เทียบกับสารละลายแบล็คที่ใช้น้ำกลั่นแทนสารละลายมาตราตรฐานในtered พร้อมกับสังเกตสีของสารละลาย ทำการทดสอบช้าความเข้มข้น 5 ครั้ง

4.1.3 ศึกษาระยะเวลาที่เหมาะสมในการเกิดปฏิกิริยาอย่างสมบูรณ์

ปีเปตสารละลายมาตราตรฐานในtered ความเข้มข้น 5.0 และ 10.0 มิลลิกรัมต่อลิตร ปริมาตรความเข้มข้น 5 มิลลิลิตร ใส่ลงในหลอดทดลอง เติม Reagent A ตามปริมาตรที่เหมาะสมที่ได้ศึกษาไว้ในข้อที่ 4.1.1 เติม Mixed powder ตามปริมาณที่เหมาะสมที่ได้ศึกษาไว้ในข้อที่ 4.1.2 เขย่าให้เข้ากัน ตั้งทิ้งไว้เพื่อให้เกิดปฏิกิริยาอย่างสมบูรณ์ที่เวลา 5, 10, 15, 20, 25 และ 30 นาที ตามลำดับ นำสารละลายทั้งหมดไปวัดค่าการดูดกลืนแสง (Abs) ด้วยเครื่อง UV-Vis Spectrophotometer ที่ความยาวคลื่น 530 นาโนเมตร เทียบกับสารละลายแบล็คที่ใช้น้ำกลั่นแทนสารละลายมาตราตรฐานในtered พร้อมกับสังเกตสีของสารละลาย ทำการทดสอบช้าความเข้มข้น 5 ครั้ง

4.2 การเตรียมกราฟสารละลายน้ำในต่ำ

ทำเพื่อศึกษาช่วง (Range) และความเป็นเส้นตรง (Linearity) ที่เหมาะสมในการวิเคราะห์ปริมาณในต่ำจากสภาวะที่เหมาะสมในการเกิดปฏิกิริยาที่ได้ศึกษาไว้ โดยเตรียมกราฟของสารละลายน้ำในต่ำจาก Standard Curve NO_3^- ข้อ 3.8 โดยใช้สภาวะที่เหมาะสมในการเกิดปฏิกิริยาของการวิเคราะห์ที่ในต่ำที่ได้ศึกษาไว้แล้วในข้อ 4.1 นำสารละลายน้ำทั้งหมดไปวัดค่าการดูดกลืนแสง (Abs) ด้วยเครื่อง UV-Vis Spectrophotometer ที่ความยาวคลื่น 530 นาโนเมตร พร้อมกับสังเกตสีของสารละลายน้ำทำการทดสอบข้ามความเข้มข้นละ 5 ครั้ง จากนั้นนำค่าการดูดกลืนแสง (Abs) ที่ได้มาสร้างกราฟของสารละลายน้ำในต่ำแสดงความสัมพันธ์เชิงเส้นระหว่างค่าการดูดกลืนแสง (แกนตั้ง) กับความเข้มข้นของสารละลายน้ำในต่ำ (แกนนอน) คำนวณหาสมการการถดถอยเชิงเส้น และค่าสัมประสิทธิ์สหสัมพันธ์ (R^2) โดยเกณฑ์การยอมรับได้โดยทั่วไป ค่า R^2 จะต้องมีค่าอยู่ระหว่าง 0.995-1.000 (อุมาพร, ม.ป.ป.)

4.3 การทดสอบความใช้ได้ของการวิเคราะห์ในต่ำในห้องปฏิบัติการ

4.3.1 การเตรียมตัวอย่างดิน

คัดเลือกตัวอย่างดิน จำนวน 630 ตัวอย่าง ที่มีค่า pH อยู่ในช่วง 3.5-8.4 โดยแบ่งช่วงออกเป็น 8 ระดับ ดังแสดงในตารางที่ 1

ตารางที่ 1 ช่วงความเป็นกรดเป็นด่างของดิน

ระดับ (rating)	พิสัย (range)
กรดrun แรงมาก	3.5 – 4.5
กรดจัดมาก	4.6 – 5.0
กรดจัด	5.1 – 5.5
กรดปานกลาง	5.6 – 6.0
กรดเล็กน้อย	6.1 – 6.5
กลาง	6.6 – 7.3
ด่างเล็กน้อย	7.4 – 7.8
ด่างปานกลาง	7.9 – 8.4

ที่มา : ดัดแปลงจาก สำนักวิทยศาสตร์เพื่อการพัฒนาที่ดิน, 2547

4.3.2 การสกัดตัวอย่างดินด้วยน้ำยาสกัด Mehlich I

- ชั่งตัวอย่างดิน 5 กรัม ใส่ขวดรูปทรงพู่ขนาด 50 มิลลิลิตร
- เติมน้ำยาสกัด Mehlich I จำนวน 20 มิลลิลิตร
- เขย่าด้วยเครื่องเขย่าแนวระนาบ ที่ความเร็ว 200 รอบต่อนาที นาน 5 นาที
- กรองด้วยกระดาษกรอง Whatman เบอร์ 5 ขนาดเส้นผ่าศูนย์กลาง 125 มิลลิเมตร

4.3.3 ทดสอบความใช้ได้ (ความแม่นยำ หรือ Precision) ของการวิเคราะห์ในteredจากสภาวะที่เหมาะสมในการเกิดปฏิกิริยา

นำสภาวะที่เหมาะสมในการเกิดปฏิกิริยาของการวิเคราะห์ในteredที่ได้ศึกษาไว้แล้วในข้อที่ 4.1 มาวิเคราะห์หาในteredของสารละลายที่สกัดได้จากตัวอย่างดิน นำสารละลายทั้งหมดไปวัดค่าการดูดกลืนแสง (Abs) ด้วยเครื่อง UV-Vis Spectrophotometer ที่ความยาวคลื่น 530 นาโนเมตร โดยแต่ละตัวอย่างดินทดสอบซ้ำ 3 ครั้ง นำผลที่ได้มาคำนวนหาค่าเฉลี่ย และค่าเบี่ยงเบนมาตรฐานจากนั้นนำไปคำนวนค่าเบี่ยงเบนมาตรฐานสัมพันธ์ (RSD) รายงานหน่วยเป็นเปอร์เซ็นต์ (%) โดยเกณฑ์การยอมรับได้ โดยทั่วไป ค่า %RSD จะต้องมีค่าน้อยกว่า 10

$$\%RSD = \frac{\overline{SD}}{X} \times 100$$

เมื่อ \overline{SD} = ค่าเบี่ยงเบนมาตรฐาน (Standard Deviation)
 X = ค่าเฉลี่ย (ทดสอบซ้ำ 3 ครั้ง)

4.4 การเตรียมสารละลายเทียบสีมาตรฐานสำหรับการวิเคราะห์ในteredในดินอย่างง่าย

เตรียมจากสารละลายเทียบสีมาตรฐาน ข้อ 3.9 โดยใช้สภาวะที่เหมาะสมในการเกิดปฏิกิริยาของการวิเคราะห์ในteredที่ได้ศึกษาไว้แล้วในข้อ 4.1 จากนั้นนำสารละลายทั้งหมดไปวัดค่าการดูดกลืนแสง (Abs) ด้วยเครื่อง UV-Vis Spectrophotometer ที่ความยาวคลื่น 530 นาโนเมตร เทียบกับสารละลายแบลลงค์ที่ใช้น้ำกลั่นแทนสารละลายน้ำในtered พร้อมกับสังเกตสีของสารละลายทำการทดสอบซ้ำความเข้มข้นละ 5 ครั้ง นำค่าการดูดกลืนแสง (Abs) ที่ได้มาสร้างกราฟของสารละลายเทียบสีมาตรฐานแสดงความสัมพันธ์เชิงเส้นระหว่างค่าการดูดกลืนแสงกับความเข้มข้นของสารละลายเทียบสีมาตรฐานในtered

4.5 การเปรียบเทียบการวิเคราะห์ในteredในดินด้วยสารละลายเทียบสีมาตรฐานกับเครื่อง UV-Vis Spectrophotometer

4.5.1 การเตรียมตัวอย่างดิน

คัดเลือกตัวอย่างดิน จำนวน 300 ตัวอย่าง ที่มีค่า pH อยู่ในช่วง 3.5-8.4 โดยแบ่งช่วงออกเป็น 8 ระดับ ตามข้อ 4.3.1

4.5.2 วิเคราะห์ในเตρทในดินด้วยสารละลายเทียบสีมาตรฐานเทียบกับเครื่อง UV-Vis Spectrophotometer

สกัดตัวอย่างดินด้วยน้ำยาสกัด Mehlich I ตามวิธีข้อ 4.3.2 จากนั้นนำสภาวะที่เหมาะสมในการเกิดปฏิกิริยาของการวิเคราะห์ในเตρทที่ได้ศึกษาไว้แล้วในข้อที่ 4.1 มาวิเคราะห์หาปริมาณในเตρทของตัวอย่างดิน โดยอ่านสีของสารละลายที่ได้ด้วยสายตาเทียบกับสารละลายเทียบสีมาตรฐานที่แบ่งออกเป็น 5 ช่วง ดังตารางผนวกที่ 11 เทียบผลกับการวิเคราะห์ด้วยเครื่อง UV-Vis Spectrophotometer ที่ความยาวคลื่น 530 นาโนเมตร

การเปรียบเทียบและแปลผล

การวิเคราะห์หาปริมาณในเตρทของตัวอย่างดินด้วยสารละลายเทียบสีมาตรฐาน อ่านผลเป็นระดับ VL (ต่ำมาก), L (ต่ำ), M (ปานกลาง), H (สูง) และ VH (สูงมาก) เมื่อนำตัวอย่างดังกล่าวมาวิเคราะห์ด้วยเครื่อง UV-Vis Spectrophotometer และแปลผลเป็นระดับ VL (ต่ำมาก), L (ต่ำ), M (ปานกลาง), H (สูง) และ VH (สูงมาก)

หากช่วงที่อ่านได้จากสารละลายเทียบสีมาตรฐานมีค่าอยู่ในช่วงที่ถูกต้องตรงกันกับค่าที่วิเคราะห์ด้วยเครื่อง UV-Vis Spectrophotometer ดังแสดงในตารางที่ 2 แสดงว่า ยอมรับ (Accept) แต่หากว่า ช่วงที่อ่านได้จากสารละลายเทียบสีมาตรฐานมีค่าอยู่ในช่วงที่ไม่ตรงกันกับค่าที่วิเคราะห์ด้วยเครื่อง UV-Vis Spectrophotometer แสดงว่า ไม่ยอมรับ (No Accept)

ตารางที่ 2 เกณฑ์การยอมรับ (Accept) การเปรียบเทียบการวิเคราะห์ในเตρทด้วยสารละลายเทียบสีมาตรฐานกับเครื่อง UV-Vis Spectrophotometer

ระดับ	ปริมาณในเตρทของตัวอย่างดิน	
	สารละลายเทียบสีมาตรฐาน (มิลลิกรัมต่อกรัม)	เครื่อง UV-Vis Spectrophotometer
VL (ต่ำมาก)	<1	0 – 0.99
L (ต่ำ)	1 – 10	1.00 – 10.99
M (ปานกลาง)	11 – 20	11.00 – 20.99
H (สูง)	21 – 30	21.00 – 30.99
VH (สูงมาก)	31 – 50	31.00 – 50.99

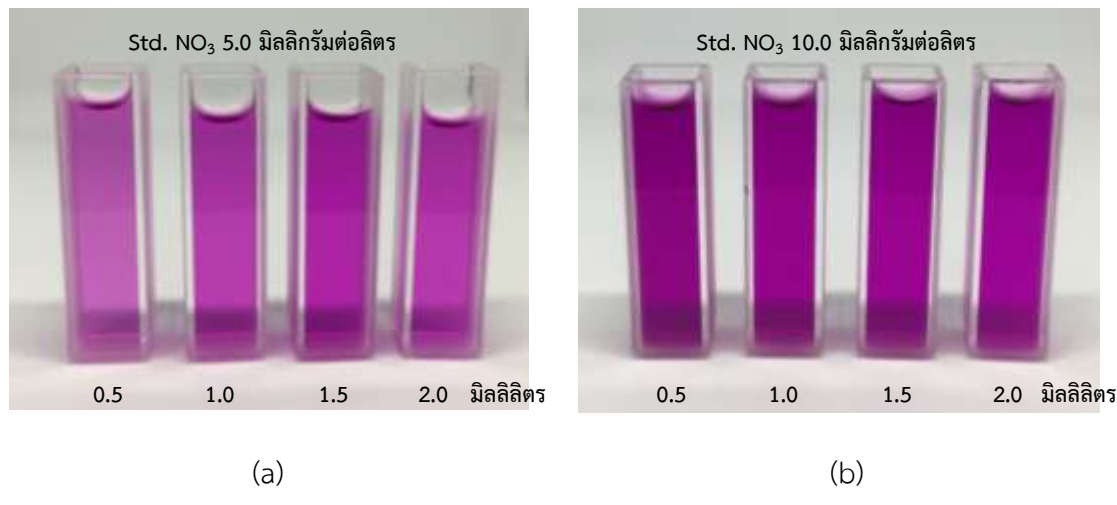
ผลการทดลอง

1. การศึกษาสภาวะที่เหมาะสมในการเกิดปฏิกิริยาของการวิเคราะห์ใน terrestrial

ปัจจัยที่ทำการศึกษา คือ ปริมาณของสารเคมี ได้แก่ ปริมาตรของ Reagent A, ปริมาณของ Mixed powder และระยะเวลาที่เหมาะสมในการเกิดปฏิกิริยาอย่างสมบูรณ์ ผลที่ได้จากการศึกษามีดังนี้

1.1 ปริมาตรของ Reagent A

จากการเติม Reagent A ลงในสารละลายน้ำตราชูนใน terrestrial ความเข้มข้น 5.0 และ 10.0 มิลลิกรัมต่อลิตร ปริมาตร 0.5, 1.0, 1.5 และ 2.0 มิลลิลิตร ตามลำดับ ผลการศึกษาพบว่า ปริมาตรของ Reagent A มีผลเพียงเล็กน้อยกับความเข้มของสีของสารละลายน้ำตราชูนใน terrestrial ดังนั้น ปริมาตร Reagent A ที่เหมาะสม คือ 0.5 มิลลิลิตร ซึ่งเป็นปริมาตรสารที่น้อยที่สุดที่ทำให้เกิดความแตกต่างของสีของสารละลายน้ำตราชูนใน terrestrial ดังแสดงในภาพที่ 6 และค่าการอุดกลืนแสงมีความสัมพันธ์กับความเข้มข้นของสารละลายน้ำตราชูนใน terrestrial ดังแสดงในตารางที่ 3 และตารางผนวกที่ 1 และ 2



ภาพที่ 6 แสดงสีของสารละลายน้ำตราชูนใน terrestrial ความเข้มข้น 5.0 มิลลิกรัมต่อลิตร (a) และ 10.0 มิลลิกรัมต่อลิตร (b) จากการเติม Reagent A ปริมาตร 0.5, 1.0, 1.5 และ 2.0 มิลลิลิตร ตามลำดับ

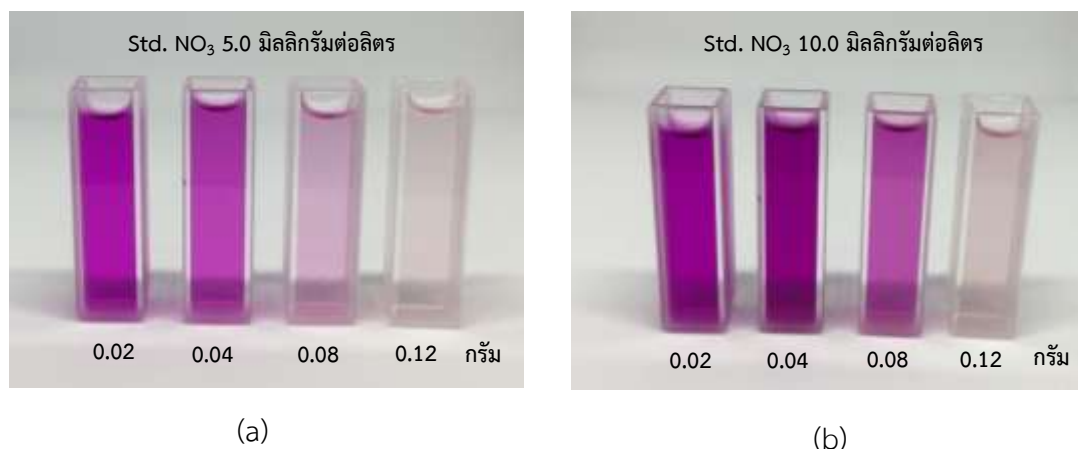
ตารางที่ 3 ค่าการดูดกลืนแสงของสารละลายนามตระฐานในเทρท 5.0 และ 10.0 มิลลิกรัมต่อลิตร จากการเติม Reagent A ปริมาณ 0.5, 1.0, 1.5 และ 2.0 มิลลิลิตร ตามลำดับ

ความเข้มข้น ในเทρท (มิลลิกรัมต่อลิตร)	ค่าเฉลี่ยของค่าการดูดกลืนแสง ± ค่าเบี่ยงเบนมาตรฐาน			
	ปริมาณของ Reagent A (มิลลิลิตร)	0.5	1.0	1.5
5.0	0.84 ± 0.01	0.81 ± 0.02	0.78 ± 0.01	0.71 ± 0.01
10.0	2.47 ± 0.01	2.27 ± 0.01	2.07 ± 0.01	1.87 ± 0.01

หมายเหตุ ค่าเฉลี่ยและค่าเบี่ยงเบนมาตรฐานได้จากการทดสอบซ้ำ 5 ครั้ง

1.2 ปริมาณของ Mixed powder

จากการเติม Mixed powder ลงในสารละลายนามตระฐานในเทρทความเข้มข้น 5.0 และ 10.0 มิลลิกรัมต่อลิตร ปริมาณ 0.02, 0.04, 0.08 และ 0.12 กรัม ตามลำดับ ผลการศึกษาพบว่า ปริมาณของ Mixed powder ที่เหมาะสม คือ 0.02 กรัม ซึ่งเป็นปริมาณที่น้อยที่สุด เมื่อพิจารณาด้วยสายตาจะทำให้เห็นความแตกต่างของสีของสารละลายนามตระฐานในเทρทได้ชัดเจน และหากใช้ Mixed powder ในปริมาณที่มากขึ้นจะเกิดตะกอนของสาร ทำให้การพิจารณาด้วยสายตาคลาดเคลื่อนได้ง่าย รวมทั้งสีของสารละลายนามตระฐานในเทρทจะดูคล้ำลงด้วย ดังแสดงในภาพที่ 7 และค่าการดูดกลืนแสงมีความสัมพันธ์กับความเข้มข้นของสารละลายนามตระฐานในเทρท ดังแสดงในตารางที่ 4 และตารางผนวกที่ 3 และ 4



ภาพที่ 7 แสดงสีของสารละลายนามตระฐานในเทρทความเข้มข้น 5.0 มิลลิกรัมต่อลิตร (a) และ 10.0 มิลลิกรัมต่อลิตร (b) จากการเติม Mixed powder ปริมาณ 0.02, 0.04, 0.08 และ 0.12 กรัม ตามลำดับ

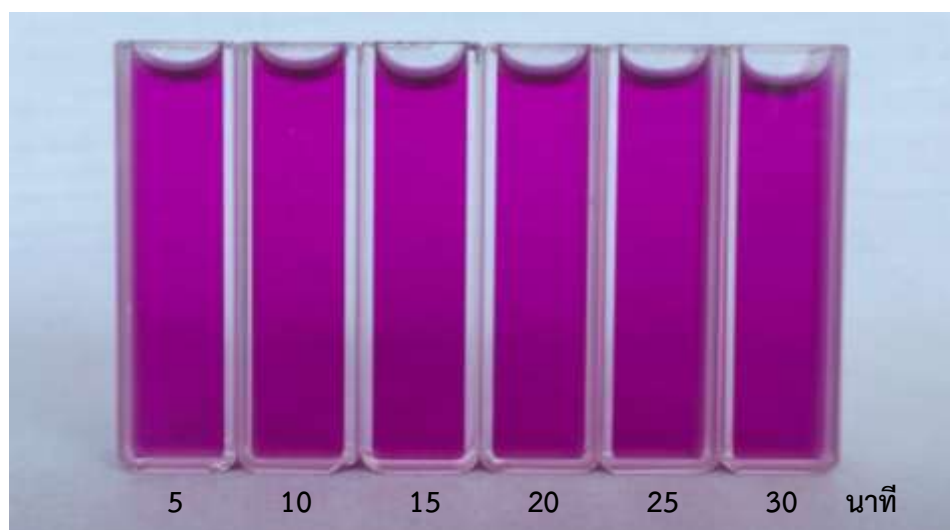
ตารางที่ 4 ค่าการดูดกลืนแสงของสารละลายน้ำตรฐานในเทอร์ 5.0 และ 10.0 มิลลิกรัมต่อลิตร จากการเติม Mixed powder ปริมาณ 0.02, 0.04, 0.08 และ 0.12 กรัม ตามลำดับ

ความเข้มข้น ในเทอร์ (มิลลิกรัมต่อลิตร)	ค่าเฉลี่ยของค่าการดูดกลืนแสง \pm ค่าเบี่ยงเบนมาตรฐาน			
	ปริมาณของ Mixed powder (กรัม)	0.02	0.04	0.08
5.0	1.23 \pm 0.02	0.94 \pm 0.02	0.20 \pm 0.01	0.20 \pm 0.01
10.0	2.44 \pm 0.01	2.38 \pm 0.01	0.47 \pm 0.01	0.38 \pm 0.01

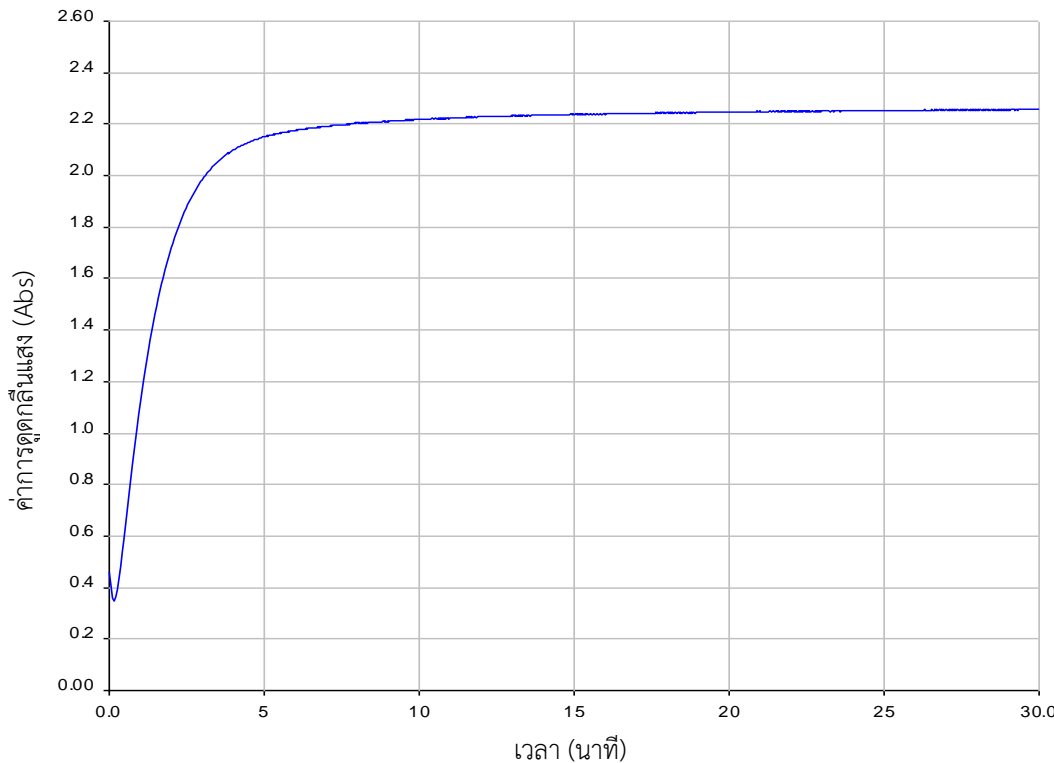
หมายเหตุ ค่าเฉลี่ยและค่าเบี่ยงเบนมาตรฐานได้จากการทดสอบซ้ำ 5 ครั้ง

1.3 ระยะเวลาที่เหมาะสมในการเกิดปฏิกิริยาอย่างสมบูรณ์

จากการตั้งที่ไว้เพื่อให้เกิดปฏิกิริยาอย่างสมบูรณ์ที่เวลา 5, 10, 15, 20, 25 และ 30 นาที ตามลำดับ ผลการศึกษา พบว่า ระยะเวลาที่เหมาะสมในการเกิดปฏิกิริยาอย่างสมบูรณ์ คือ 5 นาที ซึ่งเป็นระยะเวลาที่ทำให้เกิดความแตกต่างของสีได้ชัดเจน และเมื่อตั้งสารละลายน้ำที่ไว้ตั้งแต่ 5 นาทีขึ้นไป หากสังเกตด้วยสายตาสีของสารละลายจะเหมือนเดิม ดังแสดงในภาพที่ 8 โดยค่าการดูดกลืนแสงจะเพิ่มขึ้นเล็กน้อย ซึ่งสอดคล้องกับการสแกนด้วยเครื่อง UV-Vis Spectrophotometer ที่ความยาวคลื่น 530 นาโนเมตร จากการระยะเวลาการเกิดปฏิกิริยาอย่างสมบูรณ์ของการวิเคราะห์ในเทอร์ที่ 5 นาที ให้ค่าการดูดกลืนแสง (Abs) คิดเป็นร้อยละ 95 ของระยะเวลาการเกิดปฏิกิริยาอย่างสมบูรณ์ ดังแสดงในภาพที่ 9 และค่าการดูดกลืนแสงมีความสัมพันธ์กับความเข้มข้นของสารละลายน้ำตรฐานในเทอร์ ดังแสดงในตารางที่ 5 และตารางผนวกที่ 5 และ 6 และจากการศึกษาเพิ่มเติม พบว่า ปฏิกิริยาของ การวิเคราะห์ในเทอร์จะคงที่อยู่ได้ถึง 2 ชั่วโมง 20 นาที ดังแสดงในภาพผนวกที่ 2



ภาพที่ 8 แสดงสีของสารละลายน้ำตรฐานในเทอร์จากการตั้งที่ไว้เพื่อให้เกิดปฏิกิริยาอย่างสมบูรณ์ ที่เวลา 5, 10, 15, 20, 25 และ 30 นาที ตามลำดับ



ภาพที่ 9 แสดงระยะเวลาการเกิดปฏิกิริยาอย่างสมบูรณ์ของการวิเคราะห์ในเตรท

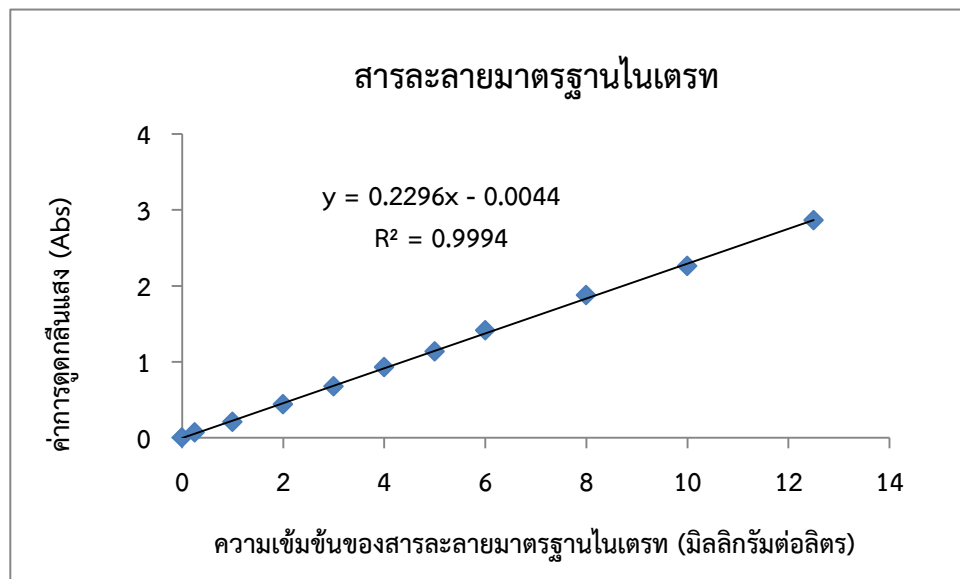
ตารางที่ 5 ค่าการดูดกลืนแสงของสารละลายน้ำตรฐานในเตรท 5.0 และ 10.0 มิลลิกรัมต่อลิตร จากการตั้งที่ไว้เพื่อให้เกิดปฏิกิริยาอย่างสมบูรณ์ที่เวลา 5, 10, 15, 20, 25 และ 30 นาที ตามลำดับ

ระยะเวลาในการ เกิดปฏิกิริยา (นาที)	ค่าเฉลี่ยของค่าการดูดกลืนแสง ± ค่าเบี่ยงเบนมาตรฐาน	
	ความเข้มข้นของสารละลายน้ำตรฐานในเตรท (มิลลิกรัมต่อลิตร)	
	5.0	10.0
5	1.21 ± 0.01	2.17 ± 0.01
10	1.22 ± 0.01	2.24 ± 0.02
15	1.22 ± 0.01	2.35 ± 0.02
20	1.21 ± 0.01	2.30 ± 0.02
25	1.19 ± 0.01	2.30 ± 0.02
30	1.18 ± 0.01	2.30 ± 0.01

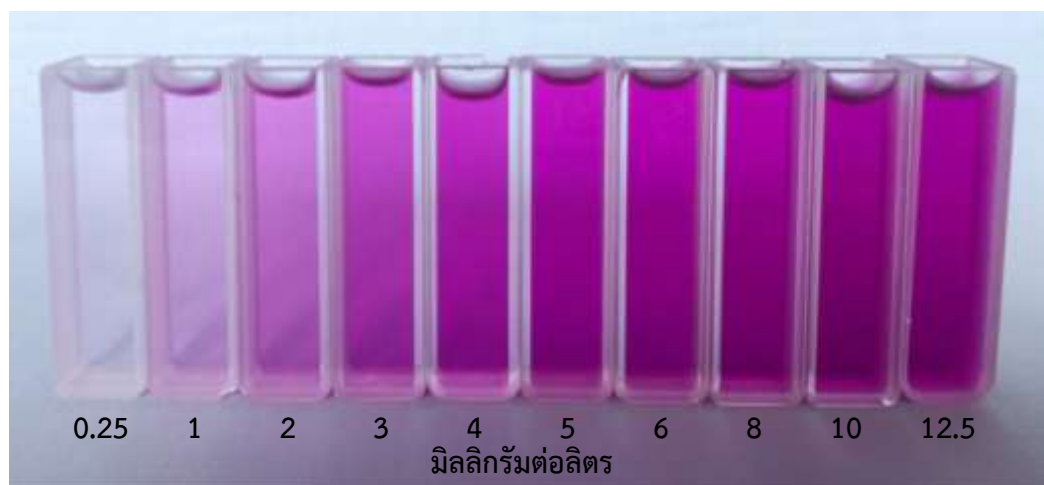
หมายเหตุ ค่าเฉลี่ยและค่าเบี่ยงเบนมาตรฐานได้จากการทดสอบซ้ำ 5 ครั้ง

2. การเตรียมกราฟสารละลายมาตรฐานในเทอร์

การเตรียมกราฟของสารละลายมาตรฐานในเทอร์จากสภาวะที่เหมาะสมในการเกิดปฏิกิริยาของการวิเคราะห์ในเทอร์ ผลการศึกษาพบว่า ความสัมพันธ์ของสารละลายมาตรฐานในเทอร์ความเข้มข้น 0 - 12.5 มิลลิกรัมต่อลิตร กับค่าการดูดกลืนแสงที่ได้ มีลักษณะเป็นเส้นตรง ให้ค่าสมการทดแทนอย่างเช่น เท่ากับ $y = 0.2296x - 0.0044$ และค่าสัมประสิทธิ์สหสัมพันธ์ (R^2) เท่ากับ 0.9994 ดังแสดงในภาพที่ 10 และตารางผนวกที่ 7 และสีของสารละลายมาตรฐานในเทอร์เข้มขึ้นตามความเข้มข้นของสารละลายมาตรฐานที่เพิ่มขึ้นด้วย ดังแสดงในภาพที่ 11



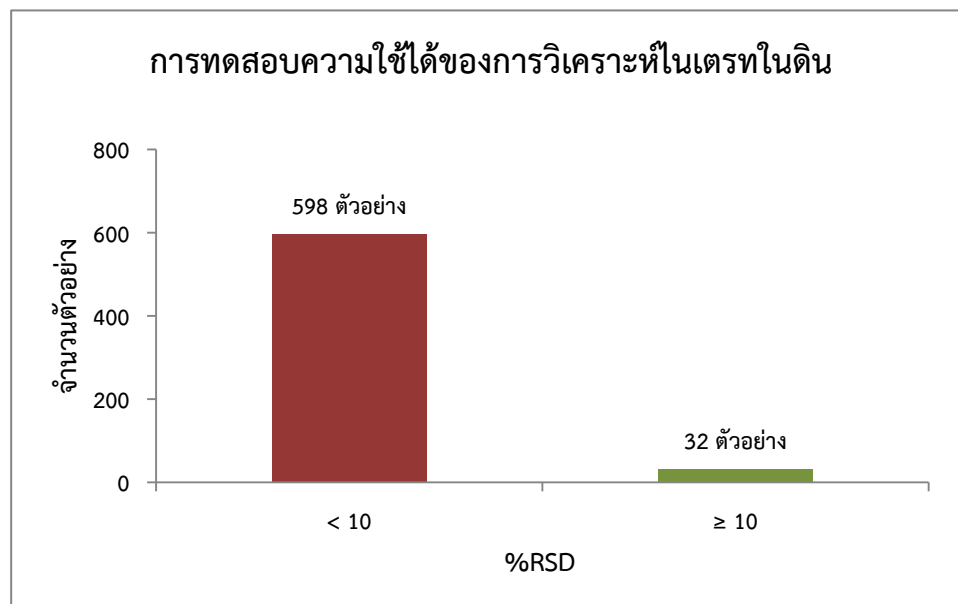
ภาพที่ 10 แสดงกราฟของสารละลายมาตรฐานในเทอร์



ภาพที่ 11 แสดงสีของสารละลายมาตรฐานในเทอร์ ความเข้มข้น 0.25, 1, 2, 3, 4, 5, 6, 8, 10 และ 12.5 มิลลิกรัมต่อลิตร ตามลำดับ

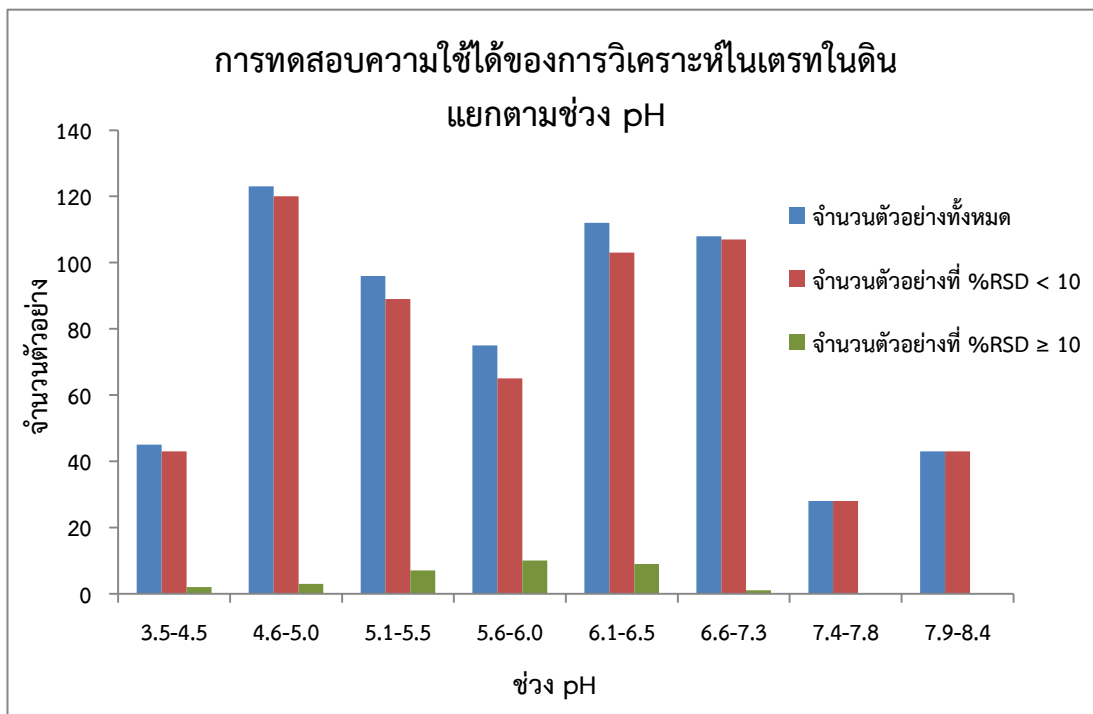
3. การทดสอบความใช้ได้ของภารวิเคราะห์ในteredที่ในดินในห้องปฏิบัติการ

เมื่อนำสภาวะที่เหมาะสมในการเกิดปฏิกิริยาของการวิเคราะห์ในteredที่ในดินที่ได้ศึกษาไว้มาวิเคราะห์หาปริมาณในteredของสารละลายที่สกัดได้จากตัวอย่างดิน จำนวน 630 ตัวอย่าง โดยแต่ละตัวอย่างดิน ทดสอบซ้ำ 3 ครั้ง ผลการศึกษา พบว่า ตัวอย่างดินจำนวน 598 ตัวอย่าง มีค่าเบี่ยงเบนมาตรฐานสัมพันธ์ (%RSD) น้อยกว่า 10 ซึ่งอยู่ในเกณฑ์ที่ยอมรับได้ คิดเป็นร้อยละ 95 และมีตัวอย่างดินจำนวน 32 ตัวอย่าง ที่มีค่าเบี่ยงเบนมาตรฐานสัมพันธ์ (%RSD) มากกว่าหรือเท่ากับ 10 ซึ่งไม่อยู่ในเกณฑ์ที่ยอมรับได้ คิดเป็นร้อยละ 5 ดังแสดงในภาพที่ 12 และตารางผนวกที่ 8 และ 9



ภาพที่ 12 แสดงผลการทดสอบความใช้ได้ของภารวิเคราะห์ในteredที่ในดินจากสภาวะที่เหมาะสมในการเกิดปฏิกิริยาของตัวอย่างดิน 630 ตัวอย่าง

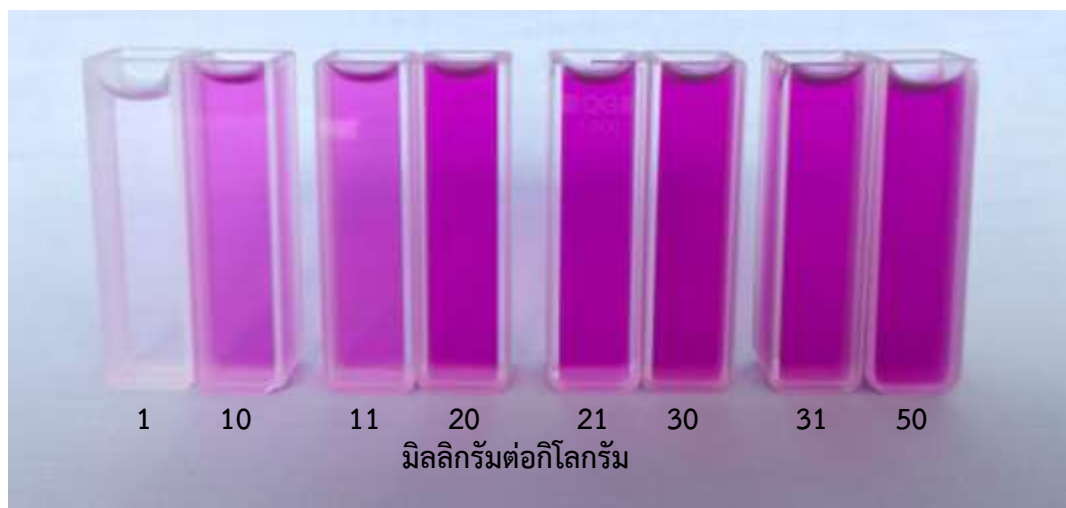
จากตัวอย่างดิน 32 ตัวอย่าง ที่ไม่อยู่ในเกณฑ์ที่ยอมรับได้ เนื่องจาก %RSD มากกว่าหรือเท่ากับ 10 พบรในช่วง pH 3.5-4.5, 4.6-5.0, 5.1-5.5, 5.6-6.0, 6.1-6.5 และ 6.6-7.3 แสดงว่า ค่า pH ไม่มีผลต่อการทดสอบความใช้ได้ของภารวิเคราะห์ในteredที่ในดิน ดังแสดงในภาพที่ 13 และตารางผนวกที่ 9



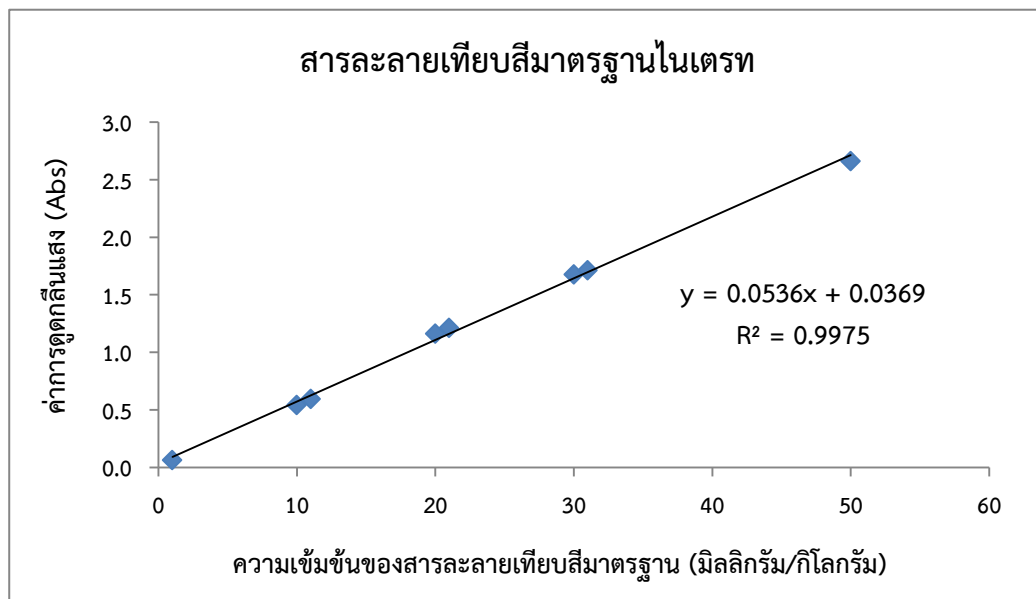
ภาพที่ 13 แสดงผลการทดสอบความใช้ได้ของกราวิเคราะห์ใน terrestrial ในดิน แยกตามช่วง pH ของตัวอย่างดิน 630 ตัวอย่าง

4. การเตรียมสารละลายเทียบสีมาตรฐานสำหรับการวิเคราะห์ปริมาณใน terrestrial ในดินอย่างง่าย

การเตรียมกราฟสารละลายเทียบสีมาตรฐานจากสภาวะที่เหมาะสมในการเกิดปฏิกิริยาของการวิเคราะห์ใน terrestrial ผลการศึกษาพบว่า สีของสารละลายเข้มขึ้นตามความเข้มข้นของใน terrestrial ที่เพิ่มขึ้นด้วย ดังแสดงในภาพที่ 14 ความสัมพันธ์ระหว่างความเข้มข้นของสารละลายเทียบสีมาตรฐานใน terrestrial กับค่าการดูดกลืนแสงที่ได้มีลักษณะเป็นเส้นตรง มีค่าสัมประสิทธิ์สหสัมพันธ์ (R^2) เท่ากับ 0.9975 ดังแสดงในภาพที่ 15 และค่าการดูดกลืนแสงมีความสัมพันธ์กับความเข้มข้นของสารละลายเทียบสีมาตรฐาน ดังแสดงในตารางที่ 6 และตารางผนวกที่ 10



ภาพที่ 14 แสดงสีของสารละลายเทียบสีมาตรฐานในเทรท



ภาพที่ 15 แสดงกราฟของสารละลายเทียบสีมาตรฐานในเทรท

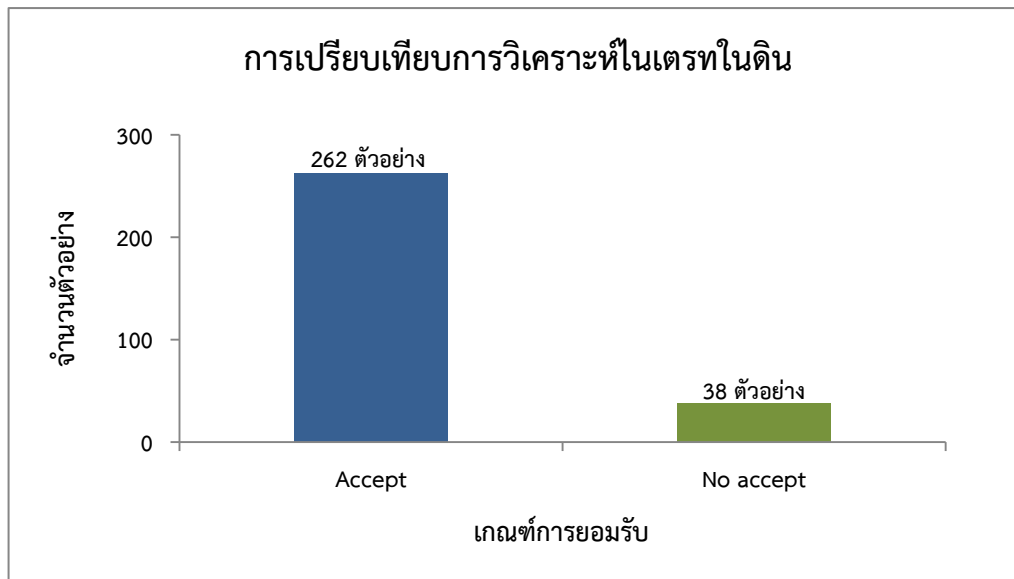
ตารางที่ 6 ค่าการดูดกลืนแสงของสารละลายน้ำที่ติดตัวสีมาตรฐานในเทอร์ท

ความเข้มข้นของ สารละลายน้ำที่ติดตัวสีมาตรฐาน (มิลลิกรัมต่อกิโลกรัม)	ค่าเฉลี่ยของค่าการดูดกลืนแสง ± ค่าเบี่ยงเบนมาตรฐาน
1	0.06 ± 0.001
10	0.54 ± 0.004
11	0.59 ± 0.002
20	1.16 ± 0.006
21	1.21 ± 0.010
30	1.68 ± 0.003
31	1.71 ± 0.004
50	2.66 ± 0.033

หมายเหตุ ค่าเฉลี่ยและค่าเบี่ยงเบนมาตรฐานได้จากการทดสอบซ้ำ 5 ครั้ง

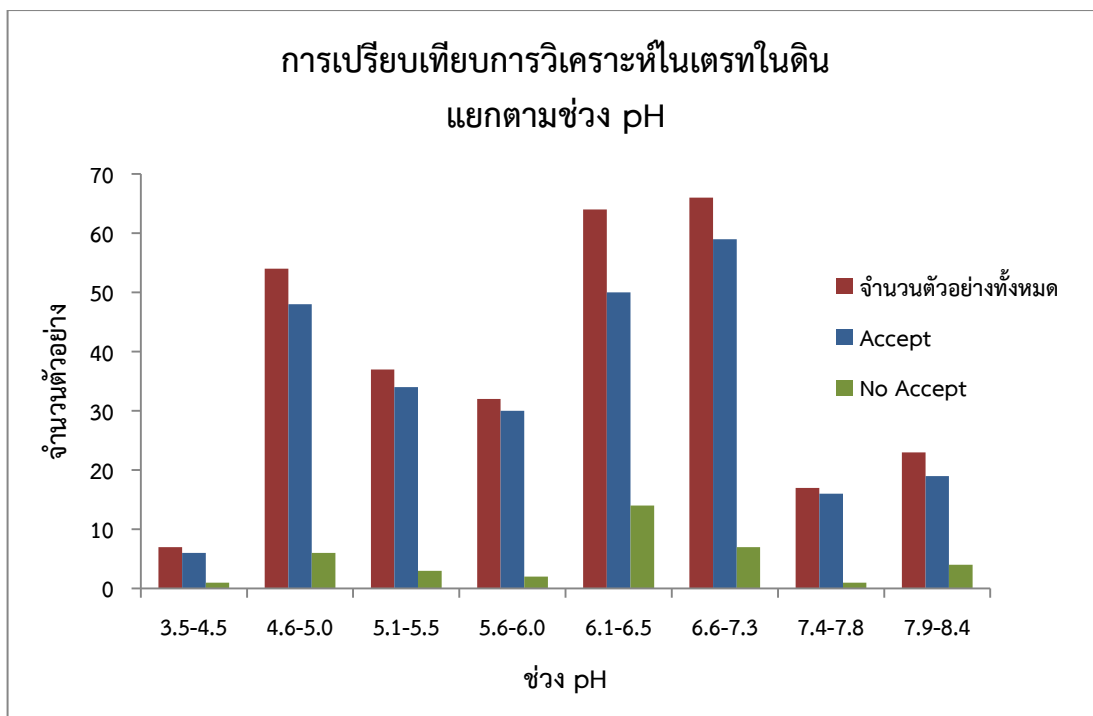
5. การเปรียบเทียบการวิเคราะห์ในเทอร์ทในดินด้วยสารละลายน้ำที่ติดตัวสีมาตรฐานกับเครื่อง UV-Vis Spectrophotometer

จากการนำสภาวะที่เหมาะสมในการเกิดปฏิกิริยาของการวิเคราะห์ในเทอร์ทที่ได้ศึกษาไว้ มาวิเคราะห์หาปริมาณในเทอร์ของตัวอย่างดิน จำนวน 300 ตัวอย่าง โดยอ่านสีของสารละลายน้ำด้วยสายตาเทียบกับสารละลายน้ำที่ติดตัวสีมาตรฐาน นำผลที่ได้มาเทียบกับการวิเคราะห์ด้วยเครื่อง UV-Vis Spectrophotometer ที่ความยาวคลื่น 530 นาโนเมตร ผลการศึกษาพบว่า ตัวอย่างดิน จำนวน 262 ตัวอย่าง อ่านค่าปริมาณในเทอร์ของตัวอย่างดินจากสารละลายน้ำที่ติดตัวสีมาตรฐานได้ถูกต้องตรงกันกับเครื่อง UV-Vis Spectrophotometer ซึ่งยอมรับได้ (Accept) คิดเป็นร้อยละ 87 และมีตัวอย่างดินจำนวน 38 ตัวอย่าง ที่อ่านค่าอยู่ในช่วงที่ไม่ตรงกัน ซึ่งยอมรับไม่ได้ (No Accept) คิดเป็นร้อยละ 13 ดังแสดงในภาพที่ 16 และตารางผนวกที่ 12 และ 13



ภาพที่ 16 แสดงผลการเปรียบเทียบการวิเคราะห์ในเตอร์ทในดินด้วยสารละลายเทียบสีมาตรฐานกับเครื่อง UV-Vis Spectrophotometer ของตัวอย่างดิน 300 ตัวอย่าง

จากตัวอย่างดิน 38 ตัวอย่าง ที่ไม่อยู่ในเกณฑ์ที่ยอมรับได้ (No Accept) เนื่องจาก การอ่านสีของสารละลายด้วยสายตาเทียบกับสารละลายเทียบสีมาตรฐานได้ช่วงไม่ตรงกันกับเครื่อง UV-Vis Spectrophotometer พบรูปในช่วง pH 3.5-4.5, 4.6-5.0, 5.1-5.5, 5.6-6.0, 6.1-6.5, 6.6-7.3, 7.4-7.8 และ 7.9-8.4 แสดงว่าค่า pH ไม่มีผลต่อการเปรียบเทียบการวิเคราะห์ในเตอร์ทด้วยสารละลายเทียบสีมาตรฐานและเครื่อง UV-Vis Spectrophotometer ดังแสดงในภาพที่ 17 และตารางผนวกที่ 13



ภาพที่ 17 แสดงผลการเปรียบเทียบการวิเคราะห์ในเตรทในดินด้วยสารละลายเทียบสีมาตรฐานกับเครื่อง UV-Vis Spectrophotometer แยกตามช่วง pH ของตัวอย่างดิน 300 ตัวอย่าง

วิจารณ์ผลการทดลอง

1. การศึกษา เรื่อง วิธีวิเคราะห์ใน terrestrial ย่างง่ายในห้องปฏิบัติการด้วยน้ำยาสกัด Mehlich I ใช้วิธี Colorimetric เมื่อก่อนกับงานวิจัยของบุญแสน (2543), ยิ่งพิศ และคณะ (2545), Nagaraja and Kumar (2002), มะลิวรรณ (2552), ศิริพร (2555), ประสิทธิ์ และวิริญช์รัชญ์ (2555), ประสาทพ (2556) และพัชราภรณ์ และคณะ (2552) ซึ่งมีการใช้สารควบคู่ (coupling reagent) หลายชนิด ขึ้นอยู่ กับความเหมาะสมของชนิดตัวอย่างนั้นๆ เช่น น้ำ พืช อาหาร และดิน เป็นต้น โดยงานวิจัยนี้มีการเลือกใช้สารเคมีให้เฉพาะเจาะจง รวมถึงใช้ความเข้มข้นที่ต่ำลงด้วย

2. ในการเกิดปฏิกิริยาเพื่อให้ได้สียอม azo dye (สีม่วงแดง) ซึ่งต้องทำในสภาพกรดดัน อาจไม่จำเป็นต้องใส่ Reagent A ลงไปเพื่อปรับ pH ของสารละลายดินให้เป็นกรดก็ได้ เพื่อเป็นการลดปริมาณของสารเคมี เนื่องจากน้ำยาสกัด Mehlich I เป็นกรดจัดอยู่แล้ว

3. การทดสอบความใช้ได้ของการวิเคราะห์ใน terrestrial ในห้องปฏิบัติการ เป็นการศึกษา ความแม่นยำของการวิเคราะห์ เมื่อนำผลการวิเคราะห์มาแยกตามช่วง pH เพื่อศึกษาว่า ค่าความเป็นกรดเป็นด่างของดิน (pH) มีผลต่อการทดสอบความใช้ได้ของการวิเคราะห์หรือไม่ จากการศึกษา พบว่า ในช่วง pH 3.5-4.5, 4.6-5.0, 5.1-5.5, 5.6-6.0, 6.1-6.5 และ 6.6-7.3 ของตัวอย่างดิน 32 ตัวอย่าง มีค่า %RSD มากกว่าหรือเท่ากับ 10 คิดเป็น 5% ของตัวอย่างทั้งหมด แสดงว่า ค่า pH ไม่มีผลต่อการทดสอบความใช้ได้ของการวิเคราะห์ใน terrestrial ซึ่งปัจจัยที่ทำให้ตัวอย่างดินมีค่า %RSD มากกว่าหรือเท่ากับ 10 อาจมาจากปริมาณของสารเคมี ระยะเวลาที่ใช้ในการทดสอบ รวมถึงความชำนาญของผู้ทดสอบด้วย

4. การเปรียบเทียบการวิเคราะห์ใน terrestrial ในดินด้วยสารละลายเทียบสีมาตรฐานกับเครื่อง UV-Vis Spectrophotometer เมื่อนำผลการวิเคราะห์มาแยกตามช่วง pH เพื่อศึกษาว่า ค่าความเป็นกรดเป็นด่างของดิน (pH) มีผลต่อความถูกต้องของการวิเคราะห์หรือไม่ จากการศึกษา พบว่า ในช่วง pH 3.5-4.5, 4.6-5.0, 5.1-5.5, 5.6-6.0, 6.1-6.5, 6.6-7.3, 7.4-7.8 และ 7.9-8.4 ของตัวอย่างดิน 38 ตัวอย่าง ไม่อยู่ในเกณฑ์ที่ยอมรับได้ (No Accept) คิดเป็น 13% ของตัวอย่างทั้งหมด เนื่องจาก การอ่านสีของสารละลายด้วยสายตาเทียบกับสารละลายเทียบสีมาตรฐานได้ช่วงไม่ตรงกันกับเครื่อง UV-Vis Spectrophotometer แสดงว่า ค่า pH ไม่มีผลต่อการเปรียบเทียบการวิเคราะห์ใน terrestrial ด้วยสารละลายเทียบสีมาตรฐานกับเครื่อง UV-Vis Spectrophotometer ซึ่งปัจจัยที่ทำให้ตัวอย่างดินเป็น No Accept อาจมาจากการอ่านสีของสารละลายด้วยสายตาเทียบกับสารละลายเทียบสีมาตรฐานโดยพบว่า ที่ความเข้มข้นสูงๆ คือ 21-50 มิลลิกรัมต่อกิโลกรัม สีของสารละลายเทียบสีมาตรฐานเป็นสีม่วงแดงเข้มมากขึ้น ทำให้อ่านแยกแยะสีได้ไม่ชัดเจน ดังนั้น จึงควรมีการศึกษาเพิ่มเติมเพื่อให้ได้สีของสารละลายเทียบสีมาตรฐานที่แยกกันได้ชัดเจนยิ่งขึ้น

สรุปผลการทดลอง

งานวิจัยเรื่อง วิธีวิเคราะห์ใน terrestrial ย่างง่ายในห้องปฏิบัติการด้วยน้ำยาสกัด Mehlich I สรุปผลการศึกษาได้ดังนี้

1. สภาวะที่เหมาะสมในการเกิดปฏิกิริยาของการวิเคราะห์ใน terrestrial ย่างง่ายในห้องปฏิบัติการคือ สารละลายน้ำ 5 มิลลิลิตร Reagent A 0.5 มิลลิลิตร Mixed powder 0.02 กรัม และระยะเวลาที่เหมาะสมในการเกิดปฏิกิริยาอย่างสมบูรณ์ 5 นาที

2. การทดสอบความใช้ได้ของ การวิเคราะห์ใน terrestrial ในดินในห้องปฏิบัติการ เมื่อนำตัวอย่างดินจำนวน 630 ตัวอย่าง มาทดสอบหาปริมาณใน terrestrial จากสภาวะที่เหมาะสมในการเกิดปฏิกิริยาที่ได้ศึกษาไว้ พบว่า ตัวอย่างดิน จำนวน 598 ตัวอย่าง มีค่าเบี่ยงเบนมาตรฐานสัมพันธ์ (%RSD) น้อยกว่า 10 ซึ่งเป็นเกณฑ์ที่ยอมรับได้ คิดเป็นร้อยละ 95 แสดงว่า การวิเคราะห์ปริมาณใน terrestrial ในดินในห้องปฏิบัติการที่ได้ศึกษาไว้มีความแม่นยำ 95%

3. การเปรียบเทียบการวิเคราะห์ใน terrestrial ในดินด้วยสารละลายน้ำที่เป็นสารเคมีที่มีฤทธิ์ต้านเชื้อ UV-Vis Spectrophotometer เมื่อนำตัวอย่างดิน จำนวน 300 ตัวอย่าง มาทดสอบหาปริมาณใน terrestrial จากสภาวะที่เหมาะสมในการเกิดปฏิกิริยาที่ได้ศึกษาไว้ โดยอ่านสีของสารละลายน้ำด้วยสายตาเทียบกับสารละลายน้ำที่เป็นสารเคมีที่มีฤทธิ์ต้านเชื้อ UV-Vis Spectrophotometer พบว่า ตัวอย่างดิน จำนวน 262 ตัวอย่าง อ่านค่าปริมาณใน terrestrial จากสารละลายน้ำที่เป็นสารเคมีที่มีฤทธิ์ต้านเชื้อ UV-Vis Spectrophotometer ซึ่งยอมรับได้ (Accept) คิดเป็นร้อยละ 87 แสดงว่า สารละลายน้ำที่เป็นสารเคมีที่มีฤทธิ์ต้านเชื้อ UV-Vis Spectrophotometer ที่เตรียมขึ้นมีความถูกต้องเหมาะสมสำหรับการวิเคราะห์ปริมาณใน terrestrial ในดิน 87%

ข้อเสนอแนะ

1. การเตรียม Mixed Powder ต้องบดผสมให้เป็นเนื้อเดียวกัน ซึ่งต้องใช้ความชำนาญ รวมถึงการเก็บรักษาต้องระวังเรื่องความชื้น หากใช้ในปริมาณที่ไม่เหมาะสมจะทำให้เกิดตะกอน ส่งผลต่อสีที่เกิดขึ้นทำให้ค่าวิเคราะห์คลาดเคลื่อนได้
2. เวลาของการเกิดปฏิกิริยาที่สมบูรณ์ของงานวิจัยนี้ สามารถปรับลดให้เหลือ 3 นาที ได้ หากผู้วิจัยยอมรับความถูกต้องที่ 87%
3. ความมีการศึกษาและพัฒนาช่วงของสารละลายเทียบสีมาตรฐาน เพื่อให้สามารถแยกสีที่ความเข้มข้นสูงๆ ได้ชัดเจนขึ้น
4. ความมีการศึกษาเพิ่มเติมถึงความเสถียรของสารเคมี เช่น อายุการเก็บรักษา สภาพการเก็บรักษา และปัจจัยที่ส่งผลกระทบต่อการเสื่อมสภาพของสารเคมี
5. วิธีวิเคราะห์ใน terrestrial ย่าง่ายในห้องปฏิบัติการนี้ แนะนำสำหรับวิเคราะห์ปริมาณใน terrestrial ในตัวอย่างดินที่สกัดด้วยน้ำยาสกัด Mehlich I
6. งานวิจัยนี้สามารถนำมาใช้วิเคราะห์หาปริมาณใน terrestrial ในดินในห้องปฏิบัติการได้อย่างถูกต้องและแม่นยำ
7. งานวิจัยนี้สามารถใช้เป็นต้นแบบในการพัฒนาต่อยอดไปเป็นชุดทดสอบปริมาณใน terrestrial ในดินภาคสนาม เพื่อให้เกษตรกร หมอดินอาสา และนักวิชาการนำไปใช้ในภาคสนาม เพื่อให้ได้ผลวิเคราะห์ใน terrestrial ที่ถูกต้อง แม่นยำ และรวดเร็วต่อไป

เอกสารอ้างอิง

- กันทิมา ทองครี. 2551. การศึกษาน้ำยาสกัดราതุอาหารที่เป็นประโยชน์ (NPK) ในดินนาทีสำคัญ บางชุดดินของภาคกลางในประเทศไทย. วิทยานิพนธ์วิทยาศาสตร์มหาบัณฑิต. สาขาวัสดุพิเศษ, มหาวิทยาลัยเกษตรศาสตร์
- คณาจารย์ภาควิชาปัจจุบันพิเศษ. 2548. ปัจจุบันพิเศษเบื้องต้น. พิมพ์ครั้งที่ 10. สำนักพิมพ์มหาวิทยาลัยเกษตรศาสตร์. กรุงเทพฯ.
- ทัศนีย์ อัตตะนันทน์, ชัยฤทธิ์ สุวรรณรัตน์, สมชาย กรีฑากิริมก์ และบุญแสน เตียวนุกูลธรรม. 2542. การวิเคราะห์ NPK ในดินอย่างง่าย, น. 165-170 ในเอกสารการประชุมทางวิชาการของมหาวิทยาลัยเกษตรศาสตร์ ครั้งที่ 37 (สาขาวิชและสาขาส่งเสริมนิเทศศาสตร์เกษตร). มหาวิทยาลัยเกษตรศาสตร์, กรุงเทพฯ
- นิทรา เนื่องจำรงค์, เรณู วิริยะประสีห์ และพิพวัลย์ จิตตะวิถุ. 2544. การวิเคราะห์ปริมาณในtered ในน้ำบริโภคโดยวิธี FIA. วารสารกรมวิทยาศาสตร์การแพทย์ ปีที่ 43 (ฉบับที่ 4): 364-371
- บุญแสน เตียวนุกูลธรรม. 2543. ทดสอบพันธุ์ระหว่างวิธีวิเคราะห์ NPK ในดินกับการดูดกินธาตุอาหาร NPK ของข้าวโพดในชุดดินตากลี ลพบุรี ชัยนาดาล ปากช่อง และสตีก. วิทยานิพนธ์วิทยาศาสตร์ดุษฎีบัณฑิต. สาขาวัสดุพิเศษ, มหาวิทยาลัยเกษตรศาสตร์.
- บุญแสน เตียวนุกูลธรรม, ทัศนีย์ อัตตะนันทน์, ชัยฤทธิ์ สุวรรณรัตน์, สมชาย กรีฑากิริมย์ และนิพนธ์ ตั้งคณานุรักษ์. 2543. การศึกษาน้ำยาสกัดเดียวสำหรับ NPK ในชุดดินชัยนาดาล ชุดดินตากลี ชุดดินลพบุรี ชุดดินสตีก และชุดดินปากช่อง, น. 116-123. ใน เอกสารการประชุมทางวิชาการของมหาวิทยาลัยเกษตรศาสตร์ ครั้งที่ 38 (สาขาวิชและสาขาส่งเสริมนิเทศศาสตร์เกษตร). มหาวิทยาลัยเกษตรศาสตร์, กรุงเทพฯ
- ประสาทร พิจิายาม. 2556. การพัฒนาชุดตรวจสอบในteredอย่างง่ายโดยใช้สารควบคู่. ค้นคว้าอิสระ วิทยาศาสตร์มหาบัณฑิต สาขาวิทยาศาสตร์สิ่งแวดล้อม, มหาวิทยาลัยศิลปากร ประสีห์ มุกดา และวิริญชณ์ สีอออก. 2555. การพัฒนาวิธีการวิเคราะห์หาปริมาณในไทร์และในteredด้วยวิธีสเปกโตรโฟโตเมทรี. โครงการวิจัยคณวิทยาศาสตร์, มหาวิทยาลัยราชภัฏบุรีรัมย์.
- พัชราภรณ์ ภูไฟบุลย์, ศิริวัลย์ สร้อยกล่อม และ瓦สนา บัวงาม. 2552. การวิเคราะห์การสะสมในtered ในผักสด, 289-298. ใน เรื่องเต็มการประชุมทางวิชาการของมหาวิทยาลัยเกษตรศาสตร์ ครั้งที่ 47 (สาขาวิช). มหาวิทยาลัยเกษตรศาสตร์, กรุงเทพฯ
- มะลิวรรณ บุญเสมอ. 2552. การทำชุดทดสอบคุณภาพน้ำอย่างง่าย เพื่อคาดการณ์การเจริญเติบโตของพืชน้ำอย่างรวดเร็วผิดปกติ. โครงการอบรมภาควิชาสิ่งแวดล้อม คณะวิทยาศาสตร์ สิ่งแวดล้อม, มหาวิทยาลัยศิลปากร วิทยาเขตพระราชวังสนามจันทร์ นครปฐม.
- ยงยุทธ โอสถสกุล. 2558. ราตุอาหารพืช. พิมพ์ครั้งที่ 4. สำนักพิมพ์มหาวิทยาลัยเกษตรศาสตร์, กรุงเทพฯ.

- ยิ่งพิศ พรพัฒนกุล, ชัชลิฎา บุญเพนียด, ภาวิณี บางณรงค์ และวัชรพงษ์ จึงประสงค์. 2545. ชุดทดสอบในtered และในโดยเจนทั้งหมด, น. 14 ใน รายงานวิจัยประจำปี 2544-2545 (คณะวิทยาศาสตร์ประยุกต์). สถาบันเทคโนโลยีพระจอมเกล้าพระนครเหนือ, กรุงเทพฯ
- 瓦สนา เสือไฟ. 2560. อิทธิพลของความเข้มข้นของโซเดียมไฮดรอกไซด์ (NaOH) อุณหภูมิ และเวลาต่อการวิเคราะห์ Hydrolyzable Nitrogen (HN) ในดิน. ปัญหาพิเศษวิทยาศาสตร์บัณฑิต. สาขาวิชาเทคโนโลยีการผลิตฟืช, สถาบันเทคโนโลยีพระจอมเกล้าเจ้าคุณทหารลาดกระบัง.
- ศิริพร พรมดี. 2555. การพัฒนาชุดทดสอบปริมาณแอมโมเนียมและในtered ในน้ำภาคสนามสำหรับโครงการศึกษาวิจัยและพัฒนาสิ่งแวดล้อมแหล่งน้ำเพื่อเบี่ยงอันเนื่องมาจากการประปา. วิทยานิพนธ์วิทยาศาสตร์มหาบัณฑิต. สาขาวิทยาศาสตร์สิ่งแวดล้อม, มหาวิทยาลัยเกษตรศาสตร์. สมชาย กรีฑากิริมย์, ทัศนีย์ อัตตะนันทน์, ชัยฤทธิ์ สุวรรณรัตน์, นิพนธ์ ตั้งคณานุรักษ์ และบุญแสนเตียนวนกุลธรรม. 2543. วิธีวิเคราะห์ปริมาณแอมโมเนียม และในtered ที่สกัดได้โดย Mehlich I ในดินปลูกข้าวโพดของประเทศไทย, น. 77-84 ใน เอกสารการประชุมทางวิชาการของมหาวิทยาลัยเกษตรศาสตร์ ครั้งที่ 38 (สาขาวิชและสาขาส่งเสริมนิเทศศาสตร์เกษตร), มหาวิทยาลัยเกษตรศาสตร์, กรุงเทพฯ.
- สถาบันนวัตกรรมการเรียนรู้ มหาวิทยาลัยมหิดล. ม.ป.ป. วัสดุจัดในโดยเจน (online).
http://www.il.mahidol.ac.th/e-media/ecology/chapter1/chapter1_nitrogen1.htm, 14 พฤษภาคม 2561
- สุดา เรืองณรงค์. 2554. การศึกษาคุณภาพการวิเคราะห์ปริมาณคลอไรด์ ไชยาไนด์ พลูอิโอดี และในteredด้วยเทคนิค ion selective electrode. รายงานวิชาการฉบับที่ สรวท 3/2554. สำนักวิเคราะห์วิจัยทรัพยากรธรณี, กรมทรัพยากรธรณี.
- เสาวรัจ นิลเนตร. 2557. การจัดการปุ๋ยในนาข้าวของเกษตรกรในเขตคลองสามวา กรุงเทพมหานคร. วิทยานิพนธ์เกษตรศาสตร์มหาบัณฑิต. สาขาวิชาเกษตรศาสตร์และสหกรณ์, มหาวิทยาลัยสุโขทัยธรรมราษฎร.
- สัมฤทธิ์ ภู่รุ่งเรือง. 2546. ทดสอบพันธุ์ระหว่างปริมาณ N P K ที่สกัดด้วยน้ำยาชนิดเดียวกับการดูดกิน N P K ของข้าวที่ปลูกในดินนา, น. 362-370 ใน เอกสารการประชุมทางวิชาการของมหาวิทยาลัยเกษตรศาสตร์ ครั้งที่ 41 (สาขาวิชและสาขาส่งเสริมและนิเทศศาสตร์เกษตร), มหาวิทยาลัยเกษตรศาสตร์, กรุงเทพฯ.
- สำนักวิทยาศาสตร์เพื่อการพัฒนาที่ดิน. 2547. คู่มือการวิเคราะห์ตัวอย่างดิน น้ำ ปุ๋ย พืช วัสดุ ปรับปรุงดิน และการวิเคราะห์เพื่อตรวจรับรองมาตรฐานสินค้า เล่มที่ 1. กรมพัฒนาที่ดิน กรุงเทพฯ. น. 59.
- อุมาพร สุขม่วง. ม.ป.ป. การใช้ประโยชน์จากความลับพันธุ์เชิงเส้น (online).
http://blpd.dss.go.th/knowledge_el/knowledge_uma.pdf, 13 มีนาคม 2562
- Jenkins, D. and Medsker L. 1964. A brucine method for the determination of nitrate in ocean estuarine and fresh waters. Analytical Chemistry. 36: 610-616.

- Kanjana Kantakapun. 2017. **UV-Vis Spectrophotometer** (online).
http://www.chem.eng.psu.ac.th/new_chem/upload/manual/10/UV-Vis-Spectrometer.pdf, 14 พฤษภาคม 2561
- Mulvaney, RL. 1996. **Nitrogen-Inorganic forms.** Methods of soil analysis Part3. P:1123-1184.
- Mehlich, A. 1978. New extractant fot soil tesr evaluation of phosphorus, potassium, magnesium, calcium, sodium, manganese and zinc. Commun in soil Science And Plant Analysis 9(6): 477-492
- Nagaraja, P. and Kumar, M.S.H. 2002. **Spectrophotometric Determination of Nitrate in Polluted Water Using a new Coupling Reagent.** Analytical Sciences. 18: 355-357
- Song, X. and Kaylor, R.M.M. 2007. **Nitrite detection Technique.** United States patent US 0048182 A1. 1 March 2007.
- Veena, K. and Narayana, B. 2009. **Spectrophotometric determination of nitrite using new coupling agents.** Journal of Chemical Technology. 16 : 89-92.

ภาคผนวก

ภาคผนวก ก

ตารางและภาพแสดงของผลการวิเคราะห์ใน terrestrial

ตารางผนวกที่ 1 ค่าการดูดกลืนแสงของสารละลายน้ำตราชูนในเทอร์ 5.0 มิลลิกรัมต่อลิตร จากการเติม Reagent A ปริมาตร 0.5, 1.0, 1.5 และ 2.0 มิลลิลิตร ตามลำดับ

การทดสอบ ครั้งที่	ค่าการดูดกลืนแสง (Abs)			
	ปริมาตรของ Reagent A (มิลลิลิตร)			
	0.5	1.0	1.5	2.0
1	0.8329	0.7924	0.7561	0.6916
2	0.8411	0.7968	0.7788	0.7014
3	0.8437	0.8158	0.7788	0.7195
4	0.8505	0.8284	0.7803	0.7210
5	0.8527	0.8407	0.7907	0.7246
ค่าเฉลี่ย	0.84	0.81	0.78	0.71
ส่วนเบี่ยงเบนมาตรฐาน	0.01	0.02	0.01	0.01

ตารางผนวกที่ 2 ค่าการดูดกลืนแสงของสารละลายน้ำตราชูนในเทอร์ 10.0 มิลลิกรัมต่อลิตร จากการเติม Reagent A ปริมาตร 0.5, 1.0, 1.5 และ 2.0 มิลลิลิตร ตามลำดับ

การทดสอบ ครั้งที่	ค่าการดูดกลืนแสง (Abs)			
	ปริมาตรของ Reagent A (มิลลิลิตร)			
	0.5	1.0	1.5	2.0
1	2.4628	2.2640	2.0601	1.8595
2	2.4662	2.2712	2.0635	1.8640
3	2.4701	2.2740	2.0651	1.8645
4	2.4751	2.2779	2.0865	1.8652
5	2.4872	2.2824	2.0917	1.8835
ค่าเฉลี่ย	2.47	2.27	2.07	1.87
ส่วนเบี่ยงเบนมาตรฐาน	0.01	0.01	0.01	0.01

ตารางผนวกที่ 3 ค่าการดูดกลืนแสงของสารละลายน้ำตราชูนในเทอร์ 5.0 มิลลิกรัมต่อลิตร จากการเติม Mixed powder ปริมาณ 0.02, 0.04, 0.08 และ 0.12 กรัม ตามลำดับ

การทดสอบ ครั้งที่	ค่าการดูดกลืนแสง (Abs)			
	ปริมาณของ Mixed powder (กรัม)			
	0.02	0.04	0.08	0.12
1	1.2135	0.9235	0.1942	0.1840
2	1.2150	0.9300	0.1943	0.1946
3	1.2176	0.9347	0.1977	0.1949
4	1.2540	0.9555	0.2087	0.2065
5	1.2597	0.9721	0.2118	0.2074
ค่าเฉลี่ย	1.23	0.94	0.20	0.20
ส่วนเบี่ยงเบนมาตรฐาน	0.02	0.02	0.01	0.01

ตารางผนวกที่ 4 ค่าการดูดกลืนแสงของสารละลายน้ำตราชูนในเทอร์ 10.0 มิลลิกรัมต่อลิตร จากการเติม Mixed powder ปริมาณ 0.02, 0.04, 0.08 และ 0.12 กรัม ตามลำดับ

การทดสอบ ครั้งที่	ค่าการดูดกลืนแสง (Abs)			
	ปริมาณของ Mixed powder (กรัม)			
	0.02	0.04	0.08	0.12
1	2.4341	2.3739	0.4645	0.3777
2	2.4359	2.3870	0.4679	0.3799
3	2.4431	2.3870	0.4697	0.3814
4	2.4453	2.3878	0.4729	0.3861
5	2.4497	2.3878	0.4892	0.3995
ค่าเฉลี่ย	2.44	2.38	0.47	0.38
ส่วนเบี่ยงเบนมาตรฐาน	0.01	0.01	0.01	0.01

ตารางผนวกที่ 5 ค่าการดูดกลืนแสงของสารละลายน้ำในเทอร์ 5.0 มิลลิกรัมต่อลิตร จากการตั้งที่ไว้เพื่อให้เกิดปฏิกิริยาอย่างสมบูรณ์ที่เวลา 5, 10, 15, 20, 25 และ 30 นาที ตามลำดับ

การทดสอบ ครั้งที่	ค่าการดูดกลืนแสง (Abs)					
	ระยะเวลาที่ใช้ในการเกิดปฏิกิริยา (นาที)					
	5	10	15	20	25	30
1	1.1873	1.2139	1.2015	1.1971	1.1763	1.1763
2	1.1974	1.2154	1.2167	1.1985	1.1827	1.1768
3	1.2139	1.2206	1.2172	1.2030	1.1974	1.1827
4	1.2154	1.2335	1.2252	1.2173	1.2033	1.1873
5	1.2206	1.2367	1.2416	1.2174	1.1955	1.1955
ค่าเฉลี่ย	1.21	1.22	1.22	1.21	1.19	1.18
ส่วนเบี่ยงเบน มาตรฐาน	0.01	0.01	0.01	0.01	0.01	0.01

ตารางผนวกที่ 6 ค่าการดูดกลืนแสงของสารละลายน้ำในเทอร์ 10.0 มิลลิกรัมต่อลิตร จากการตั้งที่ไว้เพื่อให้เกิดปฏิกิริยาอย่างสมบูรณ์ที่เวลา 5, 10, 15, 20, 25 และ 30 นาที ตามลำดับ

การทดสอบ ครั้งที่	ค่าการดูดกลืนแสง (Abs)					
	ระยะเวลาที่ใช้ในการเกิดปฏิกิริยา (นาที)					
	5	10	15	20	25	30
1	2.1583	2.2102	2.3301	2.2810	2.2777	2.2768
2	2.1605	2.2257	2.3308	2.2815	2.2874	2.2964
3	2.1650	2.2352	2.3392	2.2911	2.2919	2.2980
4	2.1692	2.2501	2.3738	2.2963	2.3053	2.2990
5	2.1852	2.2590	2.3771	2.3362	2.3206	2.3076
ค่าเฉลี่ย	2.17	2.24	2.35	2.30	2.30	2.30
ส่วนเบี่ยงเบน มาตรฐาน	0.01	0.02	0.02	0.02	0.02	0.01

ตารางผนวกที่ 7 ค่าการดูดกลืนแสงของสารละลายน้ำตราชานในเทรอท

การทดสอบ	ค่าการดูดกลืนแสง (Abs)									
	ความเข้มข้นของสารละลายน้ำตราชานในเทรอท (มิลลิกรัมต่อลิตร)									
ครั้งที่	0.25	1	2	3	4	5	6	8	10	12.5
1	0.0643	0.2052	0.4079	0.6547	0.9171	1.1014	1.3828	1.8390	2.2292	2.8359
2	0.0645	0.2021	0.4231	0.6609	0.9177	1.1104	1.3899	1.8585	2.2552	2.8530
3	0.0658	0.2058	0.4247	0.6790	0.9196	1.1371	1.4114	1.8802	2.2639	2.8629
4	0.0660	0.2082	0.4265	0.6801	0.9349	1.1485	1.4183	1.8877	2.2661	2.8658
5	0.0680	0.2122	0.4319	0.6829	0.9410	1.1588	1.4397	1.8988	2.2771	2.8790
ค่าเฉลี่ย	0.0657	0.2067	0.4357	0.6715	0.9261	1.1312	1.4084	1.8728	2.2583	2.8593
ส่วนเบี่ยงเบน มาตรฐาน	0.001	0.004	0.01	0.01	0.01	0.02	0.02	0.02	0.02	0.02

ตารางผนวกที่ 8 ผลการทดสอบความใช้ได้ของกราริเคราะห์ในเตรทในดินจากสภาพที่เหมาะสม
ในการเกิดปฏิกิริยาของตัวอย่างดิน 630 ตัวอย่าง

ตัวอย่าง ดิน ลำดับที่	pH 1:1 H ₂ O	ค่าการดูดกลืนแสง (Abs)			ค่าเฉลี่ย	SD	%RSD
		ครั้งที่ 1	ครั้งที่ 2	ครั้งที่ 3			
1	4.2	0.1004	0.1059	0.1022	0.1028	0.0028	2.73
2	4.2	0.0828	0.0883	0.0871	0.0861	0.0029	3.36
3	4.2	0.0671	0.0723	0.0690	0.0695	0.0026	3.79
4	4.2	0.0520	0.0566	0.0506	0.0531	0.0031	5.92
5	4.2	0.0668	0.0746	0.0742	0.0719	0.0044	6.11
6	4.2	0.0568	0.0535	0.0620	0.0574	0.0043	7.46
7	4.3	0.0864	0.0869	0.0892	0.0875	0.0015	1.71
8	4.3	0.3763	0.3702	0.3832	0.3766	0.0065	1.73
9	4.3	0.1388	0.1365	0.1435	0.1396	0.0036	2.56
10	4.3	0.0561	0.0594	0.0587	0.0581	0.0017	2.99
11	4.3	1.1069	0.9931	1.0235	1.0412	0.0589	5.66
12	4.3	0.5867	0.5172	0.5248	0.5429	0.0381	7.02
13	4.3	0.0551	0.0648	0.0571	0.0590	0.0051	8.68
14	4.3	3.4440	2.8483	3.2342	3.1755	0.3022	9.52
15	4.3	0.0679	0.0791	0.0867	0.0779	0.0095	12.14*
16	4.4	0.0929	0.0915	0.0925	0.0923	0.0007	0.78
17	4.4	0.2320	0.2235	0.2281	0.2279	0.0043	1.87
18	4.4	0.9667	0.9360	0.9300	0.9442	0.0197	2.08
19	4.4	2.3298	2.2878	2.3989	2.3388	0.0561	2.40
20	4.4	0.0821	0.0858	0.0855	0.0845	0.0021	2.43
21	4.4	1.4546	1.4176	1.4957	1.4560	0.0391	2.68
22	4.4	0.6479	0.6725	0.6912	0.6705	0.0217	3.24

ตารางผนวกที่ 8 ผลการทดสอบความใช้ได้ของกราริเคราะห์ในเตรทในดินจากสภาพที่เหมาะสม
ในการเกิดปฏิกิริยาของตัวอย่างดิน 630 ตัวอย่าง (ต่อ)

ตัวอย่าง ดิน ลำดับที่	pH 1:1 H ₂ O	ค่าการดูดกลืนแสง (Abs)			ค่าเฉลี่ย	SD	%RSD
		ครั้งที่ 1	ครั้งที่ 2	ครั้งที่ 3			
23	4.4	0.7062	0.7564	0.7259	0.7295	0.0253	3.47
24	4.4	0.0857	0.0937	0.0939	0.0911	0.0047	5.13
25	4.4	0.0791	0.0872	0.0865	0.0843	0.0045	5.33
26	4.4	1.0971	1.2110	1.2031	1.1704	0.0636	5.43
27	4.4	0.0535	0.0595	0.0578	0.0569	0.0031	5.43
28	4.4	0.0779	0.0733	0.0831	0.0781	0.0049	6.28
29	4.4	0.1016	0.1153	0.1099	0.1089	0.0069	6.34
30	4.4	0.0461	0.0458	0.0524	0.0481	0.0037	7.75
31	4.4	0.0503	0.0508	0.0587	0.0533	0.0047	8.85
32	4.4	0.0658	0.0644	0.0759	0.0687	0.0063	9.13
33	4.5	0.1154	0.1151	0.1145	0.1150	0.0005	0.40
34	4.5	0.9568	0.9521	0.9449	0.9513	0.0060	0.63
35	4.5	1.0048	1.0416	1.0557	1.0340	0.0263	2.54
36	4.5	0.0632	0.0647	0.0673	0.0651	0.0021	3.19
37	4.5	0.0589	0.0594	0.0631	0.0605	0.0023	3.79
38	4.5	0.1091	0.1167	0.1196	0.1151	0.0054	4.71
39	4.5	0.0733	0.0782	0.0814	0.0776	0.0041	5.25
40	4.5	0.6475	0.7195	0.6593	0.6754	0.0386	5.72
41	4.5	0.2027	0.2293	0.2213	0.2178	0.0136	6.27
42	4.5	0.9340	1.0363	0.9087	0.9597	0.0676	7.04
43	4.5	1.6749	1.4631	1.5155	1.5512	0.1103	7.11
44	4.5	2.7121	2.5635	2.2539	2.5098	0.2338	9.31

ตารางผนวกที่ 8 ผลการทดสอบความใช้ได้ของกราริเคราะห์ในเตรทในดินจากสภาพที่เหมาะสม
ในการเกิดปฏิกิริยาของตัวอย่างดิน 630 ตัวอย่าง (ต่อ)

ตัวอย่าง ดิน ลำดับที่	pH 1:1 H ₂ O	ค่าการดูดกลืนแสง (Abs)			ค่าเฉลี่ย	SD	%RSD
		ครั้งที่ 1	ครั้งที่ 2	ครั้งที่ 3			
45	4.5	0.0377	0.0341	0.0431	0.0383	0.0045	11.83*
46	4.6	0.7430	0.7594	0.7474	0.7499	0.0085	1.13
47	4.6	0.6227	0.5988	0.6250	0.6155	0.0145	2.36
48	4.6	0.0872	0.0915	0.0900	0.0896	0.0022	2.44
49	4.6	0.0656	0.0686	0.0658	0.0667	0.0017	2.52
50	4.6	0.0650	0.0625	0.0613	0.0629	0.0019	3.00
51	4.6	0.1064	0.1094	0.1130	0.1096	0.0033	3.02
52	4.6	0.8939	0.8481	0.8464	0.8628	0.0269	3.12
53	4.6	0.9693	1.0145	0.9554	0.9797	0.0309	3.15
54	4.6	0.8579	0.9018	0.8494	0.8697	0.0281	3.23
55	4.6	0.0620	0.0663	0.0638	0.0640	0.0022	3.37
56	4.6	0.0383	0.0366	0.0392	0.0380	0.0013	3.47
57	4.6	0.8303	0.8821	0.8883	0.8669	0.0318	3.67
58	4.6	0.0985	0.1037	0.1060	0.1027	0.0038	3.74
59	4.6	1.2893	1.1882	1.2525	1.2433	0.0512	4.12
60	4.6	0.1573	0.1630	0.1708	0.1637	0.0068	4.14
61	4.6	0.7517	0.7010	0.7562	0.7363	0.0307	4.16
62	4.6	0.7064	0.6567	0.7157	0.6929	0.0317	4.58
63	4.6	0.0493	0.0495	0.0535	0.0508	0.0024	4.67
64	4.6	0.0904	0.0835	0.0909	0.0883	0.0041	4.69
65	4.6	0.0862	0.0959	0.0937	0.0919	0.0051	5.53
66	4.6	0.0488	0.0547	0.0520	0.0518	0.0030	5.70

ตารางผนวกที่ 8 ผลการทดสอบความใช้ได้ของกราริเคราะห์ในเตรทในดินจากสภาพที่เหมาะสม
ในการเกิดปฏิกิริยาของตัวอย่างดิน 630 ตัวอย่าง (ต่อ)

ตัวอย่าง ดิน ลำดับที่	pH 1:1 H ₂ O	ค่าการดูดกลืนแสง (Abs)			ค่าเฉลี่ย	SD	%RSD
		ครั้งที่ 1	ครั้งที่ 2	ครั้งที่ 3			
67	4.6	0.0430	0.0465	0.0486	0.0460	0.0028	6.15
68	4.6	1.1496	1.1210	1.2828	1.1845	0.0864	7.29
69	4.7	0.0551	0.0557	0.0558	0.0555	0.0004	0.68
70	4.7	0.6250	0.6263	0.6113	0.6209	0.0083	1.34
71	4.7	0.9739	0.9611	0.9893	0.9748	0.0141	1.45
72	4.7	0.0845	0.0859	0.0871	0.0858	0.0013	1.52
73	4.7	0.1017	0.0996	0.1026	0.1013	0.0015	1.52
74	4.7	0.7879	0.7542	0.7514	0.7645	0.0203	2.66
75	4.7	0.9457	0.9952	0.9936	0.9782	0.0281	2.88
76	4.7	0.0433	0.0450	0.0425	0.0436	0.0013	2.93
77	4.7	0.8621	0.9136	0.8804	0.8854	0.0261	2.95
78	4.7	0.7658	0.7301	0.7729	0.7563	0.0229	3.03
79	4.7	0.0424	0.0449	0.0423	0.0432	0.0015	3.41
80	4.7	0.6760	0.7344	0.7136	0.7080	0.0296	4.18
81	4.7	1.5736	1.4315	1.5030	1.5027	0.0711	4.73
82	4.7	1.1255	1.2480	1.1947	1.1894	0.0614	5.16
83	4.7	0.4388	0.4868	0.4706	0.4654	0.0244	5.25
84	4.7	0.0486	0.0500	0.0539	0.0508	0.0027	5.40
85	4.7	0.0892	0.0992	0.0971	0.0952	0.0053	5.54
86	4.7	1.1415	1.2194	1.0918	1.1509	0.0643	5.59
87	4.7	0.0647	0.0659	0.0727	0.0678	0.0043	6.37
88	4.7	0.0820	0.0751	0.0722	0.0764	0.0050	6.59

ตารางผนวกที่ 8 ผลการทดสอบความใช้ได้ของกราริเคราะห์ในเตรทในดินจากสภาพที่เหมาะสม
ในการเกิดปฏิกิริยาของตัวอย่างดิน 630 ตัวอย่าง (ต่อ)

ตัวอย่าง ดิน ลำดับที่	pH 1:1 H ₂ O	ค่าการดูดกลืนแสง (Abs)			ค่าเฉลี่ย	SD	%RSD
		ครั้งที่ 1	ครั้งที่ 2	ครั้งที่ 3			
89	4.7	0.0719	0.0794	0.0821	0.0778	0.0053	6.79
90	4.8	0.9102	0.7931	0.8469	0.8501	0.0586	6.90
91	4.7	1.3545	1.2657	1.1327	1.2510	0.1116	8.92
92	4.7	0.3454	0.3849	0.4219	0.3841	0.0383	9.96
93	4.7	0.3033	0.3703	0.3461	0.3399	0.0339	9.98
94	4.7	0.0358	0.0459	0.0398	0.0405	0.0051	12.56*
95	4.8	0.4424	0.4512	0.4415	0.4450	0.0054	1.20
96	4.8	0.0394	0.0387	0.0385	0.0389	0.0005	1.22
97	4.8	0.0493	0.0505	0.0489	0.0496	0.0008	1.68
98	4.8	0.0963	0.0977	0.0996	0.0979	0.0017	1.69
99	4.8	0.5677	0.5878	0.5841	0.5799	0.0107	1.84
100	4.8	0.0359	0.0364	0.0374	0.0366	0.0008	2.09
101	4.8	0.6577	0.6536	0.6811	0.6641	0.0148	2.23
102	4.8	1.0912	1.0430	1.0706	1.0683	0.0242	2.26
103	4.8	0.6849	0.6538	0.6734	0.6707	0.0157	2.34
104	4.8	0.5114	0.5066	0.4835	0.5005	0.0149	2.98
105	4.8	0.0786	0.0767	0.0820	0.0791	0.0027	3.39
106	4.8	0.9167	0.9031	0.9763	0.9320	0.0389	4.18
107	4.8	0.5540	0.5147	0.5036	0.5241	0.0265	5.05
108	4.8	0.0375	0.0354	0.0394	0.0374	0.0020	5.35
109	4.8	0.5421	0.5524	0.6102	0.5682	0.0367	6.46
110	4.8	0.0478	0.0542	0.0532	0.0517	0.0034	6.66

ตารางผนวกที่ 8 ผลการทดสอบความใช้ได้ของกราริเคราะห์ในเทอร์ในดินจากสภาพที่เหมาะสม
ในการเกิดปฏิกิริยาของตัวอย่างดิน 630 ตัวอย่าง (ต่อ)

ตัวอย่าง ดิน ลำดับที่	pH 1:1 H ₂ O	ค่าการดูดกลืนแสง (Abs)			ค่าเฉลี่ย	SD	%RSD
		ครั้งที่ 1	ครั้งที่ 2	ครั้งที่ 3			
111	4.8	0.0414	0.0388	0.0447	0.0416	0.0030	7.10
112	4.8	0.0744	0.0856	0.0735	0.0778	0.0067	8.66
113	4.8	0.0449	0.0395	0.0486	0.0443	0.0046	10.32*
114	4.8	0.0374	0.0385	0.0417	0.0392	0.0022	5.70
115	4.9	0.8729	0.8560	0.8672	0.8654	0.0086	0.99
116	4.9	0.0456	0.0464	0.0464	0.0461	0.0005	1.00
117	4.9	0.7598	0.7440	0.7471	0.7503	0.0084	1.12
118	4.9	0.4871	0.4937	0.4820	0.4876	0.0059	1.20
119	4.9	0.0518	0.0531	0.0529	0.0526	0.0007	1.33
120	4.9	0.1473	0.1430	0.1476	0.1460	0.0026	1.76
121	4.9	0.1075	0.1108	0.1115	0.1099	0.0021	1.94
122	4.9	0.0601	0.0626	0.0609	0.0612	0.0013	2.09
123	4.9	1.0820	1.0617	1.1108	1.0848	0.0247	2.27
124	4.9	0.0547	0.0570	0.0572	0.0563	0.0014	2.47
125	4.9	1.2457	1.2699	1.3121	1.2759	0.0336	2.63
126	4.9	0.0700	0.0688	0.0664	0.0684	0.0018	2.68
127	4.9	0.8843	0.9345	0.8988	0.9059	0.0258	2.85
128	4.9	0.1027	0.1030	0.0978	0.1012	0.0029	2.89
129	4.9	0.0513	0.0505	0.0481	0.0500	0.0017	3.33
130	4.9	0.0639	0.0649	0.0681	0.0656	0.0022	3.34
131	4.9	0.5543	0.5898	0.5934	0.5792	0.0216	3.73
132	4.9	0.5967	0.5554	0.5614	0.5712	0.0223	3.91

ตารางผนวกที่ 8 ผลการทดสอบความใช้ได้ของกราริเคราะห์ในเตรทในดินจากสภาพที่เหมาะสม
ในการเกิดปฏิกิริยาของตัวอย่างดิน 630 ตัวอย่าง (ต่อ)

ตัวอย่าง ดิน ลำดับที่	pH 1:1 H ₂ O	ค่าการดูดกลืนแสง (Abs)			ค่าเฉลี่ย	SD	%RSD
		ครั้งที่ 1	ครั้งที่ 2	ครั้งที่ 3			
133	4.9	0.0695	0.0665	0.0738	0.0699	0.0037	5.25
134	4.9	0.0403	0.0423	0.0451	0.0426	0.0024	5.66
135	4.9	0.0378	0.0383	0.0419	0.0393	0.0022	5.69
136	4.9	0.0444	0.0383	0.0420	0.0416	0.0031	7.39
137	4.9	0.0396	0.0445	0.0388	0.0410	0.0031	7.53
138	4.9	0.0515	0.0451	0.0522	0.0496	0.0039	7.89
139	4.9	0.0385	0.0350	0.0412	0.0382	0.0031	8.13
140	4.9	0.0353	0.0420	0.0403	0.0392	0.0035	8.88
141	5.0	2.4941	2.5484	2.4825	2.5083	0.0352	1.40
142	5.0	0.1841	0.1787	0.1821	0.1816	0.0027	1.50
143	5.0	0.0677	0.0663	0.0648	0.0663	0.0015	2.19
144	5.0	0.7730	0.7387	0.7707	0.7608	0.0192	2.52
145	5.0	0.0427	0.0402	0.0414	0.0414	0.0013	3.02
146	5.0	0.0886	0.0857	0.0911	0.0885	0.0027	3.05
147	5.0	0.1113	0.1189	0.1165	0.1156	0.0039	3.36
148	5.0	0.8408	0.7962	0.7896	0.8089	0.0279	3.44
149	5.0	1.4699	1.3706	1.3928	1.4111	0.0521	3.69
150	5.0	0.6355	0.6140	0.6649	0.6381	0.0256	4.00
151	5.0	0.0703	0.0731	0.0762	0.0732	0.0030	4.03
152	5.0	0.0426	0.0408	0.0393	0.0409	0.0017	4.04
153	5.0	0.0401	0.0372	0.0373	0.0382	0.0016	4.31
154	5.0	1.7011	1.8586	1.8005	1.7867	0.0796	4.46

ตารางผนวกที่ 8 ผลการทดสอบความใช้ได้ของกราริเคราะห์ในเตรทในดินจากสภาพที่เหมาะสม
ในการเกิดปฏิกิริยาของตัวอย่างดิน 630 ตัวอย่าง (ต่อ)

ตัวอย่าง ดิน ลำดับที่	pH 1:1 H ₂ O	ค่าการดูดกลืนแสง (Abs)			ค่าเฉลี่ย	SD	%RSD
		ครั้งที่ 1	ครั้งที่ 2	ครั้งที่ 3			
155	5.0	0.0387	0.0353	0.0365	0.0368	0.0017	4.68
156	5.0	0.0440	0.0483	0.0458	0.0460	0.0022	4.69
157	5.0	0.9431	0.9138	1.0075	0.9548	0.0479	5.02
158	5.0	0.0330	0.0355	0.0365	0.0350	0.0018	5.15
159	5.0	0.0373	0.0339	0.0372	0.0361	0.0019	5.35
160	5.0	0.0361	0.0362	0.0328	0.0350	0.0019	5.52
161	5.0	0.3166	0.3616	0.3500	0.3427	0.0234	6.82
162	5.0	0.9587	0.8892	0.8324	0.8934	0.0633	7.08
163	5.0	0.0326	0.0339	0.0376	0.0347	0.0026	7.48
164	5.0	0.0392	0.0366	0.0425	0.0394	0.0030	7.50
165	5.0	0.0494	0.0494	0.0431	0.0473	0.0036	7.69
166	5.0	0.0434	0.0378	0.0441	0.0418	0.0035	8.27
167	5.0	0.0392	0.0389	0.0334	0.0372	0.0033	8.79
168	5.0	0.0437	0.0390	0.0357	0.0395	0.0040	10.19*
169	5.1	0.9462	0.9633	0.9519	0.9538	0.0087	0.91
170	5.1	0.2204	0.2229	0.2250	0.2228	0.0023	1.03
171	5.1	0.5536	0.5453	0.5426	0.5472	0.0057	1.05
172	5.1	0.0323	0.0309	0.0313	0.0315	0.0007	2.29
173	5.1	0.1288	0.1335	0.1351	0.1325	0.0033	2.47
174	5.1	0.0313	0.0327	0.0328	0.0323	0.0008	2.60
175	5.1	0.0873	0.0887	0.0920	0.0893	0.0024	2.70
176	5.1	1.6147	1.5282	1.5502	1.5644	0.0450	2.87

ตารางผนวกที่ 8 ผลการทดสอบความใช้ได้ของกราริเคราะห์ในเทอร์ในดินจากสภาพที่เหมาะสม
ในการเกิดปฏิกิริยาของตัวอย่างดิน 630 ตัวอย่าง (ต่อ)

ตัวอย่าง ดิน ลำดับที่	pH 1:1 H ₂ O	ค่าการดูดกลืนแสง (Abs)			ค่าเฉลี่ย	SD	%RSD
		ครั้งที่ 1	ครั้งที่ 2	ครั้งที่ 3			
177	5.1	1.3393	1.2932	1.3712	1.3346	0.0392	2.94
178	5.1	0.2464	0.2533	0.2636	0.2544	0.0087	3.40
179	5.1	0.5050	0.5239	0.4864	0.5051	0.0188	3.71
180	5.1	1.1308	1.1590	1.0758	1.1219	0.0423	3.77
181	5.1	0.4706	0.4416	0.4355	0.4492	0.0188	4.17
182	5.1	0.8346	0.8075	0.7613	0.8011	0.0371	4.63
183	5.1	0.0856	0.0953	0.0885	0.0898	0.0050	5.54
184	5.1	0.0350	0.0396	0.0381	0.0376	0.0023	6.24
185	5.1	0.1142	0.1007	0.1100	0.1083	0.0069	6.38
186	5.1	0.0435	0.0376	0.0423	0.0411	0.0031	7.58
187	5.1	0.0432	0.0471	0.0516	0.0473	0.0042	8.89
188	5.1	0.0436	0.0446	0.0516	0.0466	0.0044	9.35
189	5.1	0.0565	0.0492	0.0604	0.0554	0.0057	10.27*
190	5.1	0.0312	0.0310	0.0391	0.0338	0.0046	13.68*
191	5.2	0.2184	0.2187	0.2166	0.2179	0.0011	0.52
192	5.2	0.0401	0.0403	0.0397	0.0400	0.0003	0.76
193	5.2	0.0716	0.0735	0.0727	0.0726	0.0010	1.31
194	5.2	0.3747	0.3757	0.3839	0.3781	0.0050	1.34
195	5.2	0.1064	0.1095	0.1109	0.1089	0.0023	2.11
196	5.2	0.3374	0.3242	0.3375	0.3330	0.0077	2.30
197	5.2	0.1124	0.1109	0.1173	0.1135	0.0033	2.95
198	5.2	0.0754	0.0806	0.0782	0.0781	0.0026	3.33

ตารางผนวกที่ 8 ผลการทดสอบความใช้ได้ของกราริเคราะห์ในเตรทในดินจากสภาพที่เหมาะสม
ในการเกิดปฏิกิริยาของตัวอย่างดิน 630 ตัวอย่าง (ต่อ)

ตัวอย่าง ดิน ลำดับที่	pH 1:1 H ₂ O	ค่าการดูดกลืนแสง (Abs)			ค่าเฉลี่ย	SD	%RSD
		ครั้งที่ 1	ครั้งที่ 2	ครั้งที่ 3			
199	5.2	0.0372	0.0359	0.0387	0.0373	0.0014	3.76
200	5.2	0.0361	0.0361	0.0336	0.0353	0.0014	4.09
201	5.2	0.2680	0.2433	0.2586	0.2566	0.0125	4.86
202	5.2	1.0253	0.9374	0.9501	0.9709	0.0475	4.89
203	5.2	0.1104	0.1126	0.1224	0.1151	0.0064	5.55
204	5.2	0.0399	0.0378	0.0425	0.0401	0.0024	5.88
205	5.2	0.1987	0.2144	0.2253	0.2128	0.0134	6.28
206	5.2	0.0535	0.0593	0.0603	0.0577	0.0037	6.36
207	5.2	0.3155	0.2993	0.3395	0.3181	0.0202	6.36
208	5.2	0.8955	0.9080	1.0272	0.9436	0.0727	7.70
209	5.2	1.3363	1.2769	1.1041	1.2391	0.1206	9.74
210	5.2	0.0640	0.0666	0.0772	0.0693	0.0070	10.09*
211	5.2	0.0362	0.0357	0.0441	0.0387	0.0047	12.19*
212	5.2	0.0585	0.0641	0.0746	0.0657	0.0082	12.43*
213	5.2	0.0251	0.0323	0.0273	0.0282	0.0037	13.07*
214	5.3	0.1515	0.1557	0.1522	0.1531	0.0023	1.47
215	5.3	0.4829	0.5005	0.4891	0.4908	0.0089	1.82
216	5.3	0.1491	0.1506	0.1545	0.1514	0.0028	1.84
217	5.3	0.0985	0.0945	0.0957	0.0962	0.0021	2.13
218	5.3	0.2668	0.2816	0.2755	0.2746	0.0074	2.71
219	5.3	0.0956	0.0985	0.1014	0.0985	0.0029	2.94
220	5.3	0.1921	0.2031	0.2010	0.1987	0.0058	2.94

ตารางผนวกที่ 8 ผลการทดสอบความใช้ได้ของกราริเคราะห์ในเทอร์ไนตินจากสภาพที่เหมาะสม
ในการเกิดปฏิกิริยาของตัวอย่างดิน 630 ตัวอย่าง (ต่อ)

ตัวอย่าง ดิน ลำดับที่	pH 1:1 H ₂ O	ค่าการดูดกลืนแสง (Abs)			ค่าเฉลี่ย	SD	%RSD
		ครั้งที่ 1	ครั้งที่ 2	ครั้งที่ 3			
221	5.3	0.1772	0.1776	0.1868	0.1805	0.0054	3.01
222	5.3	1.0352	0.9841	1.0478	1.0224	0.0337	3.30
223	5.3	0.0343	0.0326	0.0348	0.0339	0.0012	3.40
224	5.3	0.3196	0.3409	0.3376	0.3327	0.0115	3.45
225	5.3	0.0572	0.0534	0.0564	0.0557	0.0020	3.60
226	5.3	0.0884	0.0922	0.0956	0.0921	0.0036	3.91
227	5.3	0.1392	0.1274	0.1407	0.1358	0.0073	5.37
228	5.3	0.1483	0.1584	0.1671	0.1579	0.0094	5.96
229	5.3	0.3191	0.3515	0.3581	0.3429	0.0209	6.09
230	5.3	0.0423	0.0391	0.0457	0.0424	0.0033	7.79
231	5.3	0.7012	0.7068	0.8113	0.7398	0.0620	8.38
232	5.3	0.0480	0.0567	0.0547	0.0531	0.0046	8.58
233	5.3	0.0603	0.0543	0.0662	0.0603	0.0060	9.87
234	5.3	0.0782	0.0750	0.0919	0.0817	0.0090	10.99*
235	5.4	0.1258	0.1324	0.1325	0.1302	0.0038	2.95
236	5.4	0.0804	0.0755	0.0809	0.0789	0.0030	3.78
237	5.4	0.1787	0.1857	0.1942	0.1862	0.0078	4.17
238	5.4	1.7083	1.6579	1.8061	1.7241	0.0754	4.37
239	5.4	0.1072	0.1039	0.1133	0.1081	0.0048	4.41
240	5.4	0.0837	0.0762	0.0786	0.0795	0.0038	4.82
241	5.4	0.0750	0.0842	0.0839	0.0810	0.0052	6.45
242	5.4	0.6323	0.7251	0.7691	0.7088	0.0698	9.85

ตารางผนวกที่ 8 ผลการทดสอบความใช้ได้ของกราริเคราะห์ในเตรทในดินจากสภาพที่เหมาะสม
ในการเกิดปฏิกิริยาของตัวอย่างดิน 630 ตัวอย่าง (ต่อ)

ตัวอย่าง ดิน ลำดับที่	pH 1:1 H ₂ O	ค่าการดูดกลืนแสง (Abs)			ค่าเฉลี่ย	SD	%RSD
		ครั้งที่ 1	ครั้งที่ 2	ครั้งที่ 3			
243	5.5	0.3199	0.3235	0.3209	0.3214	0.0019	0.58
244	5.5	0.1317	0.1350	0.1330	0.1332	0.0017	1.25
245	5.5	0.2975	0.3004	0.2896	0.2958	0.0056	1.89
246	5.5	0.0826	0.0790	0.0820	0.0812	0.0019	2.38
247	5.5	0.7047	0.6738	0.7094	0.6960	0.0193	2.78
248	5.5	0.1366	0.1337	0.1414	0.1372	0.0039	2.83
249	5.5	0.0972	0.0999	0.1033	0.1001	0.0031	3.05
250	5.5	0.0698	0.0750	0.0742	0.0730	0.0028	3.84
251	5.5	0.1300	0.1397	0.1406	0.1368	0.0059	4.30
252	5.5	0.0740	0.0749	0.0689	0.0726	0.0032	4.46
253	5.5	0.1148	0.1077	0.1175	0.1133	0.0051	4.47
254	5.5	0.0642	0.0683	0.0623	0.0649	0.0031	4.72
255	5.5	0.1876	0.2067	0.1975	0.1973	0.0096	4.84
256	5.5	0.3635	0.3408	0.3288	0.3444	0.0176	5.12
257	5.5	0.1121	0.1126	0.1229	0.1159	0.0061	5.26
258	5.5	0.0721	0.0733	0.0799	0.0751	0.0042	5.59
259	5.5	2.1794	2.4319	2.4226	2.3446	0.1432	6.11
260	5.5	0.0568	0.0607	0.0661	0.0612	0.0047	7.63
261	5.5	1.4004	1.5454	1.3181	1.4213	0.1151	8.10
262	5.5	0.1010	0.1181	0.1057	0.1083	0.0088	8.16
263	5.5	0.0686	0.0792	0.0804	0.0761	0.0065	8.54
264	5.5	0.0755	0.0631	0.0654	0.0680	0.0066	9.70

ตารางผนวกที่ 8 ผลการทดสอบความใช้ได้ของกราริเคราะห์ในเตรทในดินจากสภาพที่เหมาะสม
ในการเกิดปฏิกิริยาของตัวอย่างดิน 630 ตัวอย่าง (ต่อ)

ตัวอย่าง ดิน ลำดับที่	pH 1:1 H ₂ O	ค่าการดูดกลืนแสง (Abs)			ค่าเฉลี่ย	SD	%RSD
		ครั้งที่ 1	ครั้งที่ 2	ครั้งที่ 3			
265	5.6	0.0825	0.0835	0.0829	0.0830	0.0005	0.61
266	5.6	0.9530	0.9357	0.9595	0.9494	0.0123	1.30
267	5.6	0.0970	0.0988	0.0995	0.0984	0.0013	1.31
268	5.6	0.1483	0.1515	0.1522	0.1507	0.0021	1.38
269	5.6	0.1241	0.1274	0.1270	0.1262	0.0018	1.43
270	5.6	0.2367	0.2315	0.2290	0.2324	0.0039	1.69
271	5.6	0.1573	0.1601	0.1544	0.1573	0.0029	1.81
272	5.6	0.0845	0.0888	0.0882	0.0872	0.0023	2.67
273	5.6	0.6485	0.6861	0.6762	0.6703	0.0195	2.91
274	5.6	0.0638	0.0624	0.0672	0.0645	0.0025	3.83
275	5.6	0.0956	0.1041	0.0968	0.0988	0.0046	4.65
276	5.6	2.1294	2.3311	2.0960	2.1855	0.1272	5.82
277	5.6	0.0310	0.0314	0.0356	0.0327	0.0025	7.80
278	5.6	0.5502	0.5165	0.6274	0.5647	0.0569	10.07*
279	5.6	0.0350	0.0391	0.0439	0.0393	0.0045	11.33*
280	5.6	0.0379	0.0310	0.0415	0.0368	0.0053	14.50*
281	5.7	0.0985	0.0992	0.0968	0.0982	0.0012	1.26
282	5.7	0.1159	0.1187	0.1227	0.1191	0.0034	2.87
283	5.7	0.0535	0.0542	0.0505	0.0527	0.0020	3.73
284	5.7	1.2021	1.1271	1.1201	1.1498	0.0455	3.95
285	5.7	0.1264	0.1136	0.1260	0.1220	0.0073	5.97
286	5.7	1.6620	1.6111	1.4495	1.5742	0.1110	7.05

ตารางผนวกที่ 8 ผลการทดสอบความใช้ได้ของกราริเคราะห์ในเตรทในดินจากสภาพที่เหมาะสม
ในการเกิดปฏิกิริยาของตัวอย่างดิน 630 ตัวอย่าง (ต่อ)

ตัวอย่าง ดิน ลำดับที่	pH 1:1 H ₂ O	ค่าการดูดกลืนแสง (Abs)			ค่าเฉลี่ย	SD	%RSD
		ครั้งที่ 1	ครั้งที่ 2	ครั้งที่ 3			
287	5.7	0.0439	0.0499	0.0535	0.0491	0.0048	9.88
288	5.8	2.1922	2.1984	2.0791	2.1566	0.0672	3.11
289	5.8	0.7382	0.6956	0.6967	0.7102	0.0243	3.42
290	5.8	0.1195	0.1225	0.1280	0.1233	0.0043	3.50
291	5.8	0.2102	0.2254	0.2211	0.2189	0.0078	3.58
292	5.8	0.5207	0.5360	0.5628	0.5398	0.0213	3.95
293	5.8	0.0997	0.1063	0.1074	0.1045	0.0042	3.99
294	5.8	2.1468	2.2616	2.5145	2.3076	0.1881	8.15
295	5.8	0.5519	0.5322	0.6332	0.5724	0.0535	9.35
296	5.8	0.2367	0.2773	0.2964	0.2701	0.0305	11.29*
297	5.8	0.0253	0.0322	0.0308	0.0294	0.0036	12.39*
298	5.8	0.1838	0.2014	0.1981	0.1944	0.0094	4.81
299	5.8	1.2720	1.4578	1.5167	1.4155	0.1277	9.02
300	5.8	0.0604	0.0621	0.0626	0.0617	0.0012	1.87
301	5.8	0.2889	0.3028	0.2751	0.2889	0.0139	4.79
302	5.9	0.1042	0.1076	0.1052	0.1057	0.0017	1.65
303	5.9	0.2093	0.2162	0.2171	0.2142	0.0043	1.99
304	5.9	1.2175	1.2053	1.2527	1.2252	0.0246	2.01
305	5.9	0.0824	0.0792	0.0788	0.0801	0.0020	2.46
306	5.9	0.8029	0.7880	0.8277	0.8062	0.0201	2.49
307	5.9	0.2368	0.2474	0.2529	0.2457	0.0082	3.33
308	5.9	0.0341	0.0364	0.0345	0.0350	0.0012	3.51

ตารางผนวกที่ 8 ผลการทดสอบความใช้ได้ของกราริเคราะห์ในเตรทในดินจากสภาพที่เหมาะสม
ในการเกิดปฏิกิริยาของตัวอย่างดิน 630 ตัวอย่าง (ต่อ)

ตัวอย่าง ดิน ลำดับที่	pH 1:1 H ₂ O	ค่าการดูดกลืนแสง (Abs)			ค่าเฉลี่ย	SD	%RSD
		ครั้งที่ 1	ครั้งที่ 2	ครั้งที่ 3			
309	5.9	0.0369	0.0347	0.0371	0.0362	0.0013	3.68
310	5.9	0.0334	0.0358	0.0336	0.0343	0.0013	3.89
311	5.9	0.1555	0.1649	0.1686	0.1630	0.0068	4.14
312	5.9	0.2921	0.3084	0.3176	0.3060	0.0129	4.22
313	5.9	0.7876	0.7065	0.6956	0.7299	0.0503	6.89
314	5.9	0.3500	0.3984	0.3975	0.3820	0.0277	7.25
315	5.9	0.3079	0.3238	0.3607	0.3308	0.0271	8.19
316	5.9	0.0326	0.0382	0.0338	0.0349	0.0029	8.46
317	5.9	0.8062	0.7837	0.9217	0.8372	0.0740	8.84
318	5.9	1.7878	1.7587	1.4973	1.6813	0.1600	9.52
319	5.9	0.0305	0.0351	0.0380	0.0345	0.0038	10.95*
320	5.9	0.0274	0.0341	0.0288	0.0301	0.0035	11.74*
321	5.9	2.1449	1.9031	1.6617	1.9032	0.2416	12.69*
322	6.0	0.1531	0.1524	0.1546	0.1534	0.0011	0.73
323	6.0	0.4783	0.4725	0.4609	0.4706	0.0089	1.88
324	6.0	0.0988	0.1008	0.1027	0.1008	0.0020	1.94
325	6.0	0.6740	0.6501	0.6535	0.6592	0.0129	1.96
326	6.0	0.1530	0.1471	0.1509	0.1503	0.0030	1.99
327	6.0	0.6403	0.6158	0.6087	0.6216	0.0166	2.67
328	5.9	0.0769	0.0801	0.0824	0.0798	0.0028	3.46
329	6.0	0.1921	0.1784	0.1882	0.1862	0.0071	3.79
330	6.0	0.1963	0.1900	0.2081	0.1981	0.0092	4.64

ตารางผนวกที่ 8 ผลการทดสอบความใช้ได้ของกราริเคราะห์ในเตรทในดินจากสภาพที่เหมาะสม
ในการเกิดปฏิกิริยาของตัวอย่างดิน 630 ตัวอย่าง (ต่อ)

ตัวอย่าง ดิน ลำดับที่	pH 1:1 H ₂ O	ค่าการดูดกลืนแสง (Abs)			ค่าเฉลี่ย	SD	%RSD
		ครั้งที่ 1	ครั้งที่ 2	ครั้งที่ 3			
331	6.0	0.2992	0.2714	0.2961	0.2889	0.0152	5.27
332	6.0	0.0583	0.0539	0.0597	0.0573	0.0030	5.28
333	6.0	1.5718	1.7616	1.6762	1.6699	0.0951	5.69
334	6.0	1.6137	1.4464	1.5816	1.5472	0.0888	5.74
335	6.0	0.5381	0.4632	0.5172	0.5062	0.0386	7.64
336	6.0	0.0417	0.0354	0.0379	0.0383	0.0032	8.28
337	6.0	0.0320	0.0384	0.0354	0.0353	0.0032	9.08
338	6.0	0.0353	0.0414	0.0450	0.0406	0.0049	12.09*
339	6.0	0.0320	0.0269	0.0246	0.0278	0.0038	13.61*
340	6.1	0.1370	0.1396	0.1353	0.1373	0.0022	1.58
341	6.1	0.0864	0.0895	0.0871	0.0877	0.0016	1.85
342	6.1	1.0023	0.9970	1.0350	1.0114	0.0206	2.03
343	6.1	1.1711	1.1427	1.1979	1.1706	0.0276	2.36
344	6.1	0.0296	0.0303	0.0288	0.0296	0.0008	2.54
345	6.1	0.0991	0.1014	0.1047	0.1017	0.0028	2.77
346	6.1	1.2336	1.2037	1.2788	1.2387	0.0378	3.05
347	6.1	0.0877	0.0880	0.0928	0.0895	0.0029	3.20
348	6.1	1.7158	1.6061	1.6545	1.6588	0.0550	3.31
349	6.1	0.4198	0.4462	0.4465	0.4375	0.0153	3.50
350	6.1	0.0647	0.0659	0.0614	0.0640	0.0023	3.64
351	6.1	0.0582	0.0560	0.0604	0.0582	0.0022	3.78
352	6.1	1.1450	1.0616	1.0854	1.0973	0.0430	3.92

ตารางผนวกที่ 8 ผลการทดสอบความใช้ได้ของกราริเคราะห์ในเตรทในดินจากสภาพที่เหมาะสม
ในการเกิดปฏิกิริยาของตัวอย่างดิน 630 ตัวอย่าง (ต่อ)

ตัวอย่าง ดิน ลำดับที่	pH 1:1 H ₂ O	ค่าการดูดกลืนแสง (Abs)			ค่าเฉลี่ย	SD	%RSD
		ครั้งที่ 1	ครั้งที่ 2	ครั้งที่ 3			
353	6.1	0.1116	0.1042	0.1135	0.1098	0.0049	4.48
354	6.1	1.0242	0.9200	0.9866	0.9769	0.0528	5.40
355	6.1	1.0673	0.9722	1.0817	1.0404	0.0595	5.72
356	6.1	0.3495	0.3112	0.3241	0.3283	0.0195	5.94
357	6.1	0.9788	1.0449	0.9061	0.9766	0.0694	7.11
358	6.1	1.6589	1.5237	1.4384	1.5403	0.1112	7.22
359	6.1	0.1264	0.1315	0.1463	0.1347	0.0103	7.67
360	6.1	0.1949	0.2201	0.2260	0.2137	0.0165	7.73
361	6.1	1.7350	1.5069	1.5275	1.5898	0.1262	7.94
362	6.1	0.2511	0.2790	0.2983	0.2761	0.0237	8.59
363	6.1	0.0581	0.0587	0.0501	0.0556	0.0048	8.63
364	6.1	0.0434	0.0370	0.0377	0.0394	0.0035	8.92
365	6.1	0.0477	0.0487	0.0574	0.0513	0.0053	10.41*
366	6.1	2.3546	1.9278	1.9816	2.0880	0.2324	11.13*
367	6.1	0.0428	0.0549	0.0524	0.0500	0.0064	12.77*
368	6.2	0.0987	0.0961	0.1000	0.0983	0.0020	2.02
369	6.2	0.1466	0.1404	0.1416	0.1429	0.0033	2.30
370	6.2	0.1087	0.1095	0.1155	0.1112	0.0037	3.34
371	6.2	0.7016	0.7246	0.7506	0.7256	0.0245	3.38
372	6.2	1.9102	1.8424	1.7790	1.8439	0.0656	3.56
373	6.2	0.0746	0.0797	0.0795	0.0779	0.0029	3.71
374	6.2	0.7209	0.6705	0.7131	0.7015	0.0271	3.87

ตารางผนวกที่ 8 ผลการทดสอบความใช้ได้ของกราริเคราะห์ในเตรทในดินจากสภาพที่เหมาะสม
ในการเกิดปฏิกิริยาของตัวอย่างดิน 630 ตัวอย่าง (ต่อ)

ตัวอย่าง ดิน ลำดับที่	pH 1:1 H ₂ O	ค่าการดูดกลืนแสง (Abs)			ค่าเฉลี่ย	SD	%RSD
		ครั้งที่ 1	ครั้งที่ 2	ครั้งที่ 3			
375	6.2	1.0266	0.9888	1.0727	1.0294	0.0420	4.08
376	6.2	0.0743	0.0679	0.0735	0.0719	0.0035	4.85
377	6.2	0.8817	0.8078	0.8825	0.8573	0.0429	5.00
378	6.2	0.0424	0.0432	0.0469	0.0442	0.0024	5.44
379	6.2	1.9100	1.7102	1.7780	1.7994	0.1016	5.65
380	6.2	0.7654	0.8039	0.8576	0.8090	0.0463	5.72
381	6.2	0.1080	0.1196	0.1235	0.1170	0.0081	6.89
382	6.2	0.0418	0.0360	0.0395	0.0391	0.0029	7.47
383	6.2	0.1165	0.1143	0.1310	0.1206	0.0091	7.52
384	6.2	1.8640	1.5682	1.9362	1.7895	0.1950	10.90*
385	6.2	0.0427	0.0325	0.0396	0.0383	0.0052	13.66*
386	6.3	0.3519	0.3460	0.3510	0.3496	0.0032	0.91
387	6.3	0.4164	0.4311	0.4278	0.4251	0.0077	1.81
388	6.3	0.1884	0.1870	0.1797	0.1850	0.0047	2.52
389	6.3	0.0641	0.0678	0.0664	0.0661	0.0019	2.83
390	6.3	1.4745	1.3964	1.4572	1.4427	0.0410	2.84
391	6.3	1.5494	1.5256	1.6155	1.5635	0.0466	2.98
392	6.3	0.1282	0.1212	0.1220	0.1238	0.0038	3.09
393	6.3	2.0842	2.0542	2.1992	2.1125	0.0765	3.62
394	6.3	0.0876	0.0938	0.0931	0.0915	0.0034	3.71
395	6.3	0.1889	0.1778	0.1918	0.1862	0.0074	3.97
396	6.3	1.5923	1.4687	1.5623	1.5411	0.0645	4.18

ตารางผนวกที่ 8 ผลการทดสอบความใช้ได้ของกราริเคราะห์ในเตรทในดินจากสภาพที่เหมาะสม
ในการเกิดปฏิกิริยาของตัวอย่างดิน 630 ตัวอย่าง (ต่อ)

ตัวอย่าง ดิน ลำดับที่	pH 1:1 H ₂ O	ค่าการดูดกลืนแสง (Abs)			ค่าเฉลี่ย	SD	%RSD
		ครั้งที่ 1	ครั้งที่ 2	ครั้งที่ 3			
397	6.3	0.0555	0.0505	0.0545	0.0535	0.0026	4.95
398	6.3	0.0570	0.0539	0.0597	0.0569	0.0029	5.10
399	6.3	0.2188	0.1980	0.2046	0.2071	0.0106	5.13
400	6.3	0.0447	0.0500	0.0491	0.0479	0.0028	5.92
401	6.3	1.5309	1.3735	1.5298	1.4781	0.0906	6.13
402	6.3	1.8338	1.9393	2.0780	1.9504	0.1225	6.28
403	6.3	0.0850	0.0922	0.0964	0.0912	0.0058	6.32
404	6.3	0.3447	0.3710	0.3917	0.3691	0.0236	6.38
405	6.3	0.0461	0.0492	0.0524	0.0492	0.0032	6.40
406	6.3	0.0403	0.0409	0.0362	0.0391	0.0026	6.54
407	6.3	1.4068	1.2271	1.3051	1.3130	0.0901	6.86
408	6.3	0.0442	0.0499	0.0516	0.0486	0.0039	7.98
409	6.3	1.9670	1.8210	1.5154	1.7678	0.2305	13.04*
410	6.4	1.2745	1.2607	1.2653	1.2668	0.0070	0.55
411	6.4	0.4929	0.5006	0.5001	0.4979	0.0043	0.87
412	6.4	0.2131	0.2120	0.2159	0.2137	0.0020	0.94
413	6.4	1.2018	1.1855	1.1409	1.1761	0.0315	2.68
414	6.4	1.1302	1.0861	1.0742	1.0968	0.0295	2.69
415	6.4	0.2843	0.2932	0.3006	0.2927	0.0082	2.79
416	6.4	0.9197	0.8909	0.8689	0.8932	0.0255	2.85
417	6.4	0.1575	0.1642	0.1537	0.1585	0.0053	3.35
418	6.4	0.8243	0.7706	0.7792	0.7914	0.0288	3.64

ตารางผนวกที่ 8 ผลการทดสอบความใช้ได้ของกราริเคราะห์ในเตรทในดินจากสภาพที่เหมาะสม
ในการเกิดปฏิกิริยาของตัวอย่างดิน 630 ตัวอย่าง (ต่อ)

ตัวอย่าง ดิน ลำดับที่	pH 1:1 H ₂ O	ค่าการดูดกลืนแสง (Abs)			ค่าเฉลี่ย	SD	%RSD
		ครั้งที่ 1	ครั้งที่ 2	ครั้งที่ 3			
419	6.4	0.6248	0.5875	0.6444	0.6189	0.0289	4.67
420	6.4	1.3100	1.4453	1.3634	1.3729	0.0681	4.96
421	6.4	0.1547	0.1720	0.1596	0.1621	0.0089	5.50
422	6.4	0.1573	0.1733	0.1739	0.1682	0.0094	5.60
423	6.4	1.4200	1.3523	1.5150	1.4291	0.0817	5.72
424	6.4	0.2304	0.2327	0.2594	0.2408	0.0161	6.69
425	6.4	1.0448	1.1802	1.1808	1.1353	0.0783	6.90
426	6.4	0.5312	0.6093	0.6000	0.5802	0.0427	7.35
427	6.4	0.5644	0.6445	0.6423	0.6171	0.0456	7.39
428	6.4	1.8648	1.8285	2.1340	1.9424	0.1669	8.59
429	6.4	0.0574	0.0662	0.0701	0.0646	0.0065	10.08*
430	6.5	0.1687	0.1703	0.1696	0.1695	0.0008	0.47
431	6.5	0.9541	0.9526	0.9669	0.9579	0.0079	0.82
432	6.5	0.5997	0.5871	0.5809	0.5892	0.0096	1.63
433	6.5	1.5534	1.5882	1.6180	1.5865	0.0323	2.04
434	6.5	0.2684	0.2672	0.2583	0.2646	0.0055	2.08
435	6.5	0.0912	0.0881	0.0871	0.0888	0.0021	2.41
436	6.5	0.5189	0.4918	0.5136	0.5081	0.0144	2.83
437	6.5	0.4160	0.4429	0.4314	0.4301	0.0135	3.14
438	6.5	0.6986	0.6501	0.6656	0.6714	0.0248	3.69
439	6.5	1.5089	1.5910	1.6359	1.5786	0.0644	4.08
440	6.5	0.5235	0.5317	0.5810	0.5454	0.0311	5.70

ตารางผนวกที่ 8 ผลการทดสอบความใช้ได้ของกราริเคราะห์ในเทอร์ในดินจากสภาพที่เหมาะสม
ในการเกิดปฏิกิริยาของตัวอย่างดิน 630 ตัวอย่าง (ต่อ)

ตัวอย่าง ดิน ลำดับที่	pH 1:1 H ₂ O	ค่าการดูดกลืนแสง (Abs)			ค่าเฉลี่ย	SD	%RSD
		ครั้งที่ 1	ครั้งที่ 2	ครั้งที่ 3			
441	6.5	1.4087	1.3650	1.5279	1.4339	0.0843	5.88
442	6.5	0.8505	0.8457	0.9471	0.8811	0.0572	6.49
443	6.5	0.0609	0.0531	0.0586	0.0575	0.0040	6.97
444	6.5	1.1689	1.3252	1.3204	1.2715	0.0889	6.99
445	6.5	1.3017	1.4123	1.5048	1.4063	0.1017	7.23
446	6.5	1.2291	1.1113	1.0672	1.1359	0.0837	7.37
447	6.5	0.1283	0.1335	0.1492	0.1370	0.0109	7.94
448	6.5	0.4921	0.5002	0.4237	0.4720	0.0420	8.90
449	6.5	0.9283	0.7848	0.9118	0.8750	0.0785	8.97
450	6.5	1.8243	1.4880	1.8135	1.7086	0.1911	11.19*
451	6.5	1.1624	1.0466	0.9056	1.0382	0.1286	12.39*
452	6.6	0.5153	0.5232	0.5152	0.5179	0.0046	0.89
453	6.6	0.3299	0.3380	0.3363	0.3347	0.0043	1.28
454	6.6	0.4211	0.4331	0.4349	0.4297	0.0075	1.75
455	6.6	0.1504	0.1500	0.1549	0.1518	0.0027	1.79
456	6.6	0.2068	0.1978	0.2066	0.2037	0.0051	2.52
457	6.6	0.3369	0.3186	0.3412	0.3322	0.0120	3.61
458	6.6	0.3358	0.3234	0.3483	0.3358	0.0125	3.71
459	6.6	0.5574	0.5823	0.5406	0.5601	0.0210	3.75
460	6.6	0.5205	0.5391	0.5648	0.5415	0.0222	4.11
461	6.6	2.5190	2.3645	2.5684	2.4840	0.1064	4.28
462	6.6	0.4805	0.5234	0.5203	0.5081	0.0239	4.71

ตารางผนวกที่ 8 ผลการทดสอบความใช้ได้ของกราริเคราะห์ในเตรทในดินจากสภาพที่เหมาะสม
ในการเกิดปฏิกิริยาของตัวอย่างดิน 630 ตัวอย่าง (ต่อ)

ตัวอย่าง ดิน ลำดับที่	pH 1:1 H ₂ O	ค่าการดูดกลืนแสง (Abs)			ค่าเฉลี่ย	SD	%RSD
		ครั้งที่ 1	ครั้งที่ 2	ครั้งที่ 3			
463	6.6	0.4299	0.4093	0.3910	0.4101	0.0195	4.75
464	6.6	0.1053	0.1162	0.1093	0.1103	0.0055	5.00
465	6.6	1.6801	1.7649	1.8579	1.7676	0.0889	5.03
466	6.6	0.5530	0.5127	0.5036	0.5231	0.0263	5.03
467	6.6	0.6589	0.6058	0.6755	0.6467	0.0364	5.63
468	6.6	0.9551	0.8497	0.8941	0.8996	0.0529	5.88
469	6.6	0.5833	0.5308	0.5236	0.5459	0.0326	5.97
470	6.6	0.7638	0.7045	0.7942	0.7542	0.0456	6.05
471	6.6	0.6474	0.7439	0.7115	0.7009	0.0491	7.01
472	6.7	0.0903	0.0902	0.0898	0.0901	0.0003	0.29
473	6.7	0.6032	0.5977	0.5949	0.5986	0.0042	0.71
474	6.7	0.1773	0.1807	0.1756	0.1779	0.0026	1.46
475	6.7	0.3535	0.3426	0.3456	0.3472	0.0056	1.62
476	6.7	0.1410	0.1370	0.1416	0.1399	0.0025	1.79
477	6.7	1.2293	1.2024	1.1820	1.2046	0.0237	1.97
478	6.7	0.2605	0.2499	0.2521	0.2542	0.0056	2.20
479	6.7	0.2165	0.2255	0.2251	0.2224	0.0051	2.29
480	6.7	0.2272	0.2314	0.2398	0.2328	0.0064	2.76
481	6.7	0.4828	0.5151	0.4907	0.4962	0.0168	3.39
482	6.7	0.0375	0.0364	0.0349	0.0363	0.0013	3.60
483	6.7	0.0904	0.0892	0.0960	0.0919	0.0036	3.95
484	6.7	2.1876	2.0935	2.0208	2.1006	0.0836	3.98

ตารางผนวกที่ 8 ผลการทดสอบความใช้ได้ของกราริเคราะห์ในเทอร์ในดินจากสภาพที่เหมาะสม
ในการเกิดปฏิกิริยาของตัวอย่างดิน 630 ตัวอย่าง (ต่อ)

ตัวอย่าง ดิน ลำดับที่	pH 1:1 H ₂ O	ค่าการดูดกลืนแสง (Abs)			ค่าเฉลี่ย	SD	%RSD
		ครั้งที่ 1	ครั้งที่ 2	ครั้งที่ 3			
485	6.7	0.8291	0.7938	0.8632	0.8287	0.0347	4.19
486	6.7	0.7092	0.6815	0.7432	0.7113	0.0309	4.34
487	6.7	1.8472	2.0166	1.8991	1.9210	0.0868	4.52
488	6.7	0.9705	1.0565	1.0606	1.0292	0.0509	4.94
489	6.7	1.9176	1.7357	1.9535	1.8689	0.1168	6.25
490	6.7	0.0423	0.0376	0.0452	0.0417	0.0038	9.20
491	6.8	0.4227	0.4146	0.4219	0.4197	0.0045	1.06
492	6.8	0.1678	0.1637	0.1688	0.1668	0.0027	1.62
493	6.8	0.2097	0.2054	0.2129	0.2093	0.0038	1.80
494	6.8	0.0532	0.0513	0.0540	0.0528	0.0014	2.62
495	6.8	0.0636	0.0611	0.0645	0.0631	0.0018	2.79
496	6.8	0.1640	0.1736	0.1705	0.1694	0.0049	2.89
497	6.8	0.2920	0.2979	0.3102	0.3000	0.0093	3.09
498	6.8	0.1576	0.1501	0.1485	0.1521	0.0049	3.19
499	6.8	0.1931	0.2012	0.1865	0.1936	0.0074	3.80
500	6.8	0.8075	0.7775	0.7478	0.7776	0.0299	3.84
501	6.8	0.2031	0.1973	0.2134	0.2046	0.0082	3.99
502	6.8	0.3725	0.3998	0.4147	0.3957	0.0214	5.41
503	6.8	0.3355	0.3426	0.3745	0.3509	0.0208	5.92
504	6.8	0.0266	0.0245	0.0237	0.0249	0.0015	6.01
505	6.8	0.0381	0.0343	0.0384	0.0369	0.0023	6.19
506	6.8	0.1346	0.1181	0.1159	0.1229	0.0102	8.32

ตารางผนวกที่ 8 ผลการทดสอบความใช้ได้ของกราริเคราะห์ในเตรทในดินจากสภาพที่เหมาะสม
ในการเกิดปฏิกิริยาของตัวอย่างดิน 630 ตัวอย่าง (ต่อ)

ตัวอย่าง ดิน ลำดับที่	pH 1:1 H ₂ O	ค่าการดูดกลืนแสง (Abs)			ค่าเฉลี่ย	SD	%RSD
		ครั้งที่ 1	ครั้งที่ 2	ครั้งที่ 3			
507	6.8	0.7465	0.7853	0.8973	0.8097	0.0783	9.67
508	6.9	0.2644	0.2629	0.2663	0.2645	0.0017	0.64
509	6.9	0.7294	0.7281	0.7069	0.7215	0.0126	1.75
510	6.9	0.3036	0.3136	0.3166	0.3113	0.0068	2.19
511	6.9	0.1759	0.1793	0.1716	0.1756	0.0039	2.20
512	6.9	0.1024	0.1118	0.1033	0.1058	0.0052	4.90
513	6.9	0.0302	0.0273	0.0289	0.0288	0.0015	5.04
514	6.9	0.0909	0.1019	0.0959	0.0962	0.0055	5.72
515	6.9	0.0513	0.0515	0.0571	0.0533	0.0033	6.18
516	7.0	0.3059	0.3013	0.3054	0.3042	0.0025	0.83
517	7.0	0.3206	0.3137	0.3199	0.3181	0.0038	1.19
518	7.0	0.3933	0.4043	0.4021	0.3999	0.0058	1.46
519	7.0	0.1711	0.1657	0.1667	0.1678	0.0029	1.71
520	7.0	0.2959	0.3031	0.3062	0.3017	0.0053	1.75
521	7.0	0.3352	0.3238	0.3197	0.3262	0.0080	2.46
522	7.0	0.0483	0.0502	0.0457	0.0481	0.0023	4.70
523	7.0	0.1131	0.1117	0.1033	0.1094	0.0053	4.85
524	7.0	0.0355	0.0320	0.0311	0.0329	0.0023	7.07
525	7.0	1.4484	1.2425	1.3153	1.3354	0.1044	7.82
526	7.1	0.3245	0.3222	0.3124	0.3197	0.0064	2.01
527	7.1	0.1754	0.1673	0.1706	0.1711	0.0041	2.38
528	7.1	0.1808	0.1870	0.1903	0.1860	0.0048	2.59

ตารางผนวกที่ 8 ผลการทดสอบความใช้ได้ของกราริเคราะห์ในเทอร์ในดินจากสภาพที่เหมาะสม
ในการเกิดปฏิกิริยาของตัวอย่างดิน 630 ตัวอย่าง (ต่อ)

ตัวอย่าง ดิน ลำดับที่	pH 1:1 H ₂ O	ค่าการดูดกลืนแสง (Abs)			ค่าเฉลี่ย	SD	%RSD
		ครั้งที่ 1	ครั้งที่ 2	ครั้งที่ 3			
529	7.1	0.9343	0.9564	1.0216	0.9708	0.0454	4.68
530	7.1	1.2701	1.1829	1.2978	1.2503	0.0600	4.80
531	7.1	0.0680	0.0691	0.0751	0.0707	0.0038	5.40
532	7.1	0.0899	0.0998	0.0995	0.0964	0.0056	5.84
533	7.1	0.0467	0.0460	0.0530	0.0486	0.0039	7.94
534	7.1	0.0293	0.0326	0.0348	0.0322	0.0028	8.59
535	7.1	0.0316	0.0266	0.0289	0.0290	0.0025	8.62
536	7.1	0.0330	0.0261	0.0324	0.0305	0.0038	12.53*
537	7.2	0.2271	0.2243	0.2245	0.2253	0.0016	0.69
538	7.2	0.3367	0.3433	0.3315	0.3372	0.0059	1.75
539	7.2	1.7675	1.6712	1.6780	1.7056	0.0537	3.15
540	7.2	1.2386	1.2807	1.1854	1.2349	0.0478	3.87
541	7.2	0.3224	0.3556	0.3498	0.3426	0.0177	5.18
542	7.2	0.4983	0.5405	0.4890	0.5093	0.0274	5.39
543	7.2	0.1095	0.1188	0.1228	0.1170	0.0068	5.83
544	7.2	1.8528	1.7646	2.0008	1.8727	0.1194	6.37
545	7.2	1.1455	1.1260	1.2708	1.1808	0.0786	6.65
546	7.2	0.0294	0.0289	0.0328	0.0304	0.0021	6.99
547	7.2	0.0372	0.0323	0.0324	0.0340	0.0028	8.25
548	7.3	0.3122	0.3103	0.3131	0.3119	0.0014	0.46
549	7.3	0.3502	0.3375	0.3464	0.3447	0.0065	1.89
550	7.3	0.0667	0.0687	0.0694	0.0683	0.0014	2.05

ตารางผนวกที่ 8 ผลการทดสอบความใช้ได้ของกราริเคราะห์ในเตรทในดินจากสภาพที่เหมาะสม
ในการเกิดปฏิกิริยาของตัวอย่างดิน 630 ตัวอย่าง (ต่อ)

ตัวอย่าง ดิน ลำดับที่	pH 1:1 H ₂ O	ค่าการดูดกลืนแสง (Abs)			ค่าเฉลี่ย	SD	%RSD
		ครั้งที่ 1	ครั้งที่ 2	ครั้งที่ 3			
551	7.3	0.0445	0.0449	0.0466	0.0453	0.0011	2.46
552	7.3	0.0898	0.0874	0.0926	0.0899	0.0026	2.89
553	7.3	2.2953	2.1619	2.2759	2.2444	0.0721	3.21
554	7.3	0.2038	0.1880	0.1942	0.1953	0.0080	4.08
555	7.3	2.3935	2.1919	2.3565	2.3140	0.1073	4.64
556	7.3	0.3173	0.3462	0.3224	0.3286	0.0154	4.69
557	7.3	0.1196	0.1164	0.1295	0.1218	0.0068	5.61
558	7.3	0.0915	0.0971	0.1040	0.0975	0.0063	6.42
559	7.3	1.1475	1.0132	1.1820	1.1142	0.0892	8.00
560	7.4	0.1107	0.1078	0.1067	0.1084	0.0021	1.91
561	7.4	0.2758	0.2839	0.2882	0.2826	0.0063	2.23
562	7.4	0.4811	0.5018	0.4831	0.4887	0.0114	2.34
563	7.4	0.2851	0.2948	0.3053	0.2951	0.0101	3.42
564	7.4	0.0809	0.0865	0.0863	0.0846	0.0032	3.76
565	7.4	0.3522	0.3764	0.3777	0.3688	0.0144	3.89
566	7.4	0.0728	0.0789	0.0717	0.0745	0.0039	5.21
567	7.5	0.3534	0.3610	0.3736	0.3627	0.0102	2.81
568	7.5	0.7130	0.6839	0.7245	0.7071	0.0209	2.96
569	7.5	0.8887	0.8722	0.8274	0.8628	0.0317	3.68
570	7.6	1.1874	1.1703	1.2124	1.1900	0.0212	1.78
571	7.6	0.3773	0.3595	0.3757	0.3708	0.0098	2.66
572	7.6	0.5692	0.6026	0.5862	0.5860	0.0167	2.85

ตารางผนวกที่ 8 ผลการทดสอบความใช้ได้ของกราริเคราะห์ในเตรทในดินจากสภาพที่เหมาะสม
ในการเกิดปฏิกิริยาของตัวอย่างดิน 630 ตัวอย่าง (ต่อ)

ตัวอย่าง ดิน ลำดับที่	pH 1:1 H ₂ O	ค่าการดูดกลืนแสง (Abs)			ค่าเฉลี่ย	SD	%RSD
		ครั้งที่ 1	ครั้งที่ 2	ครั้งที่ 3			
573	7.6	0.6585	0.6507	0.6107	0.6400	0.0256	4.01
574	7.7	0.1388	0.1353	0.1374	0.1372	0.0018	1.28
575	7.7	0.7414	0.7311	0.7576	0.7434	0.0134	1.80
576	7.7	0.9570	0.9511	0.9193	0.9425	0.0203	2.15
577	7.7	0.1040	0.1017	0.1074	0.1044	0.0029	2.75
578	7.7	0.0571	0.0602	0.0614	0.0596	0.0022	3.73
579	7.7	0.8445	0.7743	0.7675	0.7954	0.0426	5.36
580	7.7	0.0404	0.0427	0.0478	0.0436	0.0038	8.68
581	7.7	0.0299	0.0333	0.0356	0.0329	0.0029	8.71
582	7.7	0.0399	0.0463	0.0484	0.0449	0.0044	9.87
583	7.9	0.8486	0.8363	0.8413	0.8421	0.0062	0.73
584	7.8	0.1549	0.1504	0.1552	0.1535	0.0027	1.75
585	7.8	0.4388	0.4290	0.4207	0.4295	0.0091	2.11
586	7.8	0.0611	0.0662	0.0660	0.0644	0.0029	4.48
587	7.8	0.1047	0.1088	0.1158	0.1098	0.0056	5.11
588	7.8	0.6506	0.6059	0.6320	0.6295	0.0225	3.57
589	7.9	0.5954	0.6095	0.5821	0.5957	0.0137	2.30
590	7.9	0.0582	0.0569	0.0596	0.0582	0.0014	2.32
591	7.9	0.1071	0.1082	0.1127	0.1093	0.0030	2.71
592	7.9	0.1049	0.1070	0.1130	0.1083	0.0042	3.88
593	7.9	0.0540	0.0598	0.0589	0.0576	0.0031	5.42
594	7.9	0.0808	0.0811	0.0723	0.0781	0.0050	6.40

ตารางผนวกที่ 8 ผลการทดสอบความใช้ได้ของกราริเคราะห์ในเตรทในดินจากสภาพที่เหมาะสม
ในการเกิดปฏิกิริยาของตัวอย่างดิน 630 ตัวอย่าง (ต่อ)

ตัวอย่าง ดิน ลำดับที่	pH 1:1 H ₂ O	ค่าการดูดกลืนแสง (Abs)			ค่าเฉลี่ย	SD	%RSD
		ครั้งที่ 1	ครั้งที่ 2	ครั้งที่ 3			
595	7.9	0.1062	0.1092	0.1201	0.1118	0.0073	6.54
596	8.0	0.0650	0.0671	0.0658	0.0660	0.0011	1.61
597	8.0	0.0703	0.0727	0.0715	0.0715	0.0012	1.68
598	8.0	0.1530	0.1533	0.1579	0.1547	0.0027	1.77
599	8.0	0.0314	0.0327	0.0327	0.0323	0.0008	2.33
600	8.0	0.1154	0.1124	0.1196	0.1158	0.0036	3.12
601	8.0	0.0985	0.1051	0.1056	0.1031	0.0040	3.84
602	8.0	0.0497	0.0490	0.0528	0.0505	0.0020	4.00
603	8.0	0.1096	0.1171	0.1196	0.1154	0.0052	4.51
604	8.0	0.0784	0.0828	0.0756	0.0789	0.0036	4.60
605	8.0	1.1283	1.1133	1.0328	1.0915	0.0514	4.71
606	8.0	0.1493	0.1601	0.1460	0.1518	0.0074	4.86
607	8.0	0.0471	0.0493	0.0519	0.0494	0.0024	4.86
608	8.0	0.0838	0.0884	0.0792	0.0838	0.0046	5.49
609	8.0	0.0703	0.0773	0.0796	0.0757	0.0048	6.40
610	8.0	0.0413	0.0460	0.0465	0.0446	0.0029	6.43
611	8.0	0.0513	0.0520	0.0588	0.0540	0.0041	7.67
612	8.0	0.0460	0.0469	0.0545	0.0491	0.0047	9.50
613	8.1	0.2628	0.2685	0.2705	0.2673	0.0040	1.49
614	8.1	0.1005	0.1024	0.1038	0.1022	0.0017	1.62
615	8.1	0.4263	0.4201	0.4346	0.4270	0.0073	1.70
616	8.1	0.2905	0.3001	0.3017	0.2974	0.0061	2.04

ตารางผนวกที่ 8 ผลการทดสอบความใช้ได้ของกราริเคราะห์ในเตรทในดินจากสภาพที่เหมาะสม
ในการเกิดปฏิกิริยาของตัวอย่างดิน 630 ตัวอย่าง (ต่อ)

ตัวอย่าง ดิน ลำดับที่	pH 1:1 H ₂ O	ค่าการดูดกลืนแสง (Abs)			ค่าเฉลี่ย	SD	%RSD
		ครั้งที่ 1	ครั้งที่ 2	ครั้งที่ 3			
617	8.1	0.1924	0.1982	0.2010	0.1972	0.0044	2.22
618	8.1	1.1753	1.1299	1.1923	1.1658	0.0323	2.77
619	8.1	0.2452	0.2307	0.2341	0.2367	0.0076	3.20
620	8.1	0.0928	0.0904	0.0973	0.0935	0.0035	3.75
621	8.1	0.1152	0.1239	0.1160	0.1184	0.0048	4.06
622	8.1	0.3104	0.2944	0.3213	0.3087	0.0135	4.38
623	8.1	0.1075	0.1123	0.1196	0.1131	0.0061	5.39
624	8.1	0.0527	0.0563	0.0587	0.0559	0.0030	5.40
625	8.1	0.1195	0.1228	0.1348	0.1257	0.0081	6.41
626	8.2	0.2464	0.2581	0.2483	0.2509	0.0063	2.50
627	8.2	0.0983	0.0940	0.1045	0.0989	0.0053	5.34
628	8.4	0.1780	0.1765	0.1835	0.1793	0.0037	2.06
629	8.4	0.1129	0.1082	0.1145	0.1119	0.0033	2.93
630	8.4	0.3425	0.3734	0.3599	0.3586	0.0155	4.32

หมายเหตุ

* หมายถึง ตัวอย่างที่มีค่า %RSD ≥ 10

ตารางผนวกที่ 9 ผลการทดสอบความใช้ได้ของภารวิเคราะห์ในเทอร์ไนต์ใน pH ของตัวอย่างต่อวัน 630 ตัวอย่าง

ช่วง pH	จำนวน ตัวอย่าง	%RSD < 10		%RSD ≥ 10	
		จน.ตัวอย่าง	คิดเป็น %	จน.ตัวอย่าง	คิดเป็น %
3.5 - 4.5	45	43	6.8	2	0.3
4.6 - 5.0	123	120	19.0	3	0.5
5.1 - 5.5	96	89	14.1	7	1.1
5.6 - 6.0	75	65	10.3	10	1.6
6.1 - 6.5	112	103	16.3	9	1.4
6.6 - 7.3	108	107	17.0	1	0.2
7.4 - 7.8	28	28	4.4	0	0.0
7.9 - 8.4	43	43	6.8	0	0.0
รวม	630	598	94.9	32	5.1

หมายเหตุ % คิดจากตัวอย่างทั้งหมด 630 ตัวอย่าง

ตารางผนวกที่ 10 ค่าการดูดกลืนแสงของสารละลายน้ำที่บีบสีมาตรฐานในtered

การ ทดสอบ ครั้งที่	ค่าการดูดกลืนแสง (Abs)							
	สารละลายน้ำที่บีบสีมาตรฐานในtered (มิลลิกรัมต่อกรัม)							
	1	10	11	20	21	30	31	50
1	0.0621	0.5370	0.5910	1.1501	1.1965	1.6702	1.7043	2.6145
2	0.0628	0.5386	0.5944	1.1592	1.2045	1.6740	1.7086	2.6482
3	0.0628	0.5395	0.5949	1.1635	1.2150	1.6765	1.7088	2.6536
4	0.0632	0.5434	0.5951	1.1658	1.2155	1.6780	1.7115	2.6920
5	0.0633	0.5464	0.5966	1.1597	1.2213	1.6781	1.7155	2.6933
ค่าเฉลี่ย	0.06	0.54	0.59	1.16	1.21	1.68	1.71	2.66
ส่วน เบี่ยงเบน	0.0005	0.004	0.002	0.006	0.010	0.003	0.004	0.033
มาตรฐาน								

ตารางผนวกที่ 11 ระดับในต่อเจนในรูปในteredในดิน

ระดับ	NO ₃ -N (mg/kg)
VL (ต่ำมาก)	<1
L (ต่ำ)	1 – 10
M (ปานกลาง)	11 – 20
H (สูง)	21 – 30
VH (สูงมาก)	31 – 50

ที่มา : ดัดแปลงจาก เสาวร์จ, 2557

ตารางผนวกที่ 12 ผลการเปรียบเทียบการวิเคราะห์ในเตρท์ในดินด้วยสารละลายเทียบสีมาตรฐานกับเครื่อง UV-Vis Spectrophotometer ของตัวอย่างดิน 300 ตัวอย่าง

ตัวอย่าง ดิน ลำดับที่	pH 1:1 H ₂ O	สารละลาย เทียบสีมาตรฐาน (มิลลิกรัมต่อกิโลกรัม)	อ่านด้วยเครื่อง UV-Vis Spectrophotometer (มิลลิกรัมต่อกิโลกรัม)	การยอมรับ
1	4.4	11-20	20.10	Accept
2	4.4	21-30	26.74	Accept
3	4.5	11-20	19.70	Accept
4	4.5	11-20	16.47	Accept
5	4.5	11-20	11.32	Accept
6	4.5	11-20	8.68	No accept
7	4.5	21-30	29.14	Accept
8	4.6	11-20	14.31	Accept
9	4.6	11-20	12.10	Accept
10	4.6	11-20	17.43	Accept
11	4.6	11-20	13.41	Accept
12	4.6	11-20	13.80	Accept
13	4.6	11-20	16.45	Accept
14	4.6	11-20	19.47	Accept
15	4.6	11-20	20.67	Accept
16	4.6	11-20	16.73	Accept
17	4.7	11-20	12.40	Accept
18	4.7	0	1.00	No accept
19	4.7	1-10	8.61	Accept
20	4.7	1-10	10.60	Accept
21	4.7	1-10	4.53	Accept
22	4.7	11-20	14.02	Accept

ตารางผนวกที่ 12 ผลการเปรียบเทียบการวิเคราะห์ในเตρท์ในดินด้วยสารละลายเทียบสีมาตรฐานกับเครื่อง UV-Vis Spectrophotometer ของตัวอย่างดิน 300 ตัวอย่าง (ต่อ)

ตัวอย่าง ดิน ลำดับที่	pH 1:1 H ₂ O	สารละลาย เทียบสีมาตรฐาน (มิลลิกรัมต่อกิโลกรัม)	อ่านด้วยเครื่อง UV-Vis Spectrophotometer (มิลลิกรัมต่อกิโลกรัม)	การยอมรับ
23	4.7	11-20	17.00	Accept
24	4.7	11-20	12.92	Accept
25	4.7	11-20	14.70	Accept
26	4.7	11-20	17.73	Accept
27	4.7	11-20	19.91	Accept
28	4.7	21-30	21.30	Accept
29	4.7	21-30	26.75	Accept
30	4.7	21-30	27.01	Accept
31	4.8	1-10	9.67	Accept
32	4.8	1-10	9.91	Accept
33	4.8	1-10	10.70	Accept
34	4.8	1-10	6.91	Accept
35	4.8	1-10	5.49	Accept
36	4.8	11-20	11.39	Accept
37	4.8	11-20	16.03	Accept
38	4.8	11-20	11.59	Accept
39	4.8	11-20	18.92	Accept
40	4.8	11-20	15.70	Accept
41	4.9	0	0.86	Accept
42	4.9	0	0.81	Accept
43	4.9	0	0.82	Accept
44	4.9	0	0.86	Accept

ตารางผนวกที่ 12 ผลการเปรียบเทียบการวิเคราะห์ในเตρท์ในดินด้วยสารละลายเทียบสีมาตรฐานกับเครื่อง UV-Vis Spectrophotometer ของตัวอย่างดิน 300 ตัวอย่าง (ต่อ)

ตัวอย่าง ดิน ลำดับที่	pH 1:1 H ₂ O	สารละลาย เทียบสีมาตรฐาน (มิลลิกรัมต่อกิโลกรัม)	อ่านด้วยเครื่อง UV-Vis Spectrophotometer (มิลลิกรัมต่อกิโลกรัม)	การยอมรับ
45	4.9	0	0.83	Accept
46	4.9	11-20	13.68	Accept
47	4.9	11-20	9.86	No accept
48	4.9	11-20	9.82	No accept
49	4.9	11-20	17.40	Accept
50	4.9	11-20	14.80	Accept
51	4.9	11-20	17.08	Accept
52	4.9	21-30	23.32	Accept
53	5.0	1-10	2.97	Accept
54	5.0	1-10	1.18	Accept
55	5.0	11-20	10.94	No accept
56	5.0	11-20	16.46	Accept
57	5.0	11-20	14.42	Accept
58	5.0	11-20	12.79	Accept
59	5.0	21-30	22.04	Accept
60	5.0	31-50	30.70	No accept
61	5.0	31-50	52.26	No accept
62	5.1	1-10	1.56	Accept
63	5.1	1-10	9.95	Accept
64	5.1	1-10	4.63	Accept
65	5.1	1-10	1.60	Accept
66	5.1	1-10	4.20	Accept

ตารางผนวกที่ 12 ผลการเปรียบเทียบการวิเคราะห์ในเตρท์ในดินด้วยสารละลายเทียบสีมาตรฐานกับเครื่อง UV-Vis Spectrophotometer ของตัวอย่างดิน 300 ตัวอย่าง (ต่อ)

ตัวอย่าง ดิน ลำดับที่	pH 1:1 H ₂ O	สารละลาย เทียบสีมาตรฐาน (มิลลิกรัมต่อกิโลกรัม)	อ่านด้วยเครื่อง UV-Vis Spectrophotometer (มิลลิกรัมต่อกิโลกรัม)	การยอมรับ
67	5.1	1-10	8.48	Accept
68	5.1	11-20	15.98	Accept
69	5.1	11-20	20.98	Accept
70	5.1	11-20	20.59	Accept
71	5.1	11-20	17.23	Accept
72	5.1	31-50	31.82	Accept
73	5.2	1-10	6.74	Accept
74	5.2	11-20	18.84	Accept
75	5.2	11-20	14.80	Accept
76	5.2	31-50	22.87	No accept
77	5.3	0	1.22	No accept
78	5.3	1-10	7.57	Accept
79	5.3	1-10	1.94	Accept
80	5.3	1-10	5.64	Accept
81	5.3	1-10	5.62	Accept
82	5.3	1-10	1.48	Accept
83	5.3	1-10	2.82	Accept
84	5.3	11-20	17.99	Accept
85	5.3	11-20	11.47	Accept
86	5.4	1-10	2.28	Accept
87	5.4	11-20	10.11	No accept
88	5.4	21-30	27.34	Accept

ตารางผนวกที่ 12 ผลการเปรียบเทียบการวิเคราะห์ในเตρท์ในดินด้วยสารละลายเทียบสีมาตรฐานกับเครื่อง UV-Vis Spectrophotometer ของตัวอย่างดิน 300 ตัวอย่าง (ต่อ)

ตัวอย่าง ดิน ลำดับที่	pH 1:1 H ₂ O	สารละลาย เทียบสีมาตรฐาน (มิลลิกรัมต่อกิโลกรัม)	อ่านด้วยเครื่อง UV-Vis Spectrophotometer (มิลลิกรัมต่อกิโลกรัม)	การยอมรับ
89	5.5	1-10	4.41	Accept
90	5.5	1-10	1.99	Accept
91	5.5	1-10	1.26	Accept
92	5.5	1-10	1.29	Accept
93	5.5	1-10	5.43	Accept
94	5.5	1-10	1.63	Accept
95	5.5	1-10	2.01	Accept
96	5.5	11-20	11.67	Accept
97	5.5	21-30	27.02	Accept
98	5.5	31-50	38.76	Accept
99	5.6	0	0.67	Accept
100	5.6	1-10	3.77	Accept
101	5.6	1-10	6.40	Accept
102	5.6	11-20	15.07	Accept
103	5.6	31-50	47.83	Accept
104	5.7	21-30	28.51	Accept
105	5.7	11-20	13.85	Accept
106	5.8	0	0.71	Accept
107	5.8	1-10	1.93	Accept
108	5.8	1-10	3.82	Accept
109	5.8	1-10	2.96	Accept
110	5.8	11-20	8.64	No accept

ตารางผนวกที่ 12 ผลการเปรียบเทียบการวิเคราะห์ในเตρท์ในดินด้วยสารละลายเทียบสีมาตรฐานกับเครื่อง UV-Vis Spectrophotometer ของตัวอย่างดิน 300 ตัวอย่าง (ต่อ)

ตัวอย่าง ดิน ลำดับที่	pH 1:1 H ₂ O	สารละลาย เทียบสีมาตรฐาน (มิลลิกรัมต่อกิโลกรัม)	อ่านด้วยเครื่อง UV-Vis Spectrophotometer (มิลลิกรัมต่อกิโลกรัม)	การยอมรับ
111	5.8	21-30	24.58	Accept
112	5.8	31-50	41.49	Accept
113	5.8	31-50	39.58	Accept
114	5.9	0	0.66	Accept
115	5.9	0	0.73	Accept
116	5.9	0	0.89	Accept
117	5.9	0	0.66	Accept
118	6.0	0	0.59	Accept
119	6.0	0	0.75	Accept
120	6.0	1-10	2.93	Accept
121	5.9	1-10	6.07	Accept
122	6.0	1-10	3.19	Accept
123	6.0	1-10	10.09	Accept
124	6.0	1-10	7.66	Accept
125	6.0	1-10	4.99	Accept
126	6.0	11-20	10.75	No accept
127	5.9	11-20	12.71	Accept
128	5.9	21-30	23.01	Accept
129	5.9	21-30	29.24	Accept
130	6.0	21-30	28.45	Accept
131	6.1	0	0.91	Accept
132	6.1	1-10	1.13	Accept

ตารางผนวกที่ 12 ผลการเปรียบเทียบการวิเคราะห์ในเตρท์ในดินด้วยสารละลายเทียบสีมาตรฐานกับเครื่อง UV-Vis Spectrophotometer ของตัวอย่างดิน 300 ตัวอย่าง (ต่อ)

ตัวอย่าง ดิน ลำดับที่	pH 1:1 H ₂ O	สารละลาย เทียบสีมาตรฐาน (มิลลิกรัมต่อกิโลกรัม)	อ่านด้วยเครื่อง UV-Vis Spectrophotometer (มิลลิกรัมต่อกิโลกรัม)	การยอมรับ
133	6.1	1-10	5.78	Accept
134	6.1	11-20	20.92	Accept
135	6.1	11-20	20.12	Accept
136	6.1	11-20	14.90	Accept
137	6.1	11-20	19.98	Accept
138	6.1	21-30	35.93	No accept
139	6.1	21-30	27.80	Accept
140	6.1	21-30	26.30	Accept
141	6.1	21-30	21.46	Accept
142	6.1	31-50	32.52	Accept
143	6.2	1-10	2.16	Accept
144	6.2	1-10	1.24	Accept
145	6.2	1-10	12.97	No accept
146	6.2	1-10	1.85	Accept
147	6.2	1-10	2.24	Accept
148	6.2	11-20	14.31	Accept
149	6.2	11-20	16.03	Accept
150	6.2	11-20	12.47	Accept
151	6.2	21-30	31.81	No accept
152	6.2	21-30	33.15	No accept
153	6.3	1-10	2.81	Accept
154	6.3	1-10	5.47	Accept

ตารางผนวกที่ 12 ผลการเปรียบเทียบการวิเคราะห์ในเตρท์ในดินด้วยสารละลายเทียบสีมาตรฐานกับเครื่อง UV-Vis Spectrophotometer ของตัวอย่างดิน 300 ตัวอย่าง (ต่อ)

ตัวอย่าง ดิน ลำดับที่	pH 1:1 H ₂ O	สารละลาย เทียบสีมาตรฐาน (มิลลิกรัมต่อกิโลกรัม)	อ่านด้วยเครื่อง UV-Vis Spectrophotometer (มิลลิกรัมต่อกิโลกรัม)	การยอมรับ
155	6.3	1-10	3.07	Accept
156	6.3	21-30	25.04	Accept
157	6.3	21-30	26.04	Accept
158	6.3	21-30	25.91	Accept
159	6.3	21-30	19.85	No accept
160	6.3	21-30	23.67	Accept
161	6.3	31-50	35.45	Accept
162	6.3	31-50	37.01	Accept
163	6.3	31-50	34.15	Accept
164	6.4	1-10	3.46	Accept
165	6.4	1-10	9.13	Accept
166	6.4	1-10	3.76	Accept
167	6.4	1-10	10.55	Accept
168	6.4	1-10	8.61	Accept
169	6.4	11-20	14.76	Accept
170	6.4	11-20	11.61	Accept
171	6.4	11-20	24.36	No accept
172	6.4	11-20	7.66	No accept
173	6.4	11-20	21.89	No accept
174	6.4	21-30	24.86	Accept
175	6.4	21-30	21.52	Accept
176	6.4	21-30	26.60	Accept

ตารางผนวกที่ 12 ผลการเปรียบเทียบการวิเคราะห์ในเตρท์ในดินด้วยสารละลายเทียบสีมาตรฐานกับเครื่อง UV-Vis Spectrophotometer ของตัวอย่างดิน 300 ตัวอย่าง (ต่อ)

ตัวอย่าง ดิน ลำดับที่	pH 1:1 H ₂ O	สารละลาย เทียบสีมาตรฐาน (มิลลิกรัมต่อกิโลกรัม)	อ่านด้วยเครื่อง UV-Vis Spectrophotometer (มิลลิกรัมต่อกิโลกรัม)	การยอมรับ
177	6.5	1-10	9.65	Accept
178	6.5	1-10	9.40	Accept
179	6.5	1-10	8.14	Accept
180	6.5	1-10	10.67	Accept
181	6.5	1-10	8.34	Accept
182	6.5	1-10	5.04	Accept
183	6.5	1-10	2.30	Accept
184	6.5	11-20	10.99	No accept
185	6.5	11-20	19.08	Accept
186	6.5	11-20	19.82	Accept
187	6.5	11-20	15.22	Accept
188	6.5	11-20	25.22	No accept
189	6.5	21-30	22.19	Accept
190	6.5	21-30	25.80	Accept
191	6.5	21-30	24.12	Accept
192	6.5	31-50	26.15	No accept
193	6.5	31-50	29.53	No accept
194	6.5	31-50	26.55	No accept
195	6.6	1-10	3.45	Accept
196	6.6	1-10	2.72	Accept
197	6.6	1-10	6.87	Accept
198	6.6	1-10	9.63	Accept

ตารางผนวกที่ 12 ผลการเปรียบเทียบการวิเคราะห์ในเตρท์ในดินด้วยสารละลายเทียบสีมาตรฐานกับเครื่อง UV-Vis Spectrophotometer ของตัวอย่างดิน 300 ตัวอย่าง (ต่อ)

ตัวอย่าง ดิน ลำดับที่	pH 1:1 H ₂ O	สารละลาย เทียบสีมาตรฐาน (มิลลิกรัมต่อกิโลกรัม)	อ่านด้วยเครื่อง UV-Vis Spectrophotometer (มิลลิกรัมต่อกิโลกรัม)	การยอมรับ
199	6.6	1-10	9.84	Accept
200	6.6	1-10	11.47	No accept
201	6.6	1-10	7.20	Accept
202	6.6	1-10	9.22	Accept
203	6.6	1-10	5.54	Accept
204	6.6	1-10	9.56	Accept
205	6.6	1-10	6.34	Accept
206	6.6	1-10	5.83	Accept
207	6.6	11-20	12.16	Accept
208	6.6	11-20	9.55	No accept
209	6.6	11-20	13.22	Accept
210	6.6	11-20	16.33	Accept
211	6.6	21-30	25.12	Accept
212	6.7	1-10	4.54	Accept
213	6.7	1-10	8.59	Accept
214	6.7	1-10	12.36	No accept
215	6.7	1-10	4.13	Accept
216	6.7	1-10	10.80	Accept
217	6.7	1-10	2.47	Accept
218	6.7	1-10	3.35	Accept
219	6.7	1-10	4.26	Accept
220	6.7	11-20	20.21	Accept

ตารางผนวกที่ 12 ผลการเปรียบเทียบการวิเคราะห์ในเตρท์ในดินด้วยสารละลายเทียบสีมาตรฐานกับเครื่อง UV-Vis Spectrophotometer ของตัวอย่างดิน 300 ตัวอย่าง (ต่อ)

ตัวอย่าง ดิน ลำดับที่	pH 1:1 H ₂ O	สารละลาย เทียบสีมาตรฐาน (มิลลิกรัมต่อกิโลกรัม)	อ่านด้วยเครื่อง UV-Vis Spectrophotometer (มิลลิกรัมต่อกิโลกรัม)	การยอมรับ
221	6.7	21-30	30.66	Accept
222	6.7	31-50	34.29	Accept
223	6.7	31-50	43.65	Accept
224	6.8	0	1.14	No accept
225	6.8	1-10	6.64	Accept
226	6.8	1-10	4.00	Accept
227	6.8	1-10	3.47	Accept
228	6.8	1-10	3.24	Accept
229	6.8	1-10	3.43	Accept
230	6.8	1-10	3.18	Accept
231	6.8	1-10	3.14	Accept
232	6.8	1-10	6.63	Accept
233	6.8	1-10	7.04	Accept
234	6.8	1-10	2.07	Accept
235	6.8	11-20	13.54	Accept
236	6.9	1-10	3.01	Accept
237	6.9	1-10	1.60	Accept
238	6.9	1-10	5.04	Accept
239	6.9	1-10	2.08	Accept
240	6.9	11-20	11.75	Accept
241	7.0	1-10	5.87	Accept
242	7.0	1-10	5.79	Accept

ตารางผนวกที่ 12 ผลการเปรียบเทียบการวิเคราะห์ในเตρท์ในดินด้วยสารละลายเทียบสีมาตรฐานกับเครื่อง UV-Vis Spectrophotometer ของตัวอย่างดิน 300 ตัวอย่าง (ต่อ)

ตัวอย่าง ดิน ลำดับที่	pH 1:1 H ₂ O	สารละลาย เทียบสีมาตรฐาน (มิลลิกรัมต่อกิโลกรัม)	อ่านด้วยเครื่อง UV-Vis Spectrophotometer (มิลลิกรัมต่อกิโลกรัม)	การยอมรับ
243	7.0	1-10	5.16	Accept
244	7.0	1-10	5.81	Accept
245	7.0	21-30	21.67	Accept
246	7.1	1-10	5.86	Accept
247	7.1	11-20	17.32	Accept
248	7.1	21-30	20.44	No accept
249	7.2	1-10	9.10	Accept
250	7.2	1-10	6.76	Accept
251	7.2	1-10	6.31	Accept
252	7.2	11-20	19.27	Accept
253	7.2	11-20	27.70	No accept
254	7.2	21-30	19.60	No accept
255	7.2	31-50	30.86	No accept
256	7.3	1-10	6.06	Accept
257	7.3	1-10	5.62	Accept
258	7.3	11-20	19.78	Accept
259	7.3	31-50	38.76	Accept
260	7.3	31-50	41.00	Accept
261	7.4	1-10	5.32	Accept
262	7.4	1-10	7.78	Accept
263	7.4	1-10	6.64	Accept
264	7.4	1-10	4.59	Accept

ตารางผนวกที่ 12 ผลการเปรียบเทียบการวิเคราะห์ในเตρท์ในดินด้วยสารละลายเทียบสีมาตรฐานกับเครื่อง UV-Vis Spectrophotometer ของตัวอย่างดิน 300 ตัวอย่าง (ต่อ)

ตัวอย่าง ดิน ลำดับที่	pH 1:1 H ₂ O	สารละลาย เทียบสีมาตรฐาน (มิลลิกรัมต่อกิโลกรัม)	อ่านด้วยเครื่อง UV-Vis Spectrophotometer (มิลลิกรัมต่อกิโลกรัม)	การยอมรับ
265	7.5	1-10	6.47	Accept
266	7.5	11-20	15.64	Accept
267	7.5	11-20	11.89	Accept
268	7.6	1-10	6.24	Accept
269	7.6	11-20	10.99	No accept
270	7.6	11-20	11.20	Accept
271	7.6	11-20	19.17	Accept
272	7.7	0	0.65	Accept
273	7.7	11-20	17.09	Accept
274	7.7	11-20	15.08	Accept
275	7.7	11-20	12.03	Accept
276	7.8	1-10	7.47	Accept
277	7.8	11-20	11.57	Accept
278	7.9	1-10	10.82	Accept
279	7.9	1-10	0.99	No accept
280	7.9	1-10	1.86	Accept
281	7.9	11-20	15.10	Accept
282	8.0	0	0.47	Accept
283	8.0	0	0.74	Accept
284	8.0	0	0.72	Accept
285	8.0	1-10	0.82	No accept
286	8.0	1-10	0.87	No accept

ตารางผนวกที่ 12 ผลการเปรียบเทียบการวิเคราะห์ในเตρท์ในดินด้วยสารละลายเทียบสีมาตรฐานกับเครื่อง UV-Vis Spectrophotometer ของตัวอย่างดิน 300 ตัวอย่าง (ต่อ)

ตัวอย่าง ดิน ลำดับที่	pH 1:1 H ₂ O	สารละลาย เทียบสีมาตรฐาน (มิลลิกรัมต่อกิโลกรัม)	อ่านด้วยเครื่อง UV-Vis Spectrophotometer (มิลลิกรัมต่อกิโลกรัม)	การยอมรับ
287	8.0	1-10	2.59	Accept
288	8.0	1-10	1.22	Accept
289	8.0	1-10	2.63	Accept
290	8.0	1-10	1.38	Accept
291	8.0	11-20	19.62	Accept
292	8.1	1-10	2.04	Accept
293	8.1	1-10	3.28	Accept
294	8.1	1-10	4.51	Accept
295	8.1	1-10	1.71	Accept
296	8.1	1-10	1.61	Accept
297	8.1	1-10	0.64	No accept
298	8.1	1-10	1.07	Accept
299	8.1	11-20	18.62	Accept
300	8.2	1-10	1.70	Accept

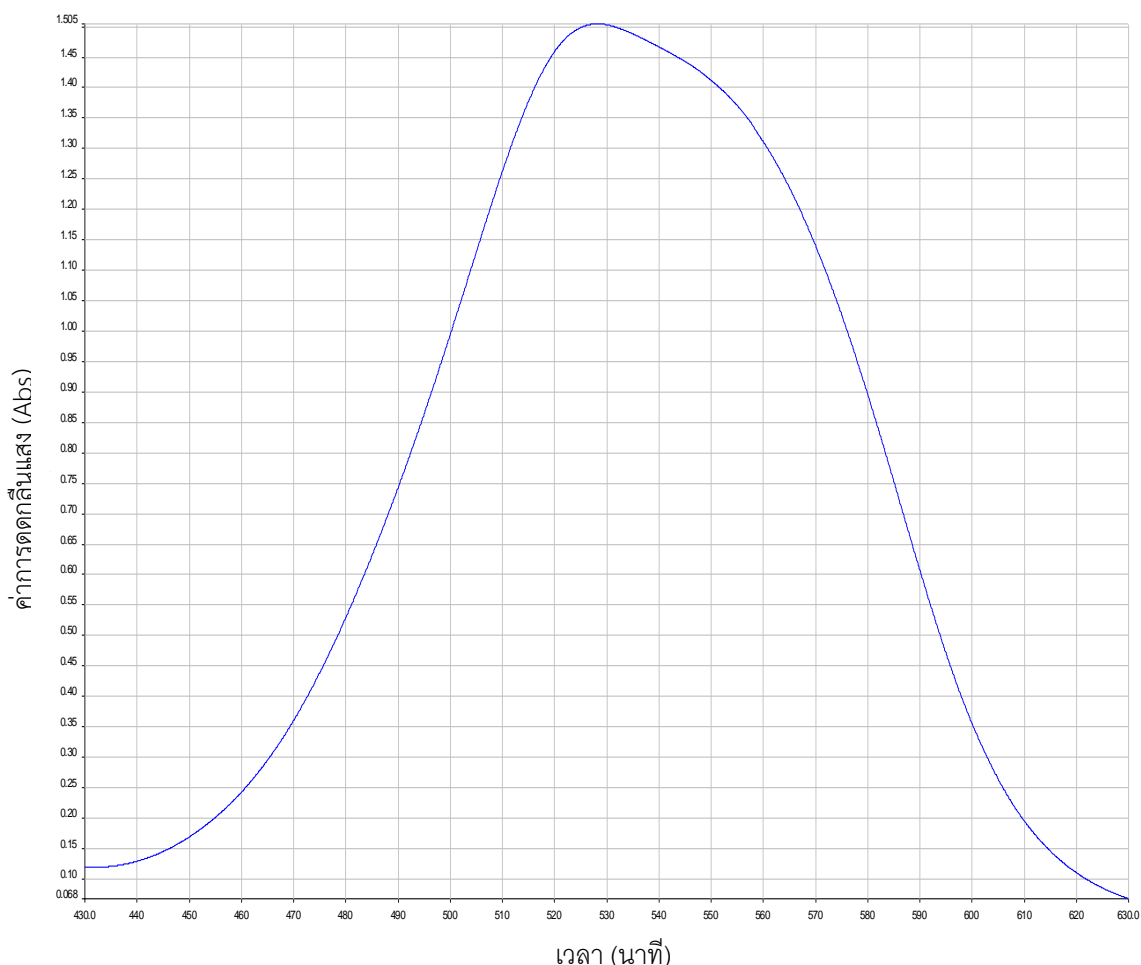
ตารางผนวกที่ 13 ผลการเปรียบเทียบการวิเคราะห์ใน terrestrial ในดิน แยกตามช่วง pH ของตัวอย่างดิน 300 ตัวอย่าง

ช่วง pH	จำนวน ตัวอย่าง	Accept		No Accept	
		จน.ตัวอย่าง	คิดเป็น %	จน.ตัวอย่าง	คิดเป็น %
3.5 - 4.5	7	6	2.0	1	0.3
4.6 - 5.0	54	48	16.0	6	2.0
5.1 - 5.5	37	34	11.3	3	1.0
5.6 - 6.0	32	30	10.0	2	0.7
6.1 - 6.5	64	50	16.7	14	4.7
6.6 - 7.3	66	59	19.7	7	2.3
7.4 - 7.8	17	16	5.3	1	0.3
7.9 - 8.4	23	19	6.3	4	1.3
รวม	300	262	87.3	38	12.7

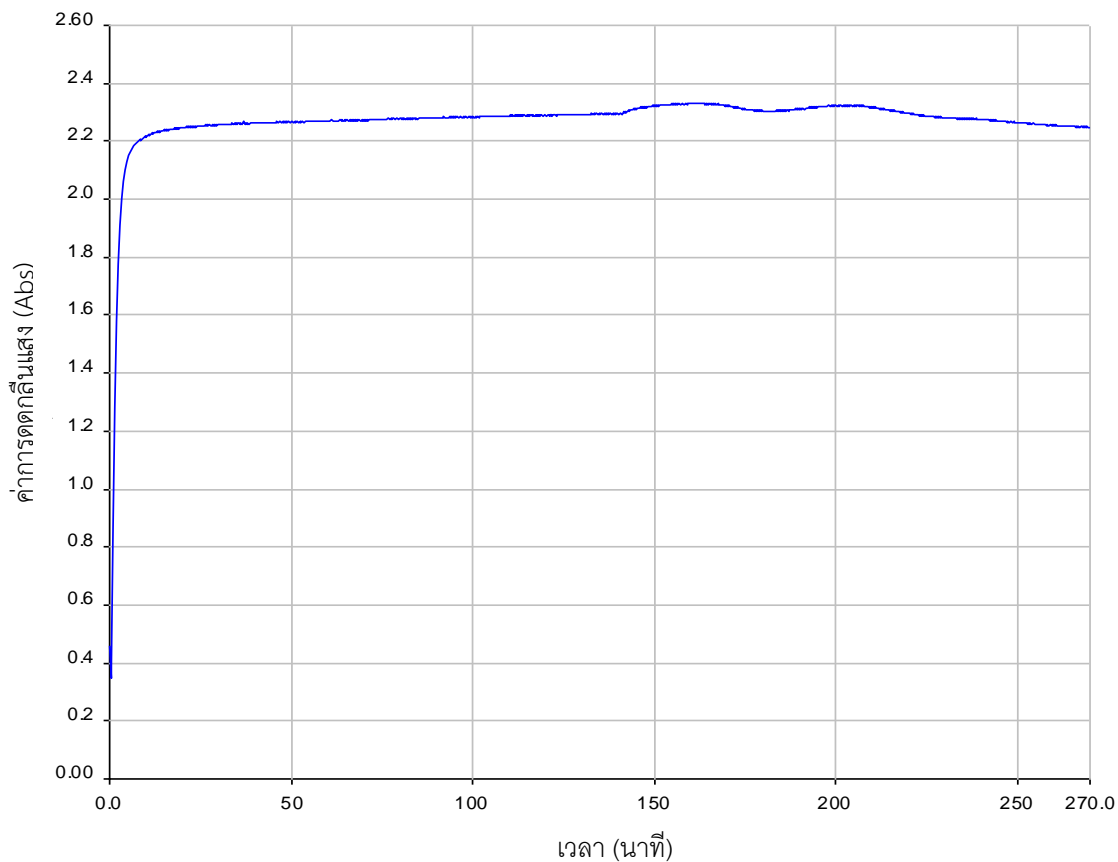
หมายเหตุ % คิดจากตัวอย่างทั้งหมด 300 ตัวอย่าง

หมายเหตุ

ตารางผนวกที่ 1-10 และ 12-13 แสดงผลการวิเคราะห์ตัวอย่างดินในห้องปฏิบัติการ กลุ่มวิจัยเคมีดิน (ม.ย-ส.ค, 2560)



ภาพผนวกที่ 1 แสดงการสแกนหาความยาวคลื่นสูงสุดของการวิเคราะห์ในเตรทในดินในห้องปฏิบัติการด้วยเครื่อง UV-Vis Spectrophotometer



ภาพนวากที่ 2 แสดงระยะเวลาการเกิดปฏิกิริยาของการวิเคราะห์ในteredทแบบต่อเนื่อง

ภาคผนวก ข

การคำนวณปริมาณในเตรอทในดินที่สกัดด้วยน้ำยาสกัด Mehlich I

การคำนวณปริมาณในเตรทในดินที่สกัดด้วยน้ำยาสกัด Mehlich I

1. การสกัดตัวอย่างดินด้วยน้ำยาสกัด Mehlich I
 - ชั่งตัวอย่างดิน 5 กรัม ใส่ขวดรูปซูญ่าขนาด 50 มิลลิลิตร
 - เติมน้ำยาสกัด Mehlich I จำนวน 20 มิลลิลิตร
 - เขย่าด้วยเครื่องเขย่าแนวระนาบ ที่ความเร็วรอบ 200 รอบต่อนาที นาน 5 นาที
 - กรองด้วยกระดาษกรอง Whatman เบอร์ 5 ขนาดเส้นผ่าศูนย์กลาง 125 มิลลิเมตร
2. การวิเคราะห์หาปริมาณในเตรท
 - ดูดสารละลายดิน 5.0 มิลลิลิตร ใส่ลงในหลอดทดลอง
 - เติม Reagent A 0.5 มิลลิลิตร
 - เติม Mixed powder 0.02 กรัม
 - เขย่าให้เข้ากัน ตั้งทิ้งไว้ 5 นาที
 - วัดค่า Abs ด้วยเครื่อง UV-Vis Spectrophotometer ที่ความยาวคลื่น 530 นาโนเมตร
3. การคำนวณ
 - 3.1 คำนวณค่า Abs ที่อ่านได้จากเครื่อง UV-Vis Spectrophotometer ให้เป็นปริมาณในเตรท หน่วยเป็นมิลลิกรัมต่อลิตร จากสมการ

$$y = 0.2296x - 0.0044$$

$$\frac{\text{ดังนั้น}}{\text{ดังนั้น}} \quad x = \frac{y + 0.0044}{0.2296}$$

เมื่อ x = ความเข้มข้นของสารละลายมาตรฐานในเตรท (มิลลิกรัมต่อลิตร)
 y = ค่าการดูดกลืนแสง (Abs) ที่อ่านได้จากเครื่อง

3.2 คำนวณปริมาณในเตรท หน่วยเป็นมิลลิกรัมต่อกิโลกรัม

ปริมาณในเตรท	$= A$	มิลลิกรัมต่อลิตร
ในสารละลาย 1000 มิลลิลิตร มีปริมาณในเตรท	$= A$	มิลลิกรัม
ในสารละลาย 20 มิลลิลิตร มีปริมาณในเตรท	$= \frac{A \times 20}{1000}$	มิลลิกรัม
ในตัวอย่างดิน 5 กรัม มีปริมาณในเตรท	$= \frac{A \times 20}{1000}$	มิลลิกรัม
ในตัวอย่างดิน 1000 กรัม มีปริมาณในเตรท	$= \frac{A \times 20}{5}$	มิลลิกรัมต่อกิโลกรัม

$$\text{ดังนั้น} \quad \text{ปริมาณในเตรท (มิลลิกรัมต่อกิโลกรัม)} = A \times 4$$

ห้องสมุดกรมพัฒนาที่ดิน

ห้องสมุดกรมพัฒนาที่ดิน